

UNIVERZITET U BEOGRADU  
FAKULTET ZA FIZIČKU HEMIJU

Jovana M. Ćirković

**Strukturna i dielektrična karakterizacija  
barijum-stroncijum-titanata sintetisanog  
hidroermalno potpomognutim  
modifikovanim Pećinijevim postupkom**

doktorska disertacija

Beograd, 2015.

UNIVERSITY OF BELGRADE  
FACULTY OF PHYSICAL CHEMISTRY

Jovana M. Ćirković

**Structural and dielectric  
characterization of barium strontium  
titanate synthesized by hydrothermally  
assisted modified Pechini method**

doctoral dissertation

Belgrade, 2015

**MENTORI:**

**dr Katarina Vojisavljević, naučni saradnik**

Institut za multidisciplinarna istraživanja, Univerzitet u Beogradu

**Prof. dr Nikola Cvjetićanin**

Fakultet za fizičku hemiju, Univerzitet u Beogradu

**ČLANOVI KOMISIJE:**

**Prof. dr Borivoj Adnađević**

Fakultet za fizičku hemiju, Univerzitet u Beogradu

**dr Goran Branković, naučni savetnik**

Institut za multidisciplinarna istraživanja, Univerzitet u Beogradu

Datum odbrane: \_\_\_\_\_

*Doktorska disertacija „Strukturna i dielektrična karakterizacija barijum-stroncijum-titanata sintetisanog hidroermalno potpomognutim modifikovanim Pećinijevim postupkom” je rezultat rada u Institutu za multidisciplinarna istraživanja Univerziteta u Beogradu u okviru nacionalnih projekata P142040 i III45007 finansiranih od strane Ministarstva prosvete, nauke i tehnološkog razvoja Republike Srbije.*

*Istraživanja u okviru ove doktorske disertacije su urađena pod vođstvom dr Katarine Vojisavljević, naučnog saradnika u Institutu za multidisciplinarna istraživanja i prof. dr Nikole Cvjetićanina, redovnog profesora fakulteta za fizičku hemiju, Univerziteta u Beogradu, kojima se ovom prilikom zahvaljujem.*

*Dr Katarini Vojisavljević dugujem veliku zahvalnost za pomoć prilikom definisanja teme i izrade disertacije, kao i na velikoj i nesebičnoj podršci, veoma korisnim savetima i diskusijama tokom mog istraživačkog rada. Takođe se zahvaljujem dr Tatjani Srećković na korisnim savetima sugestijama, svesrdnoj podršci i pomoći prilikom oblikovanja doktorske disertacije. Posebnu zahvalnost dugujem dr Goranu Brankoviću, naučnom savetniku i rukovodiocu projekata P142040 i III 45007, kao i dr Zorici Branković, čijom je pomoći i zalaganjima omogućena izrada ove doktorske disertacije.*

*Jedan deo istraživanja nije bio moguć bez pomoći saradnika iz drugih naučno-istraživačkih institucija. Stoga želim da se zahvalim dr Miroslavu Dramičaninu iz Instituta Vinča na urađenoj rendgensko difrakcionoj analizi, kao i dr Predragu Vuliću sa Rudarsko geološkog fakulteta na nesebičnoj pomoći pri tumačenju rezultata rendgensko difrakcione analize.*

*Na kraju, posebnu zahvalnost dugujem svojoj porodici i prijateljima na beskrajnoj podršci i razumevanju.*

*Beograd, 2015.*

*Jovana Ćirković*

## Strukturalna i dielektrična karakterizacija barijum-stroncijum-titanata sintetisanog hidroermalno potpomognutim modifikovanim Pećinijevim postupkom

### Rezime

U okviru ove doktorske disertacije proučavan je uticaj novog načina sinteze tj. hidroermalno potpomognutog modifikovanog Pećinijevog postupka na formiranje strukture i karakteristike barijum-stroncijum-titanatnog (BST) praha, kao i na svojstva dobijene keramike.

Prekursorski rastvor barijum stroncijum titanata ( $Ba_{0.8}Sr_{0.2}TiO_3$ ) dobijen je modifikovanim Pećinijevim postupkom, tj. metodom kompleksne polimerizacije polazeći od rastvora titan-citrata, barijum- i stroncijum-acetata. Razblaženi prekursorski rastvor BST tretiran je hidroermalnim postupkom u reakcionom sudu autoklava na temperaturi od 225 °C, pritisku od 6.8 MPa, i vremenu trajanja reakcije od 5 h. Prekursorski prah BST je dalje termički tretiran na različitim temperaturama (500-800 °C) u cilju formiranja kristaliničnog BST praha. Fazna evolucija tokom kristalizacije BST prahova praćena je metodom difrakcije rendgenskog zračenja i Ramanske spektroskopije. Rezultati rendgenske difrakcije i Ramanske spektroskopije BST prahova dobijenih hidroermalnim postupkom, pokazali su da kalcinacijom na 700 °C dolazi do formiranja kristaliničnog tetragonalnog BST praha, koji ne sadrži organske i karbonatne faze. Morfologija prahova analizirana je skanirajućom elektronskom mikroskopijom. Prahovi dobijeni hidroermalnim postupkom su aglomerisani i sastoje se od sfernih čestica veličine do 2 μm u prečniku.

Keramički uzorci dobijeni su postupkom jednoosnog presovanja BST praha kalcinisanog na 700 °C u tablete prečnika ~ 8 mm i njihovim sinterovanjem na temperaturi od 1280 °C u trajanju od 1 do 32 h. Ispitivan je uticaj vremena sinterovanja na fazni sastav, strukturne i mikrostrukturne parametre, dielektrična i feroelektrična svojstva dobijene keramike.

Promene strukturnih i mikrostrukturnih parametara, stehiometrije povezane sa varijacijama u odnosu Ba/Sr, kao i faznog sastava keramike nakon sinterovanja praćene su rendgenskom difrakcijom x-zraka i Ritveldovim utačnjavanjem difrakcionih podataka. Kvantitativnom faznom analizom pokazano je da sinterovani uzorci sadrže tetragonalni  $(Ba, Sr)TiO_3$  kao glavnu fazu i  $Ba_6Ti_{17}O_{40}$ , kao sekundarnu fazu, kao i da sa porastom vremena sinterovanja dolazi do povećanja količine sekundarne od 27.3

wt% do 32.6 wt%. Rezultati Ritveldovog utačnjavanja pokazuju da sadržaj Ba u BST fazi u sinterovanim uzorcima raste sa porastom vremena sinterovanja i kreće se u intervalu od 0.69 do 0.79. Povećanje vremena sinterovanja dovodi do povećanja parametra rešetke  $c$  i tetragonalnosti BST faze u sinterovanim uzorcima, porasta veličine kristalita i smanjenja mikronaprezanja unutar kristalita. Određivanjem gustine i praćenjem mikrostrukture sinterovanih uzoraka skenirajućom elektronskom mikroskopijom, zaključeno je da dužina sinterovanja ima veliki uticaj na zgušnjavanje i razvoj mikrostrukture. Porastom vremena sinterovanja dolazi do rasta zrna u keramici. Gustine uzoraka rastu od 86.97%  $\rho_t$  za uzorak sinterovan 1 h, do 92.62%  $\rho_t$  za uzorak sinterovan 16 h. Dalje povećanje vremena sinterovanja (32 h) dovodi do smanjenja gustine 80.96%  $\rho_t$ . Dielektrična svojstva dobijenih keramika merena su u opsegu temperaturnog intervala od 10 do 120 °C pri frekvenciji od 1 MHz. Oblik zavisnosti dielektrične konstante sa temperaturom, ukazuje na difuzioni fazni prelaz do kog dolazi usled nehomogenosti u sastavu uzoraka zbog postojanja dvo-fazne strukture. Rezultati dielektričnih merenja ukazuju na porast dielektrične konstante sa vremenom sinterovanja. Uočeno je i pomeranje temperature faznog prelaza (iz tetagonalne feroelektrične u kubnu paraelektričnu fazu) ka višim vrednostima. Utvrđeno je da porast dielektrične konstante sa vremenom sinterovanja u potpunosti prati trend promene gustine uzoraka, dok je pomeranje temperature faznog prelaza u skladu sa porastom sadržaja Ba u BST fazi. Merenjem polarizacije sa promenom električnog polja frekvencije 0.1 Hz, uočava se da uzorci sinterovani 16 h, imaju najveću vrednost polarizacije od  $2 \mu\text{C}/\text{cm}^2$ .

Detaljnim ispitivanjem svojstava BST keramike uočeno je da vreme sinterovanja značajno utiče na fazni sastav, razvoj mikrostrukture, dielektrična i feroelektrična svojstva, kao i da je sinterovanje BST praha dobijenog hidroermalno potpomognutim modifikovanim Pećinijevim postupkom od 16 h optimalno za dobijanje keramike sa najboljim dielektričnim i feroelektričnim svojstvima.

**Ključne reči:** Perovskitna struktura, Pećinijev metod, hidroermalna sinteza, električna svojstva

**Naučna oblast:** Nauka o materijalima

**UDK broj:**

## Structural and dielectric characterization of barium strontium titanate synthesized by hydrothermally assisted modified Pechini method

### Abstract

In this doctoral dissertation the influence of new synthesis method, i.e hydrothermally assisted modified Pechini method, on the structure formation and properties of barium strontium titanate powder, as well as properties of obtained ceramics.

The BST ( $\text{Ba}_{0.8}\text{Sr}_{0.2}\text{TiO}_3$ ) precursor solution was prepared using modified Pechini method, i.e complex polymerization method starting from titanium citrate, Ba- and Sr- acetate. Precursor solution was hydrothermally treated in high pressure autoclave for 5 h, at the temperature of 225 °C and pressure of 6.8 MPa in order to obtain BST precursor powder. Such obtained precursor powder was further thermally treated at different temperatures (500-800 °C) in order to obtain crystalline BST powder. XRD and Raman studies were carried out in order to estimate the phase evolution and crystalline structures of BST powders calcined at various temperatures. XRD and Raman measurements confirmed complete crystallization of tetragonal BST at 700 °C, with no presence of organic and carbonate phases. The morphology of BST powders was analysed using scanning electron microscopy. Thermal treatment of precursor powder at 700 °C, led to formation of low agglomerated BST powder consists of spherical particles up to 2 μm in size.

After detailed examination of the BST powder characteristics, using uniaxial press and sintering at 1280 °C for a various sintering time (1-32 h), BST ceramic samples were obtained. The sintering effect on phase composition, structural and microstructural parameters, dielectric and ferroelectric properties was investigated. The x-ray diffraction analysis and Rietveld refinement of diffraction data were carried out in order to quantitatively evaluate the change in structural and microstructural parameters, stoichiometry through the variation in Ba/Sr ratio, as well as to determine the phase composition in ceramics after sintering. Quantitative phase analysis revealed that predominant phase in sintered samples was tetragonal  $(\text{Ba}, \text{Sr})\text{TiO}_3$  with monoclinic  $\text{Ba}_6\text{Ti}_{17}\text{O}_{40}$  as a secondary phase. Amount of secondary phase slightly increased from 27.3 % to 32.6 % during the prolonged sintering time at 1280 °C. Results of Rietveld refinement showed the increase of Ba content with sintering time, and calculated Ba

---

## ABSTRACT

content was in range from 0.69 to 0.79. The increase in sintering time led to increasing of lattice parameters  $c$ , tetragonality, crystallite size, as well as decreasing of microstrain within crystallite. By determination of sintered density and following the microstructure of the sintered samples, using scanning electron microscopy, it was found that sintering time has a great influence on densification process and microstructure development. With an increase of sintering time, grain growth occurred, and densities increase from 86.97%  $\rho_t$  for sample sintered for 1 h, to 92.62%  $\rho_t$  for sample sintered for 16 h. On further increase of sintering time (32 h), the sintered density decreased (80.96%  $\rho_t$ ). Dielectric properties, such as dielectric constant and dielectric losses were determined in the temperature range between 10 and 120 °C and a frequency of 1 MHz. The shape of dielectric permittivity curves indicate the diffuse phase transition, which is caused by chemical composition inhomogeneity due to the presence of two-phase structure. Phase transition temperature shift toward higher values and increase of dielectric constant values were noticed with prolonged sintering time. The dielectric constant increase from 1400 to 2300 with increasing sintering time from 1 h to 16 h, and could be related with the increasing sintered density, while shift of transition temperature was in a good accordance with higher Ba content in BST phase. The polarization of the sample was measured as a function of electric field frequency of 0.1 Hz. The sample sintered for 16 h showed the maximum  $P_r$  value of 2  $\mu\text{C}/\text{cm}^2$ .

After detailed examination of the properties of BST ceramics, it was found that sintering time has a great influence on phase composition, microstructure development and on dielectric and ferroelectric properties, so sintering time of 16 h can be considered optimal for processing of ceramics with the best dielectric and ferroelectric properties.

**Keywords:** Perovskite structure, Pechini method, hydrothermal synthesis, electrical properties

**Scientific field:** Material Science

**UDC number:**

## SADRŽAJ:

<b>1</b>	<b>Uvod .....</b>	<b>1</b>
<b>2</b>	<b>Struktura i svojstva feroelektričnih materijala .....</b>	<b>3</b>
<b>2.1</b>	<b>Struktura perovskita <math>ABO_3</math> .....</b>	<b>3</b>
2.1.1	Struktura barijum stroncijum titanata (BST) .....	4
<b>2.2</b>	<b>Feroelektrična svojstva materijala .....</b>	<b>5</b>
<b>2.3</b>	<b>Dielektrična svojstva materijala .....</b>	<b>12</b>
<b>2.4</b>	<b>Feroelektrična i dielektrična svojstva BST.....</b>	<b>15</b>
<b>2.5</b>	<b>Metode sinteze BST prahova .....</b>	<b>19</b>
2.5.1.	Konvencionalni postupak sinteze reakcijom u čvrstom stanju .....	20
2.5.2	Mehanohemija sinteza.....	20
2.5.3	Hemija metode za dobijanje praha BST.....	21
2.5.3.1	<i>Metod koprecipitacije .....</i>	21
2.5.3.2	<i>Sinteza prahova sol-gel metodama .....</i>	22
2.5.3.3	<i>Sinteza prahova metodom kompleksne polimerizacije .....</i>	24
2.5.3.4	<i>Hidrotermalna sinteza .....</i>	28
<b>2.6</b>	<b>Proces dobijanja keramike BST .....</b>	<b>33</b>
<b>2.7</b>	<b>Otkriće i primena BST .....</b>	<b>34</b>
<b>3</b>	<b>Cilj rada .....</b>	<b>36</b>
<b>4</b>	<b>Eksperimentalni deo .....</b>	<b>38</b>
<b>4.1</b>	<b>Sinteza prahova barijum stroncijum titanata .....</b>	<b>38</b>
<b>4.2</b>	<b>Metode karakterizacije BST prahova .....</b>	<b>41</b>
<b>4.3</b>	<b>Dobijanje i karakterizacija keramike BST.....</b>	<b>43</b>
<b>5</b>	<b>Rezultati i diskusija.....</b>	<b>48</b>
<b>5.1</b>	<b>Karakterizacija prahova BST dobijenih metodom kompleksne polimerizacije i hidrotermalnim tretmanom .....</b>	<b>48</b>
5.1.1	TG/DT analiza dobijenih prekursorkih prahova .....	48
5.1.2	Analiza uticaja različitih postupaka sinteze na strukturne i mikrostrukturne karakteristike BST praha.....	50
5.1.2.1	<i>Rendgenogramska analiza prahova BST .....</i>	50
5.1.2.2	<i>Ramanska spektroskopska analiza BST prahova.....</i>	57
5.1.2.3	<i>Morfologija BST prahova – SEM analiza.....</i>	64
5.1.2.4	<i>Određivanje morfologije i strukture prahova dobijenih hidrotermalnom metodom – TEM analiza .....</i>	66

## **SADRŽAJ:**

<b>5.2 Karakterizacija keramike BST dobijene hidroermalnim postupkom.....</b>	<b>67</b>
5.2.1 Fazni sastav, strukturni i mikrostrukturni parametri sinterovanih uzoraka praćeni metodom rendgenske difrakcije x-zraka .....	68
5.2.2 Promena gustine uzoraka sa porastom vremena sinterovanja .....	78
5.2.3 Uticaj vremena sinterovanja na mikrostrukturu sinterovanih uzoraka.....	79
5.2.4 Uticaj vremena sinterovanja na dielektrična i feroelektrična svojstva sinterovanih uzoraka .....	83
<b>6 Zaključak.....</b>	<b>89</b>
<b>7 Literatura.....</b>	<b>93</b>

# 1 Uvod

Titanati su grupa jedinjenja koja ima široku primenu u elektronici. Koriste se u izgradnji tzv. DRAM (eng. dynamic random access memory) memorija, dielektričnih keramičkih kondenzatora, senzora, mikroaktuatora, visokonaponskih generatora, mikrotalasnih obrtača faza, i elektro-optičkih uređaja. Barijum-titanat [BaTiO<sub>3</sub>, BT] je najznačajnije i najviše ispitivano jedinjenje iz ove grupe kako zbog svojih dobrih dielektričnih, piezoelektričnih i feroelektričnih svojstava, tako i zbog činjenice da lako formira čvrste rastvore sa drugim titanatima i oksidima što daje mogućnost za poboljšanje nekih njegovih svojstava. Iako je prošlo više od 60 godina od njegovog otkrića, barijum-titanat je još uvek jedan od najviše korišćenih feroelektričnih materijala i istraživanja vezana za njegovu sintezu, svojstva i primenu su i dalje veoma aktuelna. U svrhu podešavanja feroelektričnih i dielektričnih svojstava barijum-titanata, određeni alkalni katjon (stroncijum) se uvodi u rešetku barijum titanata pri čemu dolazi do formiranja čvrstog rastvora barijum-stroncijum-titanata [(Ba,Sr)TiO<sub>3</sub>, BST]. BST je široko primenjivan materijal u mikroelektronici zbog svoje netoksičnosti, dobre hemijske i termičke stabilnosti i svojstava kao što su visoka vrednost dielektrične konstante, mala vrednost dielektričnih gubitaka, kao i mogućnost podešavanja Kirijeve (Curie) temperature promenom stehiometrije. Kirijeva temperatura se može jednostavno podešavati promenom odnosa jona barijuma i stroncijuma. Predmetni sistem sa molskim odnosom barijuma i stroncijuma 0.8/0.2 je najznačajniji i najviše proučavan, jer upravo taj molski odnos obezbeđuje maksimalnu vrednost dielektrične konstante.

Svojstva materijala su određena prvenstveno strukturnim i mikrostrukturnim karakteristikama koje u najvećoj meri zavise od načina njegove sinteze. Morfologija i srednja veličina čestica sintetisanih prahova utiču na njihovu sinterabilnost kao i na dielektrične i feroelektrične karakteristike sinterovane keramike. Imajući u vidu prethodno navedeno, težište ovog istraživanja je na razvijanju i unapređivanju tehnika sinteze zbog njenog neposrednog uticaja na svojstva materijala. Da bi se postigla željena svojstva materijala, neophodna za njegovu praktičnu primenu u elektronskoj industriji, sintetisani materijal treba da bude velike čistoće, dobro definisane stehiometrije, homogene mikrostrukture, niskog stepena aglomeracije i oslobođen intermedijarnih i sekundarnih faza. Najčešće korišćene tehnike sinteze su tehnike iz

rastvora, u koje spadaju različite modifikacije sol-gel metode, kao i hidrotermalna metoda. Metoda kompleksne polimerizacije predstavlja modifikaciju sol-gel postupka i ima poreklo u Pećinijevom (Pechini) postupku sinteze. Metoda se zasniva na kompleksiranju jona barijuma, stroncijuma i titana limunskom kiselinom, nakon čega sledi reakcija poliesterifikacije slobodnih karboksilnih grupa etilen-glikolom, koji se koristi kao polimerizaciono sredstvo i kao rastvarač. Ovom reakcijom se gradi organska mreža unutar koje su katjoni raspoređeni na atomskom nivou. Sinteza metodom kompleksne polimerizacije ima prednosti u mogućnosti kontrole stehiometrije i homogenoj raspodeli jona na molekularnom nivou. Međutim, metoda ima i nekih nedostataka, a pre svega relativno dugo vreme sinteze i visok stepen aglomeracije dobijenih čestica. Za razliku od pomenutih metoda, hidrotermalna metoda omogućava sintezu uniformnih, neaglomerisanih čestica nanodimensija, velike čistoće, pri relativno niskim temperaturama i kratkom vremenu trajanja sinteze.

Ova doktorska disertacija odnosi se na modifikaciju određenih metoda sinteze feroelektričnog barijum-stroncijum-titanata i ispitivanje uticaja takve sinteze na fazni sastav, morfologiju, dielektrična i feroelektrična svojstva materijala.

U okviru ove doktorske disertacije biće predstavljen potpuno nov pristup sintezi BST prahova, koji kombinuje metodu kompleksne polimerizacije i hidrotermalnu metodu. Naime, BST prahovi se sintetišu hidrotermalnim tretmanom u hidrotermalnom reaktoru, korišćenjem prekursorskog rastvora BST pripremljenog metodom kompleksne polimerizacije. Glavna ideja je u kombinovanju prednosti ove dve metode, a u cilju dobijanja nanočestičnog BST praha, homogene raspodele veličine čestica i niskog stepena aglomeracije. Kao verifikacija postupka sinteze ispitivan je fazni sastav, kao i strukturne i mikrostrukturne karakteristike dobijenih prahova. U cilju dobijanja guste keramike vršena je optimizacija uslova presovanja i sinterovanja tako dobijenih prahova. Osim toga, ispitivan je i uticaj ovog načina sinteze na fazni sastav, dielektrična i feroelektrična svojstva dobijene BST keramike.

## 2 Struktura i svojstva feroelektričnih materijala

Feroelektrični materijali su svoj naziv dobili zbog postojanja dielektrične histerezisne petlje  $\varepsilon(E)$  analogno magnetnoj histerezisnoj petlji  $B(H)$ . Svojstva feroelektričnih materijala određena su hemijskim sastavom i atomskom građom tih materijala. Svi do sada ispitani feroelektrični oksidi mogu se svrstati u nekoliko kristalnih struktura: perovskitne ( $\text{BaTiO}_3$ ,  $\text{PbZrTiO}_3$ ,  $\text{KNbO}_3$ ,  $\text{LaFeO}_3$ ), slojevite perovskitne (Dion-Jacobson  $\text{CsCa}_2\text{Nb}_3\text{O}_{10}$ , Ruddlesden-Popper  $\text{K}_2\text{La}_2\text{Ti}_3\text{O}_{10}$ , i Aurivilijusove  $\text{Bi}_4\text{Ti}_3\text{O}_{12}$ ,  $\text{BaBi}_4\text{Ti}_{14}\text{O}_{15}$  strukture), pirohlorne ( $\text{Cd}_2\text{Nb}_2\text{O}_7$ ), strukture volframske bronze ( $\text{PbNb}_2\text{O}_6$ ), ilmenitne ( $\text{LiTaO}_3$ ) itd. Zajednička karakteristika ovih struktura je postojanje jona visokog nanelektrisanja (Ti, Nb, Ta,...) unutar kiseoničnih oktaedara. Velika polarizabilnost kiseoničnih oktaedara dovodi do spontane polarizacije, odnosno metalni ion se pomera iz svog centrosimetričnog položaja čak i u odsustvu spoljašnjeg polja [1][2].

Feroelektrični materijali su dosta proučavani i imaju široku primenu u različitim oblastima nauke i tehnike, kao magnetni materijali, kondenzatori, feroelektrične memorije, aktuatori, poluprovodnici, senzori, katalizatori, itd. Titanati zemnoalkalnih metala kao što su barijum titanat i barijum stroncijum titanat zbog svoje netoksičnosti imaju prednost u odnosu na feroelektrične bazirane na olovu. Dobra dielektrična i feroelektrična svojstva čine ga jako pogodnim za primenu u raznim oblastima mikroelektronike.

### 2.1 Struktura perovskita $\text{ABO}_3$

Barijum stroncijum titanat pripada klasi perovskitnih materijala, koji su naziv dobili po prirodnom piezoelektričnom oksidu *perovskitu*,  $\text{CaTiO}_3$ . Idealna perovskitna struktura je kubna, a prostorna grupa simetrije je  $Pm\bar{3}m$ . Opšta formula perovskita je  $\text{ABO}_3$ , gde je A mono- ili bivalentan, B tetra- ili petovalentan atom. Veći katjoni A se nalaze u rogljevima a manji katjoni B u središtu kocke. Anjon, uglavnom kiseonik, smešten je u centru stranica kocke.

Stabilnost perovskitne strukture kao i feroelektrična svojstva datog jedinjenja zavise od načina pakovanja jona u rešetki i njihovog geometrijskog odnosa. Stabilnost perovskitne strukture  $\text{ABO}_3$ , može se definisati tzv. geometrijskim faktorom

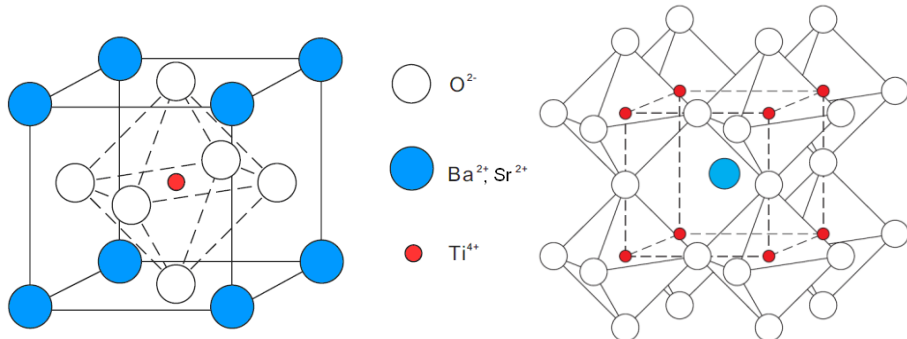
stabilnosti (faktor tolerancije), koji je uveo Goldšmit (Goldschmidt), i koji je definisan sledećom jednačinom:

$$t = r_A + r_B / \sqrt{2(r_B + r_O)} \quad (2.1)$$

gde su  $r_A$ ,  $r_B$ ,  $r_O$  jonski radijusi A, B, i O jona respektivno [3]. U slučaju idealne kubne perovskitne strukture,  $t = 1$  [4]. U slučaju  $t \neq 1$  javljaju se deformacije rešetke, koje uslovjavaju pojavu feroelektriciteta [5]. Perovskitna struktura je stabilna ukoliko se vrednosti faktora tolerancije kreću u opsegu ( $0.75 < t < 1$ ).

### 2.1.1 Struktura barijum stroncijum titanata (BST)

Barijum-stroncijum-titanat  $Ba_xSr_{1-x}TiO_3$  (BST) predstavlja čvrst rastvor barijum titanata  $BaTiO_3$  i stroncijum titanata  $SrTiO_3$ , i pripada grupi oksida perovskitne strukture opšte formule  $ABO_3$ . Elementarna ćelija kristalne strukture barijum-stroncijum-titanata je površinski centrirana kubna rešetka. U centru ćelije se nalazi katjon manjeg jonskog radiusa – B (titan), u rogljevima se nalazi katjon sa većim jonskim radijusom – A (barijum, stroncijum), dok joni kiseonika zauzimaju centre ravni (sl. 2.1).

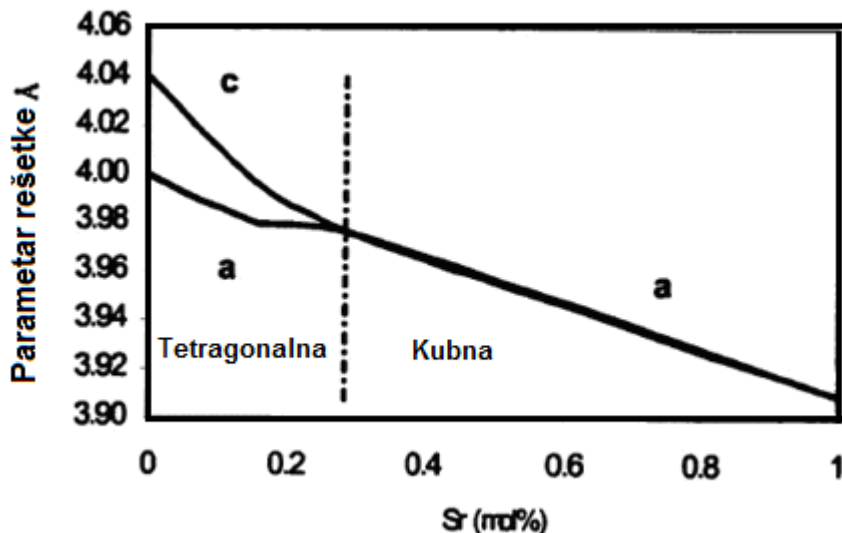


Slika 2.1 Jedinična ćelija barijum stroncijum titanata idealne perovskitne strukture.

Osnovne izgrađivačke jedinice barijum-stroncijum-titanata jesu kiseonični oktaedri  $[TiO_6]^{8-}$  koji su međusobno vezani rogljevima, a u centru svakog oktaedra nalazi se  $Ti^{4+}$  jon. U šupljinama ovih oktaedara nalaze se joni  $Ba^{2+}$  ili  $Sr^{2+}$ , čiji su jonski radijusi 135 i 118 pm, respektivno [6].

Kristali  $Ba_xSr_{1-x}TiO_3$  mogu imati kubnu ili tetragonalnu strukturu u zavisnosti od odnosa Ba i Sr u sistemu. Pokazano je i da parametri jedinične ćelije zavise od vrednosti x. Naime, za vrednosti  $x < 0.75$  materijal ima kubnu strukturu, dok pri

većim vrednostima x materijal ima tetragonalnu strukturu na sobnoj temperaturi [7][8] (sl. 2.2).



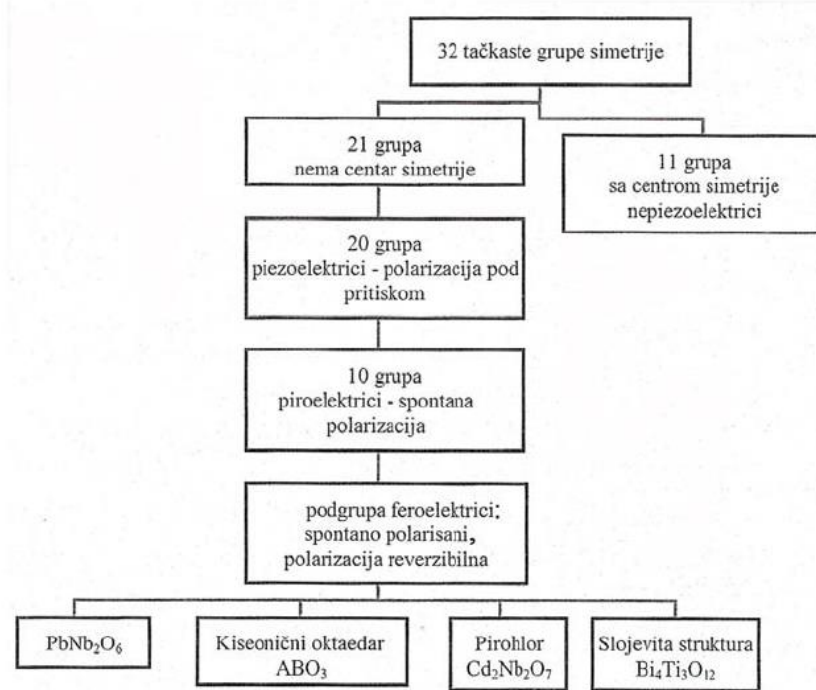
Slika 2.2. Struktura i parametri čelije u zavisnosti od udela Sr u sistemu.

## 2.2 Feroelektrična svojstva materijala

Prva supstanca na kojoj su otkrivene feroelektrična svojstva jeste Rošelova (Rochelle) so, kalijum natrijum tartarat  $\text{NaKC}_4\text{H}_4\text{O}_6 \cdot 4\text{H}_2\text{O}$ , 1921.godine. Ubrzo nakon toga otkrivena su feroelektrična svojstva na monokristalu  $\text{KH}_2\text{PO}_4$ , dok je prva polikristalna supstanca na kojoj je primećena pojava feroelektriciteta bio barijum titanat 1944.godine. Orijentacija pojedinačnih kristalita (domena) unutar zrna barijum titanatne keramike pod uticajem spoljašnjeg električnog polja, bila je revolucionarno otkriće, jer se do tada verovalo da keramika ne može ispoljavati feroelektrična svojstva usled nasumično orijentisanih kristalita pri čemu dolazi do poništavanja spontane polarizacije. Nakon drugog svetskog rata kreću intenzivna istraživanja na polju feroelektričnih materijala; otkrivena je pojava feroelektriciteta u  $\text{LiNbO}_3$  i  $\text{LiTaO}_3$ , a pedesetih godina se intenzivno radi na razvoju olovo titanatne keramike (PZT). 1960ih i 1970ih godina prošlog veka radi se na razvoju olovo lantan-cirkonatne keramike (PLZT) koja se koristi u optoelektronici, kao i na sintezi feroelektričnih kompozitnih materijala. Osamdesetih i devedesetih godina prošlog veka veliki broj istraživanja se bazira na razvoju feroelektričnih tankih filmova i njihovoj upotrebi u mikroelektronici. Da bi se zadovoljili ekološki zahtevi, poslednjih godina su veoma aktuelna istraživanja feroelektrika koji ne sadrže olovo. Intenzivno

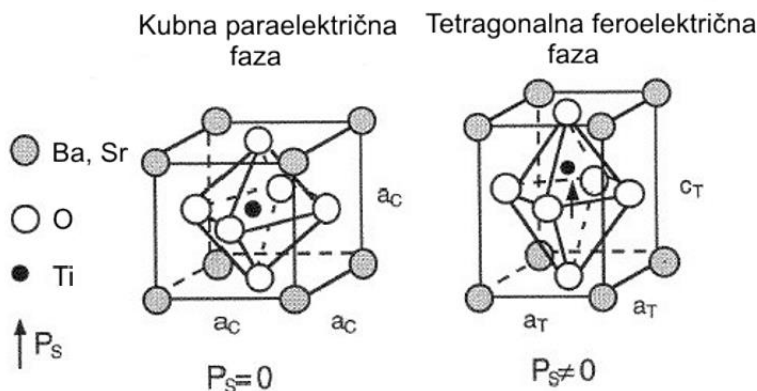
se radi na razvoju novih, kao i na poboljšanju svojstava do sada poznatih feroelektričnih materijala [1].

Da bi se objasnila pojava piezolektriciteta, a samim tim i feroelektriciteta, neophodno je razumevanje kristalne strukture (unutrašnje simetrije) datog materijala. Kristali se, zavisno o njihovoj geometriji, mogu klasifikovati u sedam osnovnih kristalografskih sistema: triklinični, monoklinični, ortorombični, tetragonalni, romboedarski, heksagonalni i kubni, koji se u skladu sa odgovarajućim elementima simetrije dalje mogu klasifikovati u 32 kristalografske klase (tačkaste grupe simetrije). Od 32 grupe, 21 grupa nema centar simetrije, što prestavlja uslov za pojavu piezoelektriciteta. Piezoelektricitet je pojava polarizacije u kristalu usled primene pritiska i posledica je pomeranja atoma iz njihovih ravnotežnih položaja. Zapaženo je da od 21 grupe simetrije bez centra simetrije, 20 njih pokazuje piezoelektrična svojstva, dok jedna grupa, usled kombinacija drugih elemenata simetrije [1] nije piezoelektrik. Od ovih 20 piezolektričnih grupa, 10 grupa spadaju u podgrupu piroelektrika. Za razliku od piezoelektrika kod kojih dolazi do polarizacije usled promene pritiska, piroelektrici su spontano polarisani i polarizacija se menja sa promenom temperature. Ferolektrici, slično kao i piroelektrici su spontano polarisani, ali za razliku od njih kod ferolektrika polarizacija je reverzibilna pod dejstvom električnog polja. Da bi se materijal klasifikovao kao ferolektrik neophodno je da budu ispunjena dva uslova: postojanje spontane polarizacije i mogućnost promene polarizacije pod uticajem spoljašnjeg električnog polja. Podela kristala na osnovu unutrašnje kristalne simetrije i polarizaciji koju poseduju, kao i tipovi ferolektričnih materijala šematski su prikazani na slici 2.3 [9].



Slika 2.3. Podela kristala na osnovu unutrašnje kristalne simetrije.

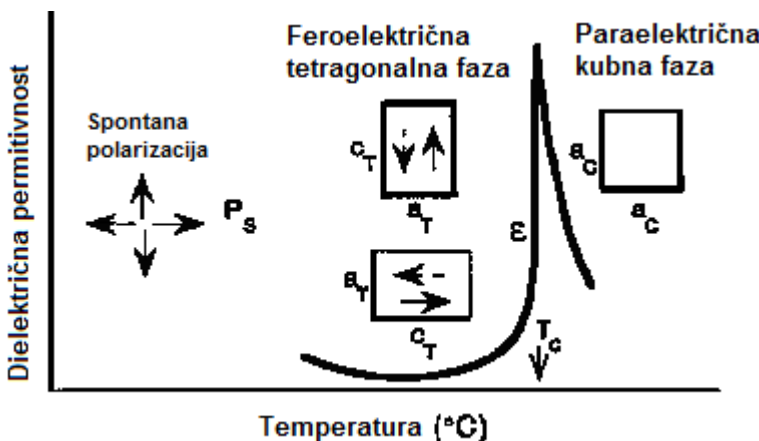
Feroelektrici su materijali koji imaju spontanu polarizaciju i pravac polarizacije se može menjati dejstvom spoljašnjeg električnog polja. Za svaki feroelektrik postoji određena, kritična temperatura  $T_c$ , tzv. Kirijeva (Curie) temperatura, na kojoj dolazi do promene strukture kristala i faznog prelaza; sa porastom temperature sistem prelazi iz feroelektričnog polarisanog stanja (tetragonalna faza) u neferolektrično (ili paraelektrično) nepolarisano stanje (kubna faza). Simetrija feroelektrične faze je uvek niža od simetrije paraelektrične faze (sl. 2.4).



Slika 2.4. Fazna transformacija  $(\text{Ba}, \text{Sr})\text{TiO}_3$ .

U blizini Kiri tačke dolazi do promene simetrije kristala i nagle promene dielektričnih, piezoelektričnih, optičkih i topotropskih svojstava materijala. Na sl. 2.5

prikazan je fazni prelaz praćen naglim skokom dielektrične permitivnosti na Kiri temperaturi.



Slika 2.5. Fazni prelaz iz feroelektrične u paraelektričnu formu praćen naglim skokom dielektrične permitivnosti u tački prelaza.

Fazni prelazi kod feroelektričnih materijala se mogu grubo podeliti na dva tipa [10]:

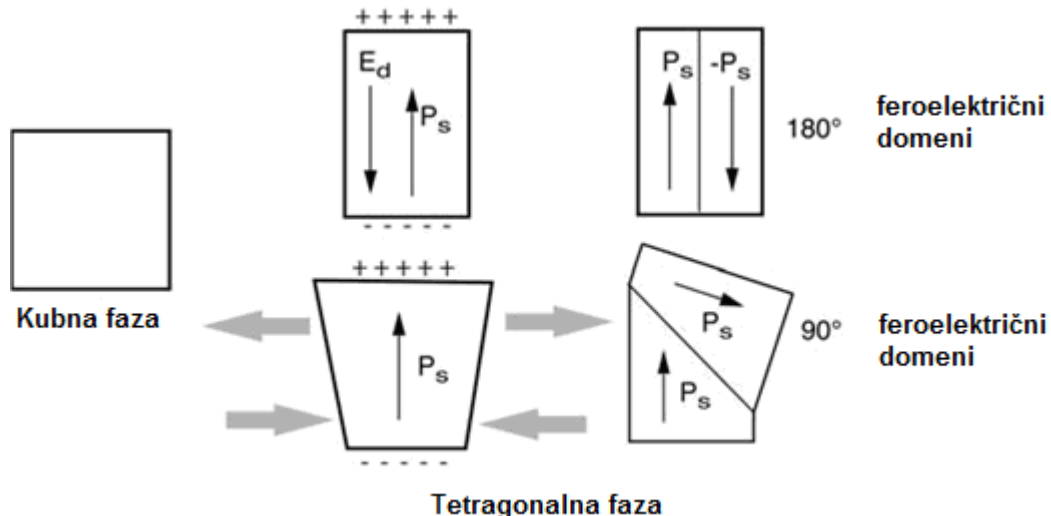
1. Prelazi tipa uređeno/neuređeno
2. Prelazi tipa pomeraja

Kod feroelektrika sa faznim prelazom tipa uređeno/neuređeno polarizacija se može ostvariti duž nekoliko osa koje su u paraelektričnoj fazi ekvivalentne. Na temperaturama iznad  $T_c$  dipoli se održavaju ali se njihova orijentacija potpuno narušava. Ovaj tip faznog prelaza karakterističan je za kristale sa vodoničnim vezama, kao što je kalijum dihidrogen fosfat  $\text{KH}_2\text{PO}_4$ .

Kod feroelektrika sa strukturnim faznim prelazom tipa pomeraja, pri faznom prelazu iz paraelektrične u feroelektričnu fazu dolazi do distorzije kristalne rešetke i promene simetrije kristala. Na temperaturama iznad  $T_c$  dolazi do iščezavanja dipola. Feroelektrici sa faznim prelazom tipa pomeraja su uglavnom jonski kristali pretežno perovskitne strukture:  $\text{BaTiO}_3$ ,  $\text{PbTiO}_3$ ,  $\text{CaTiO}_3$ ,  $\text{SrTiO}_3$ , itd.

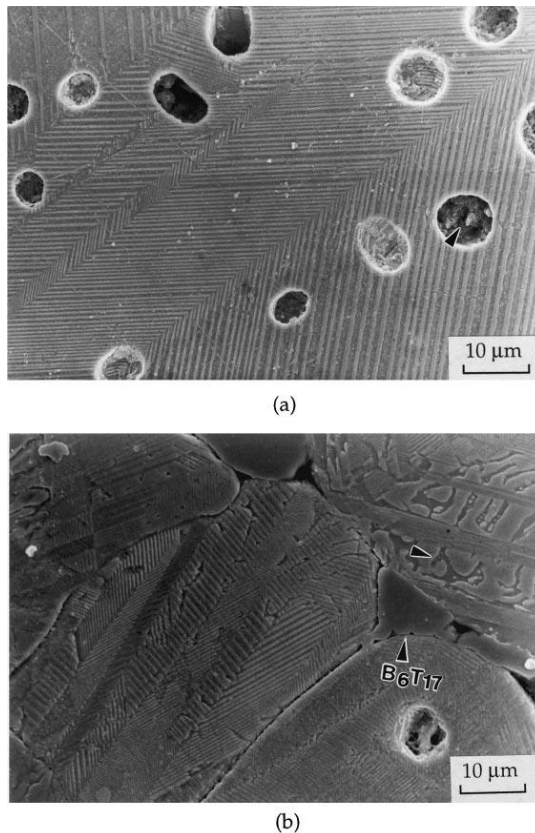
Spontana polarizacija ( $P_s$ ) u feroelektričnim kristalima obično nije uniformno uređena duž istog pravca u čitavom kristalu. Regioni u kristalu sa uniformno orijentisanom spontanom polarizacijom se nazivaju *feroelektrični domeni*. Unutar jednog domena ukupni dipolni momenat orijentisan je u jednom određenom pravcu. Izvan električnog polja, momenti dipola su nasumično raspoređeni, međutim pod dejstvom spoljašnjeg električnog polja domeni se orijentišu, odnosno njihovi momenti dipola i dolazi do potpune polarizacije. Veličina feroelektričnih domena se kreće u

opsegu od 0.1 do 100  $\mu\text{m}$ . Region izmedju dva domena se naziva domenski zid i on predstavlja granicu domena. Feroelektrični domeni se formiraju u cilju minimiziranja elektrostatičke i elastične energije povezane sa mehaničkim naprezanjem koje je prisutno u materijalu usled faznog prelaza [9][11].



**Slika 2.6.** Ilustracija formiranja 180° i 90° feroelektričnih domena u feroelektricima perovskitne strukture. Stres koji nastaje pri faznom prelazu se minimizira stvaranjem domena.  $P_s$  – spontana polarizacija,  $E_d$  – depolarišuće električno polje [9].

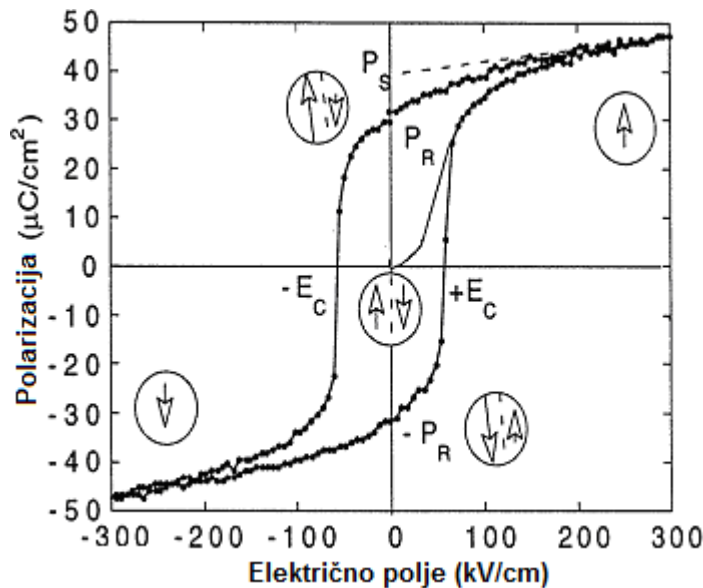
Usled naprezanja u materijalu dolazi do formiranja dve vrste feroelektričnih domena: *180° domena*, koji se formiraju u cilju minimiziranja elektrostatičke energije, i *90° domena* koji kompenzuju višak elastične energije koja se stvara prilikom faznog prelaza (sl. 2.6) [12]. Domeni se međusobno razlikuju po izgledu; 90° domeni su linearni (ili u obliku riblje kosti), dok su 180° domeni talasaste („vodenih žiga“) strukture sa karakterističnim nepravilnim kružnim ivicama. S obzirom da pri faznom prelazu barijum titanata iz kubne u tetragonalnu fazu dolazi do distorzije kristalne rešetke, višak energije koji se pri tom stvara uglavnom se kompenzuje formiranjem 90° domena. Na sl. 2.7 predstavljena su oba tipa domena koja se javljaju u barijum titanatnoj keramici.



Slika 2.7. Feroelektrični domeni: (a) riblja kost 90° domenska struktura, (b) vodenji žig 180° domenska struktura u BaTiO<sub>3</sub> [13].

Najvažnija karakteristika feroelektričnih materijala je reverzna polarizacija pod dejstvom spoljašnjeg električnog polja, čija je posledica postojanje *histerezisne petlje*. Za razliku od paraelektrika kod kojih postoji linearna zavisnost polarizacije ( $P_s$ ) sa električnim poljem ( $E$ ), kod feroelektrika kriva  $P(E)$  ima znatno složeniji oblik. Histerezisna petlja se može eksperimentalno objasniti korišćenjem Sojer-Tauer (Sawyer-Tower) kola (sl. 2.8). Primenom spoljašnjeg polja dipoli pokazuju tendenciju da promene svoju orijentaciju u skladu sa primjenjenim poljem. Na histerezisnoj petlji to je linearna zavisnost između  $P$  i  $E$  i kristal se ponaša kao normalan dielektrik. Kada električno polje postane dovoljno jako da okrene sve dipole u kristalu, dolazi do saturacije polarizacije i dalji porast polja nema uticaj na polarizaciju. Vrednost maksimalne polarizacije se naziva saturaciona polarizacija –  $P_s$  ( $\mu\text{C}/\text{cm}^2$ ). Preusmeravanjem električnog polja, polarizacija dobija nultu vrednost, i dalji porast polja dovodi do zasićenja polarizacije u suprotnom pravcu ( $-P_s$ ). Remanentna polarizacija –  $P_r$  predstavlja zaostalu polarizaciju u materijalu kada je vrednost spoljašnjeg električnog polja jednaka nuli, i očitava se iz preseka histerezisne krive sa

y-osom. Koercitivno polje –  $E_c$  (kV/cm) predstavlja jačinu polja koje je potrebno da polarizacija u materijalu dobije nultu vrednost [14][15].



Slika 2.8. Polarizovanje feroelektrika u električnom polju – histerezisna petlja.

Vrednost koercitivnog polja, spontane i remanentne polarizacije, tj. oblik  $P(E)$  krive zavise od više faktora, uključujući mikrostrukturu, prisustvo defekata, mehaničkih stresova, uslova pripreme, i termičkog tretmana ispitivanog materijala. Veličina zrna ima veliki uticaj na oblik  $P(E)$  krive. Rendal (Randall) i saradnici [16] su pokazali na primeru PZT keramike da sa smanjenjem veličine zrna vrednost remanentne polarizacije se smanjuje, dok vrednost koercitivnog polja raste. U slučaju feroelektričnih filmova, debljina filma ima dodatni uticaj na pomenute vrednosti. Polarizacija može imati manje vrednosti, dok vrednost  $E_c$  može biti čitav red veličine veća u feroelektričnim filmovima nego u kompaktnom materijalu istog sastava. Uzrok tome može biti manja veličina zrna i niža gustina u filmu u poređenju sa keramikom [17].

## 2.3 Dielektrična svojstva materijala

Svojstva feroelektričnih materijala se najbolje ogledaju u ponašanju dielektrične propustljivosti ( $\epsilon$ ) u zavisnosti od frekvencije primjenjenog električnog polja, temperature i naprezanja u materijalu. Feroelektrični materijali se odlikuju velikim vrednostima dielektrične permitivnosti, 100-10000, za razliku od nepolarnih dielektričnih materijala kod kojih dielektrična permitivnost ima vrednosti od 1 do 10. Poznato je da se u oblasti faznog prelaza kod feroelektričnih materijala zapaža nagli skok permitivnosti. Iznad temperature faznog prelaza, tj. Kiri tačke dielektrična permitivnost naglo opada sa temperaturom u skladu sa Kiri-Vajsovim (Curie-Weiss) zakonom:

$$\epsilon = C/(T-T_c) \quad (2.2)$$

gde je  $C$  Kirijeva konstanta a  $T_c$  Kirijeva temperatura, koje su karakteristične za dati materijal.

*Dielektrična propustljivost* je kompleksna veličina, s obzirom da zavisi od primjenjenog napona i frekvencije primjenjenog električnog polja, i stoga se može rastaviti na realni i imaginarni deo:

$$\epsilon = \epsilon' - i\epsilon'' \quad (2.3)$$

gde su  $\epsilon'$  i  $\epsilon''$ , realni i imaginarni delovi dielektrične permitivnosti. Realni deo se odnosi na skladištenje električne energije u materijalu, dok imaginarni deo predstavlja deo energije koji se u jedinici vremena pretvori u druge oblike energije, pretežno u toplotu.

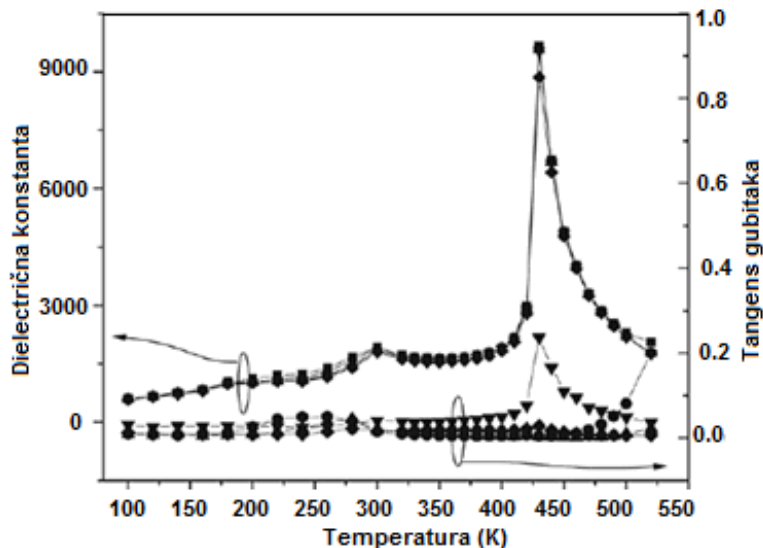
Dielektrični gubici, izraženi kao *tangens gubitaka* ( $\tan \delta$ ) u materijalu se mogu opisati korišćenjem sledeće jednačine:

$$\tan \delta = \epsilon''/\epsilon' \quad (2.4).$$

Tangens gubitaka je bezdimenziona veličina i predstavlja procenat ukupne električne energije koji se pretvori u toplotu. Materijali sa dobriim dielektričnim svojstvima pogodni za određenu primenu imaju visoke vrednosti dielektrične propustljivosti i male vrednosti dielektričnih gubitaka.

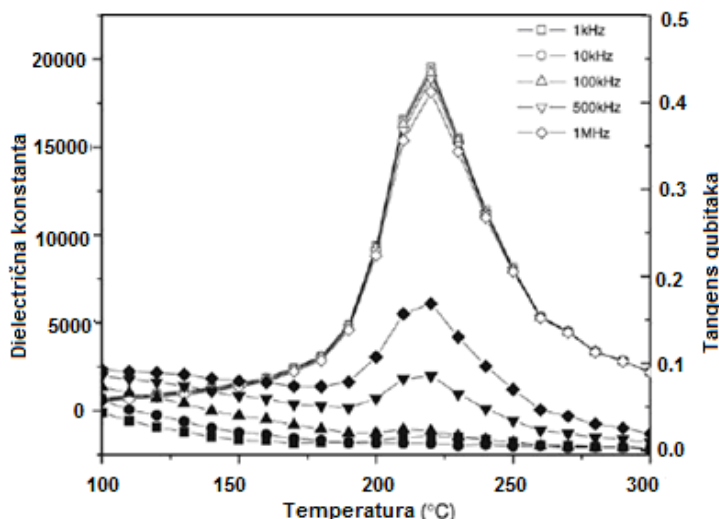
Prema tipu zavisnosti dielektrične permitivnosti od temperature, feroelektrični materijali se mogu klasifikovati u tri grupe: normalni (pravi) feroelektrici, feroelektrici sa difuznim faznim prelazom i relaksori.

*Normalni feroelektrici* – kod normalnih feroelektrika permitivnost raste sa sniženjem temperature, zatim dolazi do pojave oštrog pika na temperaturi faznog prelaza i dalje do naglog pada permitivnosti (sl. 2.9) [18]. Na temperaturama iznad Kiri tačke permitivnost se pokorava Kiri-Vajsovom zakonu i dolazi do gubitka spontane polarizacije. Normalne feroelektričke karakteriše i postojanje histerezisne petlje u kojoj se pri nultom polju zadržava velika remanentna polarizacija.



Slika 2.9. Zavisnost  $\epsilon' = f(T)$  za različite frekvencije usled relaksorskog faznog prelaza u  $\text{BaTiO}_3$  [18].

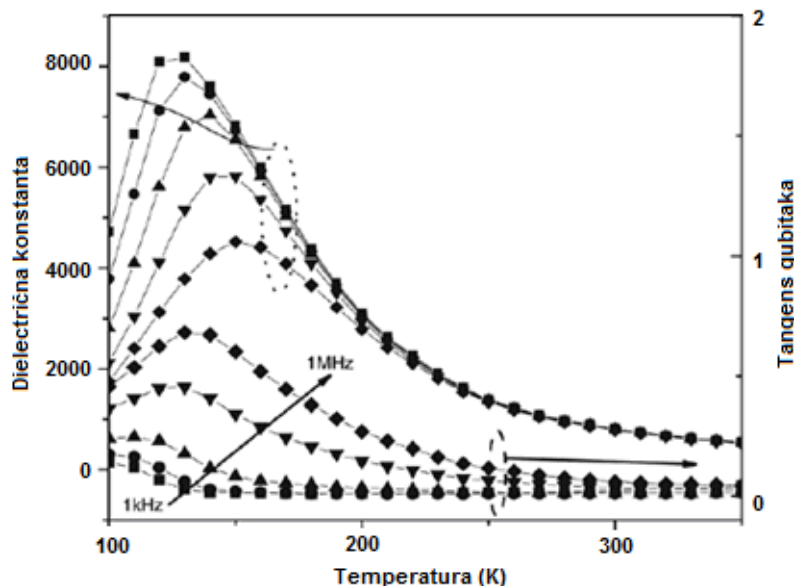
*Feroelektrici sa difuznim faznim prelazom.* Kod difuznog faznog prelaza oblik pika  $\epsilon(T)$  je širok i zaobljen, što ukazuje da se prelaz dešava u nekom opsegu temperature usled fluktuacije sastava, (sl. 2.10).



Slika 2.10. Zavisnost  $\epsilon' = f(T)$  za različite frekvencije usled difuznog faznog prelaza u  $\text{Ba}(\text{Ti}_{0.7}\text{Sn}_{0.2})\text{O}_3$  [18].

Širenje pika na grafiku je posledica formiranja nano-regiona usled lokalne promene faznog sastava.

*Relaksori.* Fazni prelaz ima zaobljen oblik pika na grafiku  $\varepsilon(T)$ , ali za razliku od difuznog faznog prelaza, prisutno je pomeranje temperature faznog prelaza sa povećanjem frekvencije ka višim vrednostima [19], dok dielektrična propustljivost pokazuje odstupanje od Kiri-Vajsovog zakona na temperaturama višim od temperaturama dielektričnog maksimuma  $T_m$  (sl. 2.11).



Slika 2.11. Zavisnost  $\varepsilon' = f(T)$  za različite frekvencije usled relaksorskog faznog prelaza u Ba(Ti<sub>0.7</sub>Sn<sub>0.3</sub>)O<sub>3</sub> [18].

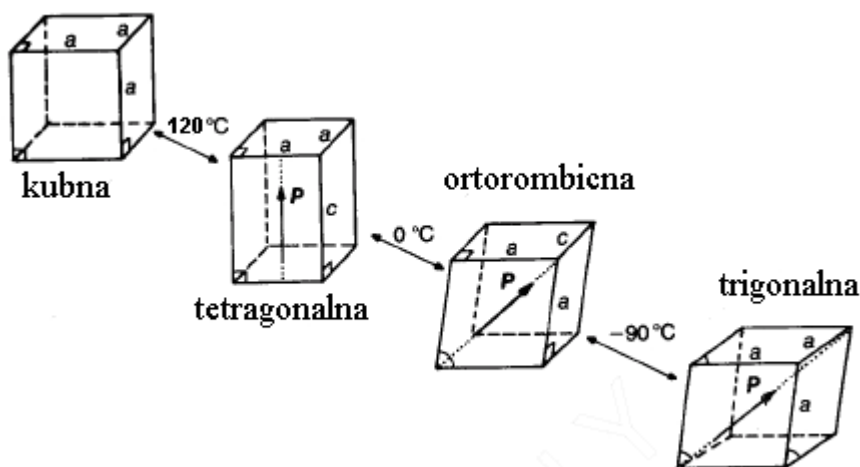
Dielektrična permitivnost kod relaksora i feroelektrika sa difuznim faznim prelazom se pokorava modifikovanom Kiri Vajsovom zakonu:

$$\frac{1}{\varepsilon} - \frac{1}{\varepsilon_m} = (T - T_m)^\gamma / C' \quad (2.5)$$

gde je  $T_m$  temperatura dielektričnog maksimuma,  $\varepsilon_m$  maksimalna dielektrična permitivnost,  $C'$  modifikovana Kiri Vajsova konstanta, i  $\gamma$  konstanta koja određuje širinu ili razvučenost faznog prelaza.  $\gamma$  može varirati od 1 za normalne feroelektrike do 2 za potpuno relaksorske feroelektrike, dok vrednosti između 1 i 2 ukazuju na difuzni fazni prelaz. Vrednosti parametara  $C'$  i  $\gamma$  se mogu eksperimentalno odrediti iz linearne zavisnosti  $\ln(\frac{1}{\varepsilon} - \frac{1}{\varepsilon_m}) = f(\ln(T - T_m))$ , na temperaturama višim od  $T_m$  [20].

## 2.4 Feroelektrična i dielektrična svojstva BST

Čist BaTiO<sub>3</sub> ( $T_c = 120$  °C) postoji u nekoliko kristalnih modifikacija, zavisno od temperature. Visokotemperaturna faza (120-1460 °C) ima kubnu strukturu i osobine paralektrika, dok je ispod 120 °C struktura tetragonalna i BaTiO<sub>3</sub> postaje feroelektrik (sl. 2.12).



Slika 2.12. Promene simetrije kristalne rešetke pri hlađenju od kubne do romboedarske faze.

Pokazano je da kod barijum titanata postoji niz feroelektričnih faznih prelaza; od tetragonalne do ortorombične na 0 °C i od ortorombične do romboedarske na -90 °C. Iznad 1460 °C BaTiO<sub>3</sub> ima heksagonalnu strukturu koja ne pripada klasi perovskita [21][22] Feroelektricitet barijum titanata potiče od mobilnosti Ti<sup>4+</sup> katjona u [TiO<sub>6</sub>]<sup>8-</sup> oktaedrima, što dovodi do pomeranja pozitivnih i negativnih centara nanelektrisanja, a usled čega oktaedri postaju električni dipoli (sl. 2.4). U slučaju barijum titanata velika polarizabilnost dovodi do pojave spontane polarizacije, odnosno joni titana pomeraju se iz svog centrosimetričnog položaja čak i u odsustvu spoljašnjeg električnog polja. SrTiO<sub>3</sub> je kvantni paraelektrik sa temperaturom faznog prelaza od -163 °C. U svrhu podešavanja feroelektričnih svojstava i dielektrične propustljivosti, SrTiO<sub>3</sub> se uvodi u rešetku BaTiO<sub>3</sub> pri čemu dolazi do parcijalne supstitucije jona Ba<sup>2+</sup> i jona Sr<sup>2+</sup> i linearног smanjenja vrednosti temperature fazne transformacije.

Feroelektrična svojstva BST koja su važna za njegovu praktičnu primenu strogo zavise od odnosa Ba i Sr jona u sistemu. Istraživanjima feroelektričnih karakteristika čvrstih rastvora Ba<sub>x</sub>Sr<sub>1-x</sub>TiO<sub>3</sub> pokazano je da ukoliko je  $x \geq 0.8$ ,

materijal se ponaša kao pravi feroelektrik, dok u slučaju  $x < 0.8$  materijal ima relaksorska svojstva [23][24].

Veliki broj radova je posvećen uticaju odnosa Ba i Sr jona na vrednost dielektrične konstante na Kirijevoj temperaturi kao i na vrednosti remanentne polarizacije i koercitivnog polja kada se materijal nalazi u promenljivom elektricnom polju. Ota (Ota) [25] i saradnici su pokazali da maksimum dielektrične konstante opada sa smanjenjem vrednosti  $x$ , dok je Vang (Wang) [26] pokazao da dielektrična konstanta ima maksimum kada je  $x = 0.8$ , što je potvrđeno kasnjim istraživanjima [27][28]. Li (Li) i saradnici [29] su sintetisali  $\text{Ba}_{1-x}\text{Sr}_x\text{TiO}_3$  ( $x = 0, 0.1, 0.2, 0.3$ ) prahove i ispitivali uticaj sadržaja Sr na dielektrična svojstva sinterovane keramike. Potvrđeno je da temperatura faznog prelaza,  $T_c$  opada sa porastom udela Sr u sistemu i da vrednost dielektrične konstante ima maksimum ukoliko je  $x = 0.2$ . Kim (Kim) i saradnici [30] su sintetisali  $\text{Ba}_{1-x}\text{Sr}_x\text{TiO}_3$  ( $x = 0-1$ ) prahove i merili promenu polarizacije u uzorcima. U okviru istraživanja došli su do zaključka da za vrednosti  $x < 0.3$  sistem pokazuje feroelektrična svojstva, dok za vrednosti  $x > 0.3$  sistem je paraelektričan. Vrednosti remanentne polarizacije  $P_r$  opadaju sa porastom udela Sr i kreću se od  $\sim 3$  u slučaju kada je  $x = 0$ , do vrednosti 0.1 kada je  $x = 1$ .

Strukturne karakteristike, tj. prisustvo tetragonalne ili kubne faze, takođe značajno utiču na sinterabilnost sintetisanih BST prahova kao i na dielektrična svojstva i primenu keramike. Pokazano je da barijum titanatni prahovi sa tetagonalnom simetrijom imaju bolju sinterabilnost, a sinterovani materijali veću gustinu i dielektričnu konstantu (98.3%  $\rho_T$ ,  $\varepsilon_r$  6900 na  $T_{25}$ ) u odnosu na keramiku pripremljenu od prahova kubne simetrije (86%  $\rho_T$ ,  $\varepsilon_r$  1900 na  $T_{25}$ ) [31][32].

Uticaj različitih metoda sinteze i procesiranja prahova na dielektrična i feroelektrična svojstva je proučavan u mnogim radovima. U tabeli 2.1 date su vrednosti dielektrične konstante  $\text{Ba}_x\text{Sr}_{1-x}\text{TiO}_3$  ( $x = 0-1$ ) na sobnoj i Kiri temperaturi merene na uzorcima sintetisanim i sinterovanim pod različitim uslovima.

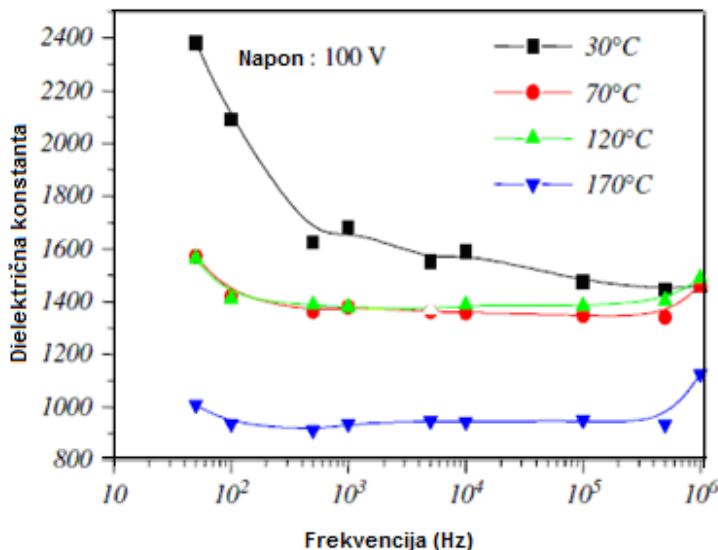
Tabela 2.1. Literaturni pregled dielektričnih svojstava keramike barijum stroncijum titanata različitog sastava.

Publikacija	Sastav Ba/Sr	Tip sinteze	$T_{sinterovanja}$ (°C)/vreme sint.	Dielektrična konstanta na $T_{sobna}$	Dielektrična konstanta na $T_c$	Frekvencija
Szymczak i saradnici [33]	0.8/0.2	reakcija u čvrstom stanju	1460/1-7 h	1000-2000	3500-8000	1 kHz
Kim i saradnici [30]	0.8/0.2	reakcija u čvrstom stanju	1300/6 h	2000	4000	1 kHz
Arya i saradnici [34]	0.75/0.25	sol-gel	1100/3 h	268	*	100 kHz
Razak i saradnici [35]	0.8/0.2	hidrotermalna	1200/3 h	1177	*	1 kHz
Xu i saradnici [36]	0.6/0.4	citratni metod	1250/2 h	2000	6000	0,1, 1, 10, i 100 kHz
Fu i saradnici [37]	0.8/0.2	reakcija u čvrstom stanju	1320/2 h	4000	15000	1 kHz
Miao i saradnici [38]	0.77/0.23	hidrotermalna	1280, 1310/40 min	1500/3500	1920,6000	100 kHz

\* podaci koji nisu dati u navedenim publikacijama

Jun (Yun) i saradnici [39] sintetisali su  $\text{Ba}_{0.8}\text{Sr}_{0.2}\text{TiO}_3$  prahove reakcijom u čvrstom stanju iz smeše oksida i reakcionim sinterovanjem smeše  $\text{BaTiO}_3$  i  $\text{SrTiO}_3$ . Autori su došli do zaključka da prahovi sintetisani reakcijom u čvrstom stanju su homogenije mikrostrukture, veće gustine, i samim tim imaju znatno bolja feroelektrična i dielektrična svojstva ( $\epsilon = 17557$ ,  $P_r = 5.95 \mu\text{C}/\text{cm}^2$ ) u odnosu na prahove dobijene reakcionim sinterovanjem ( $\epsilon = 12945$ ,  $P_r = 4.91 \mu\text{C}/\text{cm}^2$ ) koji imaju manje gustine i kod kojih je prisutan abnormalni rast zrna.

Takođe je proučavana zavisnost vrednosti dielektrične konstante od frekvencije [40]. Slika 2.13 prikazuje frekventnu zavisnost dielektrične konstante merene na različitim temperaturama. Na nižim temperaturama uočava se nagli pad vrednosti dielektrične konstante na frekvencijama ispod 1 kHz, dok na višim frekvencijama vrednost dielektrične konstante teži konstantnoj vrednosti.



Slika 2.13. Frekventna zavisnost dielektrične konstante u čistom  $\text{BaTiO}_3$  [40].

Više radova je posvećeno ispitivanju uticaja veličine zrna na dielektrična i feroelektrična svojstva BST keramike. Zang (Zhang) i saradnici [41] su ispitivali zavisnost temperature sinterovanja i veličine zrna na dielektrična svojstva  $\text{Ba}_{0.7}\text{Sr}_{0.3}\text{TiO}_3$  keramike. Autori su uočili da feroelektrični fazni prelaz postaje razvučen - difuzan, a da se temperatura faznog prelaza smanjuje sa smanjenjem veličine zrna, i da dielektrična konstanta ima maksimum kad je veličina zrna oko 1  $\mu\text{m}$ . Kritična veličina zrna ispod koje sistem gubi feroelektrična svojstva iznosi oko 210 nm. Veliki broj autora je ispitivao zavisnost dielektrične konstante od veličine zrna i pokazali su da vrednost dielektrične konstante ima maksimum kada je veličina zrna oko 1  $\mu\text{m}$  [42][43][44][45]. Zang (Zhang) i saradnici su u narednom istraživanju [44] ispitivali uticaj veličine zrna na feroelektrični fazni prelaz  $\text{Ba}_x\text{Sr}_{1-x}\text{TiO}_3$  keramike pripremljene sol-gel postupkom. Autori su došli do zaključka da u slučaju sastava  $\text{Ba}_{0.7}\text{Sr}_{0.3}\text{TiO}_3$ , dielektrična konstanta ima maksimum kada je veličina zrna oko 1  $\mu\text{m}$ . Takođe su zapazili da  $T_c$  opada sa smanjenjem veličine zrna, i da je kritična veličina zrna ispod koje sistem gubi feroelektrična svojstva oko 176 nm. Tura (Tura) i saradnici [46] su pokazali da  $T_c$  raste od 121 do 126 °C sa povećanjem zrna od 0.5 do 20  $\mu\text{m}$ , kao i da remanentna i saturaciona polarizacija rastu sa porastom veličine zrna keramike barijum titanata dobijene hidrotermalnom metodom.

## 2.5 Metode sinteze BST prahova

Pri odabiru načina sinteze moraju se uzeti u obzir sledeći parametri: složenost i dužina trajanja procesa sinteze, mogućnost korišćenja komercijalnih polaznih komponenti, mogućnost dobijanja materijala željenih svojstava, kao i cena postupka sinteze.

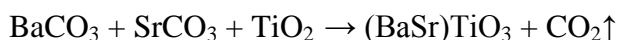
Karakteristike dobijenog materijala zavise od izabrane metode sinteze kao i od kvaliteta polaznih komponenata. Još 50-ih godina prošlog veka je izučavan uticaj karakteristika polaznih prahova, tj. njihove strukture, homogenosti, morfologije, čistoće i veličine čestica na dielektrična i feroelektrična svojstva finalnih keramičkih proizvoda [47][48][49]. Pokazano je da smanjenje srednje veličine čestica poboljšava sinterabilnost prahova i dovodi do smanjenja srednje veličine zrna u keramici, što ima za posledicu povećanje gustine, a samim tim i promenu dielektričnih svojstava. Prema tome, može se zaključiti da je za pripremu keramike velike gustine i dobrih dielektričnih i feroelektričnih svojstava neophodno sintetisati prahove visoke tetragonalnosti, uske raspodele veličine čestica i velike čistoće (bez prisustva intermedijernih i sekundarnih faza), na što je moguće nižim temperaturama kalcinacije. Ovaj uslov je suočen sa nizom, u osnovi, oprečnih činjenica. Smanjenjem temperature kalcinacije postoji velika verovatnoća da intermedijerna faza nije izreagovala do kraja i samim tim kalcinisani prah nije jednofazan. Takođe, smanjenje temperature kalcinacije dovodi do smanjenja dimenzija čestica, ali se smanjuje i kristaliničnost prahova. S druge strane, poznato je da sa smanjenjem veličine čestica opada i tetragonalnost. Neki autori su pokazali da celija postaje kubna ukoliko je veličina čestice manja od 100 nm [50][51][52][53]. Potrebno je sintetisati prahove tetagonalne simetrije, velike čistoće i visoke kristaliničnosti, a pri tom smanjiti rast čestica ili njihovu aglomeraciju.

Metode sinteze barijum stroncijum titanatnih prahova se mogu generalno podeliti na sinteze reakcijom u čvrstom stanju, i na hemijske metode sinteze koje podrazumevaju reakcije iz rastvora.

### 2.5.1. Konvencionalni postupak sinteze reakcijom u čvrstom stanju

Najstarija metoda sinteze BST prahova je komercijalna metoda reakcijom u čvrstom stanju (eng. solid state reaction) iz smeše oksida i/ili karbonata. Polazni prahovi  $\text{BaCO}_3$  ili  $\text{BaO}$ ,  $\text{SrO}$ , i  $\text{TiO}_2$  se homogenizuju u mlinovima, i kalcinišu na visokoj temperaturi u intervalu od 1000-1200°C u trajanju od nekoliko sati. Zatim se vrši deaglomeracija dobijenog praha u odgovarajućem medijumu, najčešće vodi ili alkoholu cilju dobijanja uske raspodele veličine čestica [54][55][56].

Reakcija koja se odvija pri zagrevanju ekvimolarne smeše polaznih komponenti  $\text{BaCO}_3$ ,  $\text{SrCO}_3$ , i  $\text{TiO}_2$  može se prikazati jednačinom:



Prahovi sintetisani reakcijom u čvrstom stanju imaju niz nedostataka kao što su: nehomogen sastav, široka raspodela veličine čestica, velika prosečna veličina čestica ( $1\text{-}5 \mu\text{m}$ ), neregularna morfologija, kao i visok sadržaj nečistoća koji se unosi tokom mlevenja. Ono što je najbitnije, a što direktno utiče na dielektrična svojstva finalnih keramičkih proizvoda, je nemogućnost potpune eliminacije karbonatne faze, čak i nakon kalcinacije na visokim temperaturama [57][58]. Prahovi sintetisani na ovaj način najčešće sadrže čestice reda veličine nekoliko mikrona i imaju široku raspodelu veličine čestica. Prisustvo aglomerata, kao i visoke temperature kalcinacije (najčešće iznad 1000 °C), koje vode do preteranog rasta zrsta, predstavljaju ograničavajuće faktore za dobijanje guste keramike.

### 2.5.2 Mehanohemijačka sinteza

Intenzivno mlevenje, tj. mehanička aktivacija polaznih reaktanata u visokoenergetskom mlinu je jedan od postupaka za dobijanje visokodisperznih prahova. Ako mehanička aktivacija vodi ka promeni strukture i nastanku novog jedinjenja može se govoriti o mehanohemijskoj reakciji. Mehanička aktivacija utiče na smanjenje veličine čestica polaznih reaktanata i povećanje kontakata između njih, čime se obezbeđuje bolja reaktivnost i dobijanje željene keramičke faze na nižoj temperaturi.

Mehanohemijska sinteza barijum stroncijum titanata je bila predmet istraživanja mnogih autora [59][60]. Može se zaključiti da mehanohemijskim

tretmanom polaznih reaktanata se dobija prah velike specifične površine i uniformne raspodele veličine čestica, što je neophodno za dobijanje keramičkih materijala velikih gustina [61][62] Na kraju, jedan od ozbiljnih nedostataka mehanohemijske metode, je mogućnost kontaminacije praha materijalom od kojeg su napravljene kugle i posude za mlevenje. Stoga metoda nije pogodna za dobijanje keramičkih materijala visokog stepena čistoće i dobrih dielektričnih svojstava.

### **2.5.3 Hemijske metode za dobijanje praha BST**

Za razliku od sinteze reakcijom u čvrstoj fazi, sinteze prahova reakcijama iz rastvora, tzv. „mokri“ hemijski postupci, omogućavaju dobijanje finih, homogenih, i veoma čistih prahova, i to na nižim temperaturama. U metode sinteze reakcijom iz rastvora spadaju koprecipitacija, mikroemulziona metoda, sprej piroliza, kriogeno sušenje (eng. freeze drying), hidro- i solvothermalna metoda, različite varijante sol-gel metode i mnoge druge. Veoma dobra retrospektiva sinteze BST prahova data je u preglednom radu Enhesarija (Enhessari) i saradnika [63], gde su prikazane različite metode sinteze prahova iz rastvora, kao i uticaj sinteze na strukturne i morfološke karakteristike dobijenih prahova. Različite varijante sol-gel metode u koje spada metoda kompleksne polimerizacije, kao i sinteza hidroermalnim postupkom primenjuju se u industrijskoj proizvodnji prahova, i stoga su najviše ispitivane metode.

#### *2.5.3.1 Metod koprecipitacije*

Osnovni princip ove metode je simultano taloženje nerastvornih hidroksida ili karbonata iz rastvora, koji se prevode u kristaliničan prah pogodnim termičkim tretmanom. Precipitacija se najčešće vrši hidrolizom na niskim temperaturama (25-100 °C) metal-alkoksidih rastvora, kao što su barijum izopropoksid i titanijum amiloksid [64]. Ikeda (Ikeda) i saradnici [65] su dobili barijum-titanijum alkoksid polazeći od rastvora titanijum izopropoksida u n-oktanolu u koji su dodali određenu količinu čistog barijuma. Tako dobijen rastvor refluksovan je u atmosferi azota u trajanju od 3 h na temperaturi od 150 °C u cilju dobijanja barijum-titanijum alkoksida. Sličan postupak su predložili Sujama (Suyama) i saradnici [66]. Reakcijom čistog barijuma i titanijum izopropoksida u smeši rastvora izopropil alkohola i benzena,

dobijen je prekursorki prah koji se daljim termičkim tretmanom prevodi u kristaliničan barijum titanat.

Prahovi pripremljeni ovom metodom obično pokazuju usku raspodelu veličine čestica sa prosečnom veličinom čestica nekoliko desetina nanometra.

Obzirom da metodom koprecipitacije dolazi do simultanog taloženja Ba i Ti jona, veoma je teško postići optimalne uslove za sintezu, jer je čest slučaj da se taloženje različitih jona dešava pri različitim vrednostima pH rastvora [67]. Neophodno je utvrditi optimalne uslove za koprecipitaciju podešavanjem parametara sinteze kao što su pH, koncentracija reaktanata, odabir medijuma u kome se odigrava reakcija, kao i rastvorljivost dobijenih produkata hidrolize metal-alkoksidnih rastvora.

#### 2.5.3.2 Sinteza prahova sol-gel metodama

Sol-gel procesi su veoma zastupljeni u sintezi prahova, keramičkih materijala, debelih i tankih filmova hidrolizom hemijskih prekursora u obliku sola. Zagrevanjem sola dolazi do uklanjanja vode ili lako isparljivih rastvarača, i formiranja gela, čijim daljim sušenjem nastaje kserogel ili aerogel. Pogodnim termičkim tretmanom dolazi do kristalizacije ksero ili aerogela. Kod originalnog sol-gel postupka polazna jedinjenja za pripremu prekursora su alkoksidi metala, a kao rastvarač se uglavnom koristi alkohol, najčešće 2-metoksietanol. Tokom sinteze alkoksidi u prisustvu vode podležu reakcijama hidrolize i kondenzacije, što dovodi do stvaranja veza metal-kiseonik-metal (M-O-M). Osnovni supnjevi sol-gel procesa su: (1) Hidroliza alkoksida i formiranje reaktivnog monomera; (2) kondenzacija formiranih monomera i stvaranje koloidnih oligomera (sol); (3) Dalja polimerizacija i poprečno povezivanje (eng. cross-linking) koje vodi formiranju trodimenzione mreže (gel):

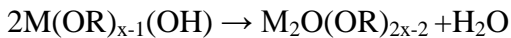
(1) Hidroliza:



(2) Kondenzacija – eliminacija alkohola:



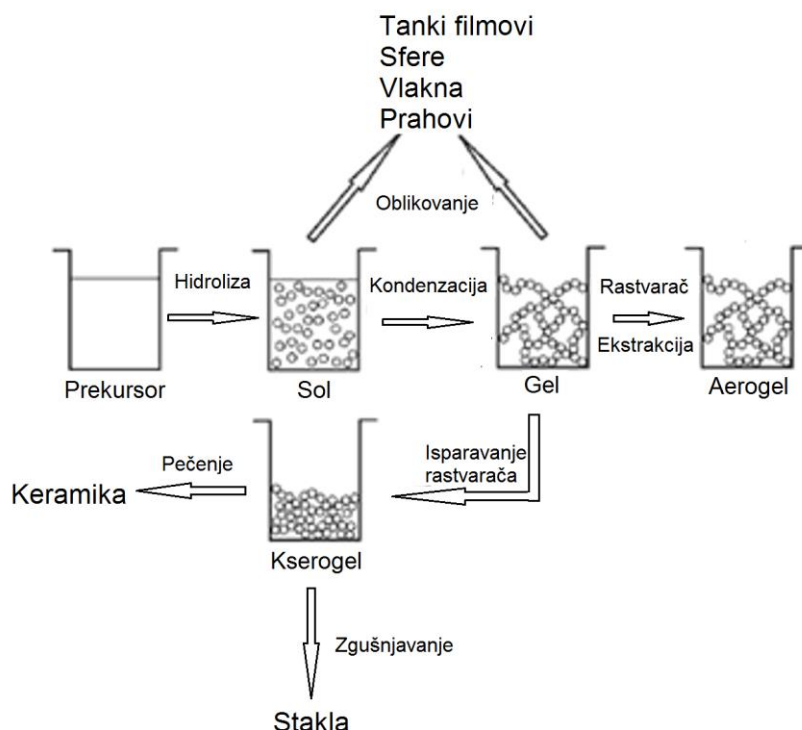
ili Kondenzacija – eliminacija vode:



(3) 3D poprečno povezivanje između  $M_2O(OR)_{2x-2}$  molekula i stvaranje gela

Svojstva dobijenog gela zavise od pH rastvora, sadržaja vode i temperature pri kojoj dolazi do polimerizacije. Kada se reakcija polimerizacije privede kraju, dobijen

gel se dalje termički tretira. U zavisnosti od toga kakve uslove primenjujemo možemo dobiti aerogel ili kserogel (sl. 2.14). Aerogel se dobija kada se višak rastvarača uklanja pod kritičnim uslovima na povišenom pritisku i temperaturi, pri čemu mreža ostaje visoko porozna. Kserogel se dobija kada se gel suši pod normalnim uslovima [68].



Slika 2.14. Različiti koraci u sol-gel procesu [68].

Samuneva (Samuneva) i saradnici [69] su sintetisali rastvor barijum titanata polazeći od barijum acetata, titanijum etilata u prisustvu sirćetne kiseline. Hidroliza je izvedena u prisustvu vode i gel je dobijen zagrevanjem na 60 °C u trajanju od 1 h. Dobijen gel je termički tretiran u temperaturnom opsegu od 100 do 1000 °C u trajanju od 3 h, u cilju formiranja praha barijum titanata.

Šimuka (Shimooka) i Kuvabara (Kuwabara) [70] sintetisali su barijum titanat, polazeći od ekvimolarnih količina barijum etoksida i titanijum izopropoksida rastvorenih u smeši metanola i 2-metoksietanola. Dodavanjem vode smeši alkoksidinih prekursora na 0 °C dolazi do hidrolize i stvaranja sola, dok je formiranje gela stajanjem dobijenog rastvora na sobnoj temperaturi u trajanju od 10 dana. Nakon toga, dobijeni gel je sušen na 90 °C, a zatim termički tretiran u temperaturnom opsegu od 900 do 1200 °C u cilju dobijanja nanokristalnog barijum titanata.

Zbog osetljivosti alkoksida na vlagu i toksičnosti 2-metoksietanola, prednost prilikom sinteze imaju razne modifikacije sol-gel metode.

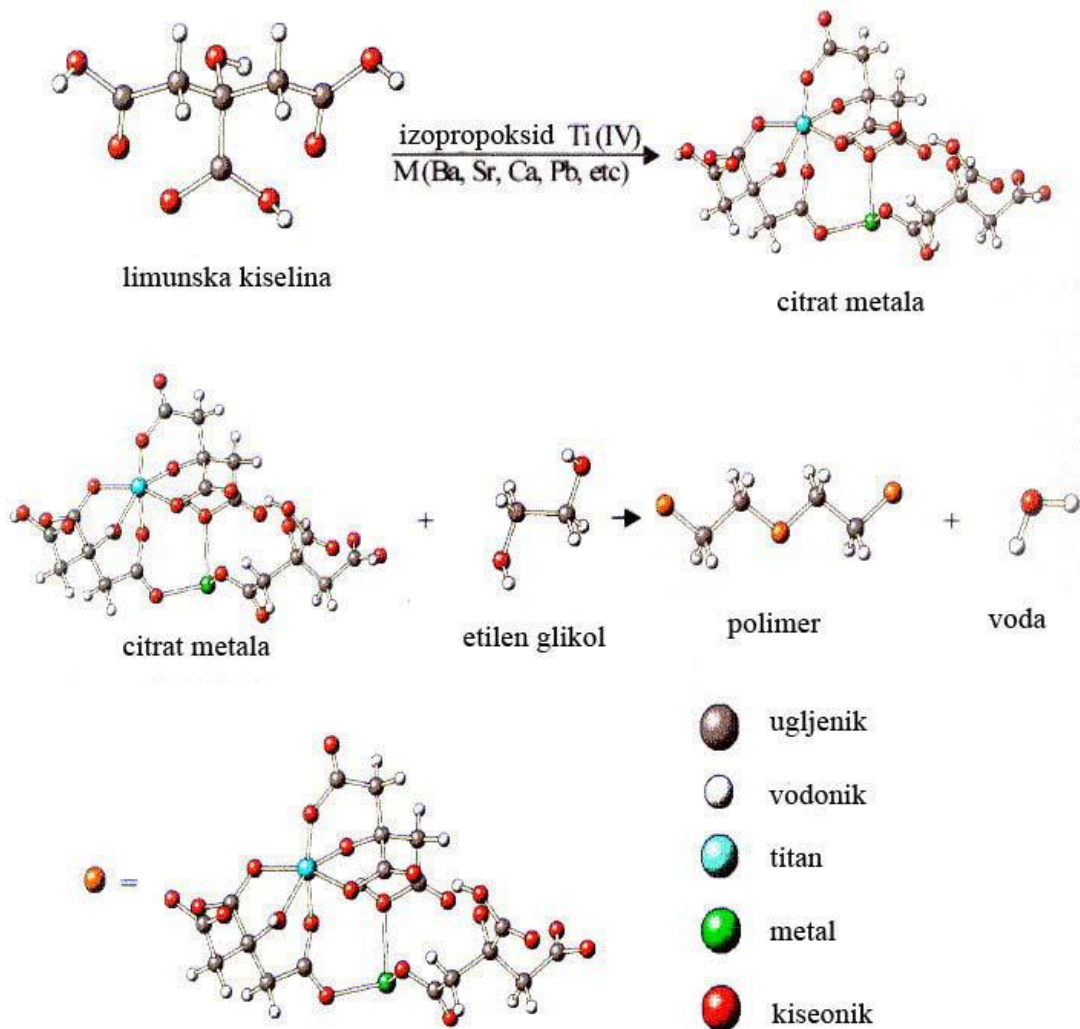
Modifikovani sol-gel postupak podrazumeva upotrebu soli metala umesto alkoksida i polihidroksilnog alkohola na mesto 2-metoksietanola. Korišćenje soli ima niz prednosti: jeftine su, slabije hidrolizuju u odnosu na alkoksиде i tokom termičkog tretmana direktno se prevode u okside. Suština modifikovanog sol-gel procesa je da su joni metala stabilizovani u obliku kompleksnog jedinjenja.

*Citratni postupak* predstavlja modifikaciju sol-gel postupka kod koga se dobijanje prekursorskih rastvora zasniva na kompleksiranju jona metala citratnom kiselinom.

*Pećini (Pechini) postupak* takođe predstavlja modifikaciju sol-gel postupka i zasnovan je na reakciji jona metala sa citratnom kiselinom u prisustvu etilen-glikola [71].

#### *2.5.3.3 Sinteza prahova metodom kompleksne polimerizacije*

Metoda kompleksne polimerizacije spada u grupu metoda dobijanja materijala iz kompleksa kao prekursora i poreklo metode je u Pećinijevom postupku [71]. Suština Pećinijevog postupka se zasniva na činjenici da određene α-hidroksikarboksилне organske kiseline, kao što je npr. citratna, mogu formirati stabilne komplekse sa metalnim katjonima. Dodavanjem polihidroksilnog alkohola, kao što je etilen-glikol, dolazi do izgradnje trodimenzionalne polimerne mreže unutar koje su katjoni izmešani na atomskom nivou (sl. 2.15). Citratna kiselina ima ulogu kompleksirajućeg sredstva za jone metala, dok etilen-glikol na početku ima ulogu rastvarača, a kasnije učestvuje u reakciji poliesterifikacije.



Slika 2.15. Šema Pećini procesa. Poliestarska mreža u kojoj su kompleksirani joni metala poređani na atomskom nivou.

Postupak dobijanja materijala se odvija iz vise koraka. Odgovarajuće soli metala se uvode u etilen glikol posle rastvaranja u citratnoj kiselini koja se dodaje u odnosu na metalne jone 1:4 da bi se dobili metal citrati kompleksi. Zatim se povecava temperatura na oko 100-130 °C da bi doslo do esterifikacije izmedju etilen glikola i citratne kiseline. Kada se stvori viskozan gel, temperatura se povecava da bi se uklonio višak etilen glikola. Čvrst gel se tretira na oko 450 °C u cilju dobijanja prekursorskog praha. Tako dobijeni prekursorski prah sadrzi smešu homogeno raspoređenih oksida metala ili karbonata.

Kao izvori jona metala za dobijanje prekursorskih rastvora koriste se rastvorne soli metala kao što su acetati, nitrati, hloridi, izopropoksidi i dr. Oksalati, tartarati,

sulfati koji stvaraju slabo rastvorne soli u prisustvu zemnoalkalnih metala ne mogu se koristiti u ovom postupku. Molski odnos citratne kiseline i etilen-glikola u prekursorskom rastvoru je veoma važan za svojstva kako tankih filmova tako i prahova. Citratna kiselina je dobro rastvorna u etilen glikolu i iz toga proizilazi širok opseg odnosa koji se koristi u Pećinijevoj metodi. U originalnom Pećini patentu korišćen je odnos 1:4, dok neki naučnici ističu da bi rastvor trebalo da bude razblaženiji čak 1:10 kao i 1:15, da bi se postigla homogenija raspodela katjona unutar polimerne mreže. Ukoliko je rastvor zasićen citratnom kiselinom postoji mogućnost razlaganja citratnih kompleksa usled smanjenja pH vrednosti sistema, a takođe može doći i do taloženja kristala citratne kiseline. Citratni kompleksi zemnoalkalnih metala su relativno nestabilni i česta je pojava taloženja njihovih soli tokom stvaranja gela. Stabilnost metal citratnih kompleksa se povećava sa povećanjem pH u rastvoru. Stabilnost je jako mala pri  $pH < 2-3$  kao i na  $pH > 10$ , dok je najveća stabilnost u opsegu pH od 2 do 9 [72].

Veliki broj radova posvećen je ispitivanju reakcionog mehanizma stvaranja  $\text{BaTiO}_3$  prilikom termičkog razlaganja citratnih prekursora. Kumar (Kumar) [73] i Arima (Arima) [74] došli su do zaključka da termičkim razlaganjem (Ba, Ti)-citatnih prekursora u temperaturnom intervalu od 250-500 °C dolazi do stvaranja intermedijерне oksi-karbonatne faze formule  $\text{Ba}_2\text{Ti}_2\text{O}_5\text{CO}_3$ , i da se čist  $\text{BaTiO}_3$  formira endotermnim razlaganjem intermedijерne faze u temperaturnom intervalu između 500 i 700 °C. Postojanje ove intermedijерne oksi-karbonatne faze potvrđeno je radovima Durana (Duran) [75] i Gablenca (Gablenz) [76]. Pored toga, Suasmoro (Suasmoro) i saradnici [77] pokazali su da i u postupku sinteze  $\text{Ba}_x\text{Sr}_{1-x}\text{TiO}_3$  dolazi do stvaranja intermedijерne oksi-karbonatne faze, koja se može predstaviti sledećom formulom:  $(\text{Ba}_x\text{Sr}_{1-x})_2\text{Ti}_2\text{O}_5 \cdot \text{CO}_3$ .

Metode sinteze materijala na bazi barijum-titanata iz polimernih prekursorskih rastvora spadaju u relativno nove tehnike sinteze i predmet su istraživanja u proteklih 20 godina. Različiti autori sintetisali su BT, kao i BST i ispitali uticaj parametara sinteze (tip prekursora, pH, temperatura sinteze) na karakteristike dobijenih prahova i tankih filmova [78][79][80][81].

BST prahovi su po prvi put sintetisani metodom kompleksne polimerizacije 2002. godine. Arija (Arya) i saradnici [34] sintetisali su BST prahove različitog molskog odnosa Ba i Sr, polazeći od Ti-tetraizopropoksida, Ba i Sr-karbonata, citratne kiseline kao kompleksirajućeg agensa i etilen glikola, neophodnog za proces

polimerizacije. Tako pripremljene prekursorske rastvore, zagrevali su do nastanka braon smole, nakon čega je vršena kalcinacija na 500 °C, a zatim na 800 °C. Hemijskim i spektrofotohemijskim metodama je određen sadržaj Ba, Sr, i Ti jona u kalcinisanim BST prahovima i utvrđeno je da postoji jako dobro slaganje između očekivanih i eksperimentalno dobijenih vrednosti sadržaja pojedinih jona u sistemu.

Rieš (Ries) i saradnici [82] sintetisali su BST prah polazeći od Ba i Sr-karbonata, Ti-izopropoksida, citratne kiseline kao kompleksrajućeg agensa i etilen glikola. Ti-citrat su prethodno sintetisali zagrevanjem Ti-izopropoksida sa citratnom kiselinom u prisustvu etilen glikola. XRD analiza dobijenih prahova je ukazala na prisustvo zaostale karbonatne faze i nakon kalcinacije na 800 °C. SEM mikrografije prahova pokazuju da se prahovi sastoje iz mikronskih čestica neregularne morfologije i velikog stepena aglomeracije.

Jankulesku (Ianculescu) i saradnici [83] su sintetisali  $Ba_{1-x}Sr_xTiO_3$  nanoprahove različitih odnosa Ba i Sr jona, koristeci postupak predstavljen u referenci [82]. XRD rezultati pokazuju stvaranje čistog BST oslobođenog intermedijernih i sekundarnih faza nakon kalcinacije polimernih prekursora na 850 °C. Takođe je uočeno da tetragonalnost prahova raste sa porastom koncentracije Ba jona u sistemu, i da u slučaju  $x = 0.25$  sistem ima visoku vrednost dielektrične konstante,  $\varepsilon_r = 12000$ .

Somani (Somani) i saradnici [53] su ispitivali veličinu zrna i fazni sastav nakon sinterovanja nanočestičnog  $Ba_{0.7}Sr_{0.3}TiO_3$  praha kubne simetrije pripremljenog metodom kompleksne polimerizacije. Prisustvo različitih faza nakon sinterovanja na određenim temperaturama u temperaturskom intervalu od 950 °C do 1100 °C su potvrdili XRD analizom difraktograma, dok su korišćenjem Šererove (Scherrer) formule procenili veličinu zrna. Autori su pokazali da je procenjena veličina zrna oko 18 nm i uočili su prisustvo velikih količina sekundarnih polititanatnih faza nakon sinterovanja u zadatom temperaturskom intervalu. Prisustvo sekundarnih faza kao i mala gustina keramike se povezuje sa veličinom čestica kalcinisanog praha.

Više radova je posvećeno ispitivanju uticaja strukture, veličine zrna, i uslova sinterovanja na dielektrična i feroelektrična svojstva BST keramike dobijene od prahova sintetisanih metodom kompleksne polimerizacije [84][85]. Zang (Zhang) i saradnici [84] su ispitivali zavisnost temperature sinterovanja i veličine zrna na dielektrična svojstva  $Ba_{0.7}Sr_{0.3}TiO_3$  keramike. Autori su uočili da feroelektrični fazni prelaz postaje difuzan, a temperatura faznog prelaza smanjuje sa smanjenjem veličine zrna, i da dielektrična konstanta ima maksimum kad je veličina zrna oko 1 μm.

Kritična veličina zrna ispod koje sistem gubi feroelektrična svojstva iznosi oko 210 nm. Li (Li) i saradnici [85] sintetisali su  $\text{Ba}_{1-x}\text{Sr}_x\text{TiO}_3$  ( $x = 0, 0.1, 0.2, 0.3$ ) prahove i ispitivali uticaj sadržaja Sr i temperature sinterovanja na dielektrična svojstva sinterovane keramike. Potvrđeno je da temperatura faznog prelaza,  $T_c$  opada sa porastom udela Sr u sistemu i da vrednost dielektrične konstante ima maksimum ukoliko je  $x = 0.2$ . Takođe su pokazali da veličina zrna dobijene keramike i vrednost dielektrične konstante rastu sa povećanjem temperature sinterovanja od 1300 do 1400 °C.

Na osnovu do sada publikovanih rezultata koji se odnose na svojstva BST keramike dobijene od prahova sintetisanih metodom kompleksne polimerizacije može se zaključiti da metoda ima niz prednosti kao što su jednostavna aparatura za pripremu prekursorskih rastvora i odigravanje reakcija koje ne zahtevaju inertnu atmosferu i vodenu sredinu. Pored ovih prednosti, činjenica da su katjoni metala homogeno raspoređeni na atomskom nivou, kao i mogućnost luke kontrole stehiometrije, čine metodu kompleksne polimerizacije jako pogodnom za sintezu polimernih prekursorskih rastvora, od kojih se dalje pogodnim termičkim tretmanom mogu dobiti prahovi, debeli i tanki filmovi.

Metoda ima i neke nedostatke kao što su: nemogućnost kontrole oblika dobijenih čestica i visok stepen aglomeracije. Međutim najveći nedostatak ove metode je prilično dugo vreme sinteze koje uključuje sušenje prekursorskog rastvora kao i prekalcinaciju dobijene smole po utvrđenom temperaturnom režimu, a koje može trajati i po nekoliko dana [81]. Takođe, da bi se dobio prah oslobođen prisustva sekundarnih faza, neophodne su visoke temperature kalcinacije, najčešće iznad 800 °C [82].

#### 2.5.3.4 Hidrotermalna sinteza

Poslednjih decenija hidrotermalna tehnika privlači veliki interes istraživača u raznim granama nauke i industrije. Termin hidrotermalno potiče iz geologije, uveo ga je britanski geolog Roderik Marćison (Roderick Murchison) [86], da bi opisao dejstvo vode na povišenim temperaturama i pritiscima koje dovodi do promena u zemljinoj kori i nastanka različitih stena i minerala. Hidrotermalna tehnika se prvenstveno razvijala da bi se razumelo nastajanje minerala u prirodi u uslovima povišenog pritiska i temperature u vodenoj sredini. Danas hidrotermalna tehnika zauzima važno

mesto u mnogim granama nauke i tehnologije, što je dovelo do pojave niza tehnika koje potiču iz hidroermalne. Pored hidroermalne sinteze postoji hidroermalni rast, hidroermalni tretman, hidroermalna dehidratacija, hidroermalno sinterovanje, hidroermalna dekompozicija, hidroermalne elektrohemijске reakcije, kao i mnoge druge.

Postoji više definicija hidroermalnog procesa. Bajrapa (Byrappa) [87] hidroermalni proces definiše kao heterogenu reakciju u vodenoj sredini koja se odvija iznad sobne temperature i pritiscima iznad 1 atm. Jošimura (Yoshimura) [88] smatra da pojам hidroermalni proces podrazumeva reakcije koje se dešavaju pod uslovima visoke temperature i visokog pritiska ( $> 100^{\circ}\text{C}$ ,  $> 1 \text{ atm}$ ) u vodenim rastvorima u zatvorenom sistemu. Većina autora smatra da se hidroermalni procesi odigravaju iznad  $100^{\circ}\text{C}$  i iznad 1 atm. Međutim postoji i veliki broj autora koji su se bavili hidroermalnom sintezom pri umerenim uslovima, tako da hidroermalna sinteza se može najopštije definisati kao proces koji koristi homogenu ili heterogenu faznu reakciju u vodenoj sredini na temperaturama u intervalu između 25 i  $350^{\circ}\text{C}$ , u određenoj atmosferi ili pri povišenom pritisku, u cilju dobijanja materijala direktnom kristalizacijom iz rastvora. Porast temperature i pritiska, u većini slučajeva, uzrokuje povećanje rastvorljivosti i dovodi do povećanja koncentracije prekursora, podstičući na taj način proces rasta mikro- i nanokristala

Hidroermalna sinteza uključuje reakcije, uglavnom jonske prirode, između heterogenih faza pri čemu priroda interakcije između faza utiče na svojstva dobijenog praha. Stoga se svojstva dobijenog praha mogu kontrolisati promenom parametara sinteze. Osnovni parametri koji utiču na hidroermalnu reakciju su:

- hemijski parametri (priroda rastvarača, stehiometrija polaznih komponenti, koncentracija reaktanata, pH reacione smeše)
- termodinamički parametri (temperatura, pritisak i vreme trajanja reakcije) [89][90].

Postoji veliki broj termodinamičkih studija koje proučavaju stabilnost faza, prinos, i reakcije rastvaranja/precipitacije pri određenim hidroermalnim uslovima. Mehanizam stvaranja molekulskih vrsta u rastvoru kao i proces kristalizacije nisu još uvek dovoljno jasni zbog nedovoljno podataka koji su vezani za formiranje intermedijernih faza u rastvoru. Činjenica da se hidroermalne reakcije odigravaju u zatvorenim sudovima često i pri visokim pritiscima, otežava praćenje i kontrolu hidroermalnog procesa. U cilju boljeg razumevanja uticaja temperature, pritiska,

prekursora i vremena na stvaranje različitih jedinjenja, poslednjih godina se radi na termohemijskom modelovanju reakcija u hidrotermalnim uslovima. Modelovanje se može primeniti kako na vodene tako i na nevodene rastvore u velikom opsegu temperatura i koncentracija. Lenčka (Lencka) i Riman (Riman) [89][90] razvili su dijagram stabilnosti kojim definišu uticaj različitih fizičkohemijskih parametara na proces sinteze i dobijanje faze od interesa. Dijagrami stabilnosti su veoma korisni u cilju predviđanja optimalnih uslova sinteze u cilju kontrole čistoće faze, morfologije i raspodele veličine dobijenih čestica.

Pored nabrojanih fizičkohemijskih parametara koji utiču na proces hidrotermalne sinteze, veoma važnu ulogu ima i izbor rastvarača. Izbor rastvarača određen je njegovom interakcijom sa reagensom (rastvorljivošću, reaktivnošću, stvaranjem kompleksa) i hemijskim sastavom konačnog materijala koji treba dobiti. Rastvarač najčešće predstavlja aktivnu hemijsku komponentu reakcije ili medijum koji, u skladu sa svojim fizičko-hemijskim svojstvima, određuje i usmerava reakciju. Pored toga rastvarač treba da bude netoksičan, željene viskoznosti, i nekorozivan.

Najčešće korišćeni rastvarač u hidrotermalnoj sintezi je voda. Voda je najjeftiniji i ekološki prihvatljiv rastvarač. Ukoliko se kao rastvarač ne koristi voda već neki nevodeni rastvarač metoda se naziva *solvothermalna*. Solvothermalni procesi se odigravaju iznad tačke ključanja korišćenog rastvarača.

Hidrotermalna reakcija odigrava se u autoklavu, specijalno dizajniranom cilindru debelih zidova najčešće od nerđajućeg čelika, zaptivenom tako da može da izdrži visoke temperature i pritiske u dugom vremenskom intervalu. Pri izboru autoklava za hidrotermalno procesiranje željenog materijala treba voditi računa da uređaj ispunjava sledeće uslove:

- jednostavno rukovanje;
- inertnost prema kiselinama, bazama i jakim oksidacionim reagensima;
- otpornost prema koroziji za određeni rastvarač;
- mogućnost rada na visokim temperaturama i pritiscima bez oštećenja uređaja.

U unutrašnji deo autoklava smešta se uložak koji služi kao zaštitna obloga. Ulošci se najčešće izrađuju od teflona, jer je on inertan materijal u kiseloj i baznoj sredini, ne reaguje sa reaktantima, i pogodan je za upotrebu kako na niskim tako i na visokim temperaturama do 300 °C. Zatvarač (poklopac) je jedan od najbitnijih delova autoklava, a jedan od najčešće korišćenih je tzv. Bridžmanov (Bridgeman) poklopac.

Prekursorski rastvor se smešta u reakcione jezgro autoklava i reakciona smeša se zagreva do određene temperature pri određenom pritisku. Nakon završetka reakcije i hlađenja sistema dolazi do precipitacije reakcionih produkata i oni se tada mogu jednostavno odvojiti centrifugiranjem iz rastvora.

Prekursori koji se najčešće koriste u hidrotermalim procesima su hidroksidne soli, acetatne soli, soli halida, kao i nitratne soli. Kao prekursori barijuma i stroncijuma često se koriste vodeni rastvori barijum i stroncijum hidroksida ili acetata, dok se kao prekursori titana najčešće koriste titan-tetrahlorid, titan-izopropoksid, ili titan-butoksid.

Hidrotermalna metoda omogućava dobijanje finih prahova (veličina od nanometarskih do mikrometarskih), različitih nanostruktura, monokristala, kao i depoziciju tankih i debelih filmova. Pogodnim izborom prekursora i podešavanjem parametara sinteze moguće je kontrolisati morfologiju kao i veličinu sintetisanih čestica. Prahovi sintetisani ovom metodom imaju usku raspodelu veličine čestica i nizak stepen aglomeracije. Smanjenje aglomeracije kombinovano sa uskom raspodelom veličine čestica značajno utiče na sinterabilnost i svojstva dobijene keramike. Prah kristališe direktno iz rastvora čime je izbegnuta dodatna visokotemperaturska kalcinacija. Obzirom na to da se hidrotermalnim tretmanom dobijaju fini prahovi koji su veoma reaktivni tokom procesa sinterovanja nije neophodno njihovo mlevenje pre sinterovanja. Važna prednost hidroermalne sinteze je i činjenica da je čistoća sintetisanih prahova znatno veća od čistoće polaznih komponenti. Naime, nečistoće se uklanjuju iz sistema centrifugiranjem zajedno sa rastvorom, što nije slučaj u drugim metodama sinteze.

Hidroermalnim tretmanom je moguće sintetisati uniformne, nanočestične BST prahove, niskog stepena aglomeracije, pri nižim temperaturama sinteze [91][92][93][94]. Najveća prednost metode je mogucnost sinteze dobro iskristalisalih prahova direktno iz rastvora čime se izbegava kalcinacija na visokoj temperaturi [95].

Veliki broj radova posvećen je uticaju parametara sinteze na finalne karakteristike dobijenih BT i BST prahova. Lenčka (Lencka) i Riman (Riman) [89][90] razvili su termodinamički model za izračunavanje fazne stabilnosti Ba-Ti-H<sub>2</sub>O sistema u hidroermalnim uslovima kao funkciju temperature, prekursora, pH i koncentracije. Model potvrđuje eksperimentalne rezultate kojima je pokazano da čist BaTiO<sub>3</sub> se može sintetisati samo u veoma baznoj sredini (pH ~ 9-14).

Čen (Chen) i saradnici [96] sintetisali su  $\text{BaTiO}_3$  prahove hidrotermalnim postupkom na temperaturi od 75 do 180 °C i trajanju sinteze od 10 min do 96 h. Ispitivan je uticaj različitih tipova Ti prekursora ( $\text{TiO}_2$  i  $\text{Ti(OH)}_4$ ), temperature i vremena sinteze na veličinu čestica i morfologiju dobijenih prahova. Autori su pokazali da veličina čestica i morfologija strogog zavise od tipa Ti prekursora. Takodje su zapazili da sa porastom temperature sinteze dobijene čestice su veće i manje aglomerisane.

Usled činjenice da se hidrotermalna reakcija dešava interakcijom čvrste i tečne faze u zatvorenom sistemu, znatno je teže kontrolisati fazni sastav i stehiometriju sintetisanih prahova [35]. Pinselu (Pinceloup) i saradnici [97] hidroermalno su sintetisali  $\text{BaTiO}_3$  prahove polazeći od  $\text{Ba(OH)}_2$  i Ti-tetraizopropoksida na temperaturi od 150 °C i vremenu trajanja reakcije od 2 h. Ispitivali su uticaj početnog odnosa Ba/Ti reaktanata na finalnu stehiometriju dobijenih prahova, i došli do zaključka da se pri početnom odnosu  $\text{Ba/Ti} = 1.018$  dobijaju stehiometrijski prahovi  $\text{BaTiO}_3$ . Reder (Roeder) i Slamović (Slamovich) [98] su sintetisali BST prahove na  $T < 100$  °C u alkalnom vodenom rastvoru polazeći od  $\text{TiO}_2$ ,  $\text{BaCl}_2$ ,  $\text{SrCl}_2$ , i  $\text{NaOH}$ . XRD rezultati su pokazali da prahovi sintetisani sa početnim viškom od 20% Ba i Sr u odnosu na Ti, sadrže čist jednofazan BST. Prahovi kod kojih je manji početni višak Ba i Sr u odnosu na Ti sastoje se iz više sekundarnih faza koje odgovaraju višku Ba i višku Sr.

Pored otežane kontrole stehiometrije, još jedan nedostatak hidroermalne metode je i činjenica da je kinetika kristalizacije prahova veoma spora i da reakcija sinteze može trajati nekoliko sati, pa čak i nekoliko dana [94][97][98]. Komarnerni (Komarnerni) i saradnici [91] značajno su skratili vreme sinteze prahova upotrebom mikrotalasno potpomognute hidroermalne sinteze. Ovaj pristup znatno skraćuje vreme sinteze (1-5 h), što je i potvrđeno radovima Dešpande (Deshpande) [92] i Simoeša (Simoes) [99].

## 2.6 Proces dobijanja keramike BST

Nakon sinteze keramičkih parahova pristupa se njihovom oblikovanju i sinterovanju u cilju dobijenja gусте polikristalne keramike. Oblikovanje je početna faza dobijanja keramičkih materijala u kojoj se masi čestica daje željeni oblik, i najčešće se vrši presovanjem praškastih materijala. Najčešći naziv za oblikovani prah (ispresak) je engleski naziv „green body“ (zeleno telo). Tokom presovanja, pod dejstvom visokog pritiska na prah smeštenog u kalup (najčešće cilindričnog oblika), dolazi do razbijanja meksih aglomerata i preuređenja čestične strukture. Povećanjem pritiska dolazi do sabijanja materijala, smanjenja zapremine usled formiranja ispresa, a time i povećanja gustine. Na oblik ispresovanih uzoraka utiče trenje praha i kalupa u toku presovanja ili prilikom vađenja ispresa iz kalupa. Trenje se može eliminisati primenom kalupa glatkih površina, čišćenjem kalupa od eventualnih nečistoća ili korišćenjem lubrikanata koji obezbeđuju efikasno podmazivanje. Najčešće korišćeni lubrikant je sterainska kiselina kojom se oblažu zidovi kalupa. Uobičajeni procesi koji se koriste za presovanje keramičkih prahova su jednoosno presovanje i izostatsko presovanje. Uzorci barijum stroncijum titanata dobijeni u eksperimentalnom radu u ovoj tezi presovani su jednoosno, pri različitim pritiscima koji dostižu vrednosti do nekoliko stotina MPa.

U keramičkom procesiranju sinterovanje je veoma važan korak i može biti odlučujuć za mikrostrukturu i svojstva dobijenog materijala. Sinterovanjem se od praškastih disperznih materijala dobijaju čvrsti kompaktni polikristali. Veliki broj autora koji su izučavali proces sinterovanja davali su svoje definicije ovog procesa, međutim najpotpunija definicija je sledeća: „*Sinterovanje je skup složenih i međusobno povezanih transportnih procesa mase koji se odigravaju između čestica i u česticama disperznog sistema tokom njegove konsolidacije*“ [100]. Da bi se proces sinterovanja odigrao neophodno je materijalu dovesti energiju - toplostnu, mehaničku (sinterovanje pod visokim pritiscima) ili neki drugi vid energije (mikrotalasna energija). Sinterovanje predstavlja termički tretman kompaktiranog praha tokom koga dolazi do niza fizičkih promena: promena oblika i veličine pora, rekristalizacije i rasta zrna [101]. Fizičke i hemijske promene koje se dešavaju tokom termičkog tretmana imaju veliki uticaj na gustinu i mikrostrukturu uzorka, samim tim i na svojstva dobijenog materijala. Gustina i svojstva dobijenog materijala zavise od veličine i

oblika čestica polaznih prahova, čistoće polaznih prahova, pritiska presovanja, polazne gustine ispresa, temperature sinterovanja, vremena sinterovanja, režima sinterovanja, atmosfere u kojoj se izvodi sinterovanje i dr.

Proces sinterovanja kompaktiranog praha do gусте keramike se može podeliti na tri faze [102]:

- U početnoj fazi sinterovanja dolazi do kontakta između pojedinih čestica sistema i početka stvaranja vratova između čestica. Čestice zadržavaju strukturnu individualnost i ne dolazi do znatnog povećanja gustine. Početna faza se završava kada se dostigne oko 60-75% teorijske gustine.

- Drugu fazu sinterovanja karakteriše intenzivan rast vratova između čestica i obrazovanja međusobno povezanih kanala pora. Skupljanje pora je intenzivno u ovoj fazi što dovodi do najvećeg povećanja gustine oko 75-95% teorijske gustine.

- U toku krajnje faze sinterovanja dolazi do rasta zrna i zatvaranja pora a počinje kada telo postigne oko 95% teorijske gustine. U finalnoj fazi sinterovanja može doći do potpunog uklanjanja zaostalih pora i formiranja materijala čija je gustina bliska teorijskoj gustini. Ukoliko dođe do diskontinualnog rasta velikih zrna na račun manjih, može se desiti da u jednom trenutku pore budu izolovane unutar zrna. U tom slučaju postaje gotovo nemoguće ostvariti potpunu denzifikaciju materijala.

Poznato je da dielektrična i feroelektrična svojstva keramičkih proizvoda zavise od karakteristika polaznih BST prahova, tj. njihove strukture, homogenosti, morfologije, čistoće i veličine čestica. Smanjenje srednje veličine čestica poboljšava sinterabilnost prahova i dovodi do smanjenja srednje veličine zrna u keramici, što ima za posledicu povećanje gustine, a samim tim i promenu dielektričnih svojstava.

## 2.7 Otkriće i primena BST

Barijum-titanat je otkriven tokom Drugog svetskog rata, kao keramički materijal sa velikom dielektričnom konstantom. Prvi podaci o sintezi odnose se na radove Turnaurera (Thurnaurer) i Dedrika (Deaderick) koji su dopirali  $TiO_2$  sa  $BaO$  i prijavili patent [103]. Posle Drugog svetskog rata istraživanja u oblasti barijum-titanatnih materijala su intenzivno nastavljena, a među kojima je posebnu pažnju privukao čvrsti rastvor  $BaTiO_3-SrTiO_3$  [104][105]. Poznato je da  $BaTiO_3$  i  $SrTiO_3$

formiraju čvrste rastvore u čitavom opsegu koncentracija zahvaljujući sličnoj kristalnoj strukturi i veličini jonskih radijusa Ba [ $R(Ba^{2+}) = 135$  pm], i Sr [ $R(Sr^{2+}) = 118$  pm,] [6]. Barijum-stroncijum-titanat  $Ba_xSr_{1-x}TiO_3$  je jedan od najčešće korišćenih feroelektričnih materijala, kako zbog svojih dobrih feroelektričnih karakteristika, tako i zbog činjenice da ne sadrži oovo i druge veoma toksične i lako isparljive elemente. Struktura  $Ba_xSr_{1-x}TiO_3$ , tj. prisustvo tetragonalne ili kubne faze, značajno utiču na dielektrična i feroelektrična svojstva i određuju primenu BST keramike. Tetragonalna faza se koristi za pripremu velikog broja mikroelektronskih komponenata zbog svojih feroelektričnih karakteristika, dok je kubna - paraelektrična faza pogodna za pripremu kondenzatora. BST se koristi za proizvodnju komponenata u elektronskim i elektrooptičkim uređajima, uključujući višeslojne keramičke kondenzatore (eng. Multi Layer Ceramic Capacitor (MLCC)), piroelektrične detektore, aktuatori, senzore [106][107][108][109][110]. Ipak najširu primenu imaju u proizvodnji memorija nasumičnog pristupa (eng. non-volatile random-access memory (NVRAM)), čija osnovna funkcija je dugotrajno očuvanje tj. memorisanje podataka i nakon prestanka napajanja. Trenutno su na tržištu dominantne feroelektrične memorije nasumičnog pristupa (eng. FRAM – Ferroelectric random access memory), kod kojih je moguće pristupiti podacima po bilo kom redosledu. Današnji trend u industriji elektronskih keramika je minijaturizacija keramičkih kondenzatora. Minijaturizacija elektronskih elemenata zahteva sintezu nanometarskih feroelektričnih struktura čime su njihova svojstva bitno promenjena. Kod takvih materijala zahtev je da imaju veliki kapacitet po jedinici zapreme, veliku mehaničku stabilnost, pouzdanost i manju cenu. Da bi se postigle ove osobine i zahtevi, elektronske komponente treba da se proizvode od ultrafinih slabo aglomerisanih prahova velike čistoće i uniformne raspodele veličine čestica.

### **3 Cilj rada**

Barijum-stroncijum-titanat, (BST) je feroelektrični materijal koji je u poslednjih nekoliko decenija bio predmet opsežnih teorijskih i eksperimentalnih istraživanja. Iako su barijum-stroncijum-titanatni prahovi kao i keramika detaljno proučavani, još uvek postoje mnoga otvorena pitanja koja se tiču njihove sinteze, dielektričnih i feroelektričnih svojstava.

Svojstva materijala su određena prvenstveno strukturnim i mikrostrukturnim karakteristikama, koje u najvećoj meri zavise od načina njegove sinteze. Da bi se dobila barijum stroncijum titanatna keramika pogodna za praktičnu primenu, prah od kog se izrađuje keramika mora biti oslobođen intermedijarnih faza, definisane stehiometrije i homogene mikrostrukture. Najčešće korišćene tehnike sinteze BST prahova su: reakcije u čvrstom stanju, metode kompleksne polimerizacije i hidrotermalne reakcije. Sinteza reakcijom u čvrstom stanju nije pogodna za dobijanje BST nano prahova, jer prahovi dobijeni na ovaj način pokazuju veliku distribuciju veličine čestica, nisu homogeni, veoma su aglomerisani i obično sadrže izvesne količine nečistoća koji se unose u sistem u procesu mlevenja. Metoda kompleksne polimerizacije koja se zasniva na Pećinijevom postupku ima izvesne prednosti kao što su laka kontrola stehiometrije i homogena raspodela jona na molekulskom nivou. Međutim, metoda ima izvesne nedostatke kao što su velika veličina dobijenih čestica, visok stepen aglomeracije, neregularna morfologija i relativno dugo vreme sinteze. Za razliku od ovih metoda, hidrotermalna tehnika je pogodna za dobijanje čistih, uniformnih, nanočestičnih, slabo aglomerisanih BST prahova. Ono što predstavlja problem prilikom sinteze hidroermalnim postupkom jeste teško kontrolisanje stehiometrije dobijenih BST prahova. Glavna ideja ove doktorske disertacije je da se predstavi nov način sinteze koji bi objedinio prednosti metode kompleksne polimerizacije kao što su kontrola stehiometrije i raspodela jona na molekulskom nivou, i hidroermalne metode koja je pogodna za dobijanje nanočestičnih prahova velike čistoće, u cilju dobijanja nanočestičnog BST praha, homogene raspodele veličine čestica i niskog stepena aglomeracije. Nova metoda, tj. hidroermalno potpomognut modifikovan Pećinijev postupak, podrazumeva sintezu prekursorskog rastvora  $Ba_{0.8}Sr_{0.2}TiO_3$  modifikovanim Pećinijevim postupkom polazeći od Ti-izopropoksida, Ba- i Sr-acetata, citratne kiseline i etilen glikola. Zatim se tako dobijen

prekursorski rastvor smešta u teflonsko jezgro autoklava, gde pri određenim uslovima (temperatura, pritisak, vreme trajanja reakcije) rastvor podleže hidrotermalnoj reakciji. Kao verifikacija postupka sinteze ispitivan je fazni sastav, kao i strukturne i mikrostrukturne karakteristike dobijenih BST prahova. S obzirom da je ovo nov način sinteze BST prahova od interesa je bilo pripremiti keramiku i ispitati uticaj ovog načina sinteze na fazni sastav, dielektrična i feroelektrična svojstva dobijene BST keramike.

## 4 Eksperimentalni deo

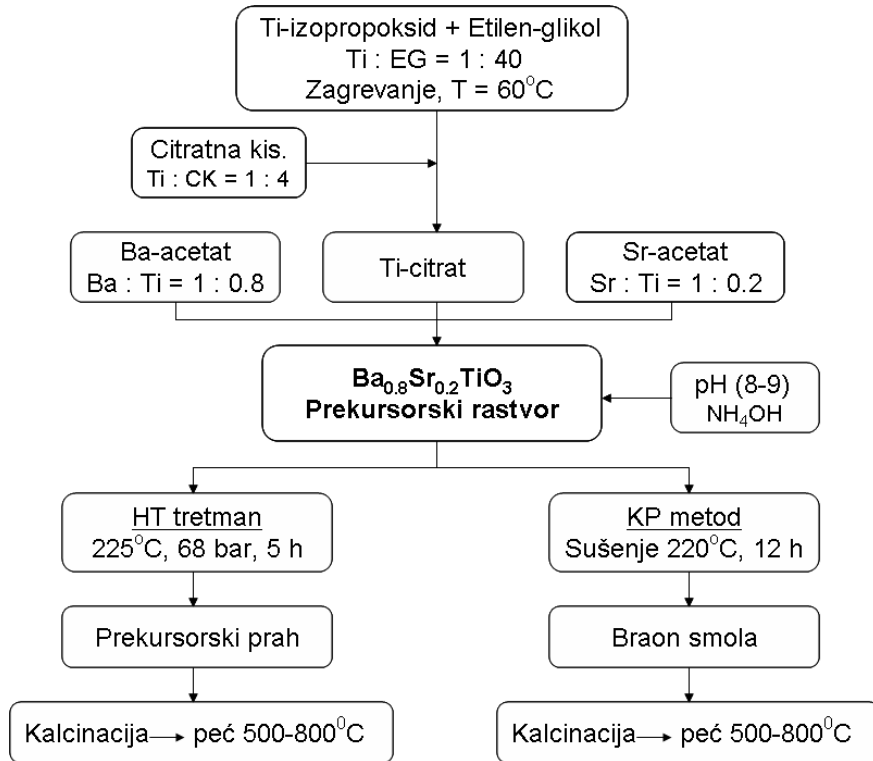
U okviru eksperimentalnih istraživanja izvedena je sinteza i karakterizacija praha i keramike barijum stroncijum titanata.

Eksperimentalni rad je obuhvatao sledeće faze:

1. Prva faza
  - Sinteza praha barijum stroncijum titanata metodom kompleksne polimerizacije
  - Sinteza praha barijum stroncijum titanata hidrotermalno podržanom metodom kompleksne polimerizacije
  - Karakterizacija dobijenih prahova
2. Druga faza
  - Presovanje prahova dobijenih hidrotermalno podržanom metodom kompleksne polimerizacije
  - Sinterovanje dobijenih ispresača
  - Karakterizacija keramike barijum stroncijum titanata dobijenog hidrotermalno podržanom metodom kompleksne polimerizacije

### 4.1 Sinteza prahova barijum stroncijum titanata

Prekursorski rastvor  $\text{Ba}_{0.8}\text{Sr}_{0.2}\text{TiO}_3$  (BST) sintetisan je metodom kompleksne polimerizacije. Blok šema ovog postupka prikazana je na sl. 4.1. Reagensi korišćeni za sintezu prahova barijum stroncijum titanata dati su u tabeli 4.1.



Slika 4.1. Proces sinteze BST praha.

Tabela 4.1. Reagensi korišćeni za sintezu barijum stroncijum titanata

Reagensi	Hemijska formula	Čistoća (%)	Proizvođač
Ti-izopropoksid	Ti[OCH(CH <sub>3</sub> ) <sub>2</sub> ] <sub>4</sub>	97%	Aldrich
Ba-acetat	Ba(CH <sub>3</sub> COO) <sub>2</sub>	99%	Aldrich
Sr-acetat	Sr(CH <sub>3</sub> COO) <sub>2</sub>	99%	Aldrich
citratna kiselina	C <sub>6</sub> H <sub>8</sub> O <sub>7</sub> ·H <sub>2</sub> O	99.5%	Aldrich
etilen-glikol*	C <sub>2</sub> H <sub>6</sub> O <sub>2</sub>	99%	Lachner

\*T<sub>ključanja</sub> = 197.3 °C

Prvi stupanj sinteze polimernog prekursorskog rastvora BST je priprema rastvora titan citrata. Rastvor titan citrata se dobija postepenim dodavanjem titan izopropoksida u prethodno zagrejan, na T = 60 °C, etilen-glikol (EG). Nakon mešanja od 10 minuta na magnetnoj mešalici na T = 60 °C dodaje se citratna kiselina (CK) i nastavlja se mešanje staklenim štapićem dok ne dođe do potpunog rastvaranja citratne kiseline. Dobijeni rastvor titan citrata je transparentan, svetlo žute boje.

Molarni odnos Ti, citratne kiseline i etilen glikola u rastvoru titan citrata bio je:

$$\text{Ti : CK : EG} = 1 : 4 : 40.$$

Rastvori barijum i stroncijum acetata se dobijaju rastvaranjem određenih količina Ba i Sr acetata u maloj količini destilovane vode.

Molarni odnos Ba, Ti i Sr u prekursorkom rastvoru bio je:

$$\mathbf{Ba : Sr : Ti = 0.8 : 0.2 : 1.}$$

U pripremljeni rastvor titan citrata se postepeno dodaju rastvori barijum i stroncijum acetata uz konstantno mešanje na magnetnoj mešalici. Pomoću rastvora amonijaka neophodno je podesiti pH vrednost rastvora na 8-9 da ne bi došlo do formiranja precipitata. Daljim mešanjem dobija se transparentni bledo žuti *prekursorski rastvor BST*.

Prekursorski rastvor BST je tretiran na dva načina u cilju dobijanja BST praha.

- *Prvi način* je hidrotermalni tretman prekursorskog rastvora u teflonskom sudu autoklava, (sl. 4.2). 50 ml prekursorskog rastvora BST, prethodno pripremljenog metodom kompleksne polimerizacije je pomešano sa 120 ml destilovane vode, i smešteno u teflonsko jezgro autoklava. Hidrotermalna reakcija se izvodi bez mešanja na temperaturi od 225 °C, pritisku od 68 bar (6.8 MPa), i vremenu trajanja reakcije od 5 h po uspostavljanju pritiska. Po završetku reakcije sistem se prirodno hlađi i višak tečnosti dekantuje. Dobijena suspenzija oker boje ispira se dejonizovanom vodom, centrifugira i suši u peći na 80 °C. Tako dobijen prekursorski prah se smešta u lađice od alumine ( $\text{Al}_2\text{O}_3$ ) i termički tretira na različitim temperaturama do 800 °C u cilju dobijanja BST praha.



Slika 4.2. Autoklav (Roth Karlsruhe,  $T_{\max} = 300$  °C,  $p_{\max} = 300$  bar) u laboratoriji Instituta za multidisciplinarna istraživanja.

- *Drugi način* je metod kompleksne polimerizacije, gde se prekursorski rastvor BST meša i zagreva na rešou na temperaturi od oko 100 °C radi ubrzavanja polimerizacije i uklanjanja vode. Daljim zagrevanjem sa porastom temperature do 200 °C rastvor postaje viskozniji i boja mu se menja iz svetlo žute u tamniju do nastajanja braon smole. Dobijena smola se dalje zagreva na T = 225 °C na rešou do nastajanja čvrste crne mase. Čvrsta crna masa predstavlja prekursor od kog pogodnim višestepenim termičkim tretmanom nastaje BST prah. Termički tretman prekursora vrši se u komornoj peći (ELEKTRON) u lađici od alumine na različitim temperaturama do 800 °C pri utvrđenom režimu zagrevanja.

Višestepeni termički tretman podrazumeva da se prekursorski prahovi dobijeni korišćenjem oba načina sinteze, u prvom koraku zagrevaju do 450 °C, a zatim termički tretiraju do sledećih temperatura: 500, 600, 650, 700 i 800 °C. Režim kompletног termičkog tretmana prekursorskih BST prahova dat je u Tabeli 4.2.

Tabela 4.2. Režim višestepenog termičkog tretmana prekursorkih BST prahova.

Stupanj	Temperatura (°C)	Brzina zagrevanja (°C/min)	Zadržavanje na dатој temperaturi (h)
I stupanj	450	5	1
II stupanj	500/600/650/700/800	10	4

Sporo zagrevanje do 450 °C i zadržavanje praha od 1 h na toj temperaturi se praktikuje u cilju kompletnijeg sagorevanja organskih materija koje se nalaze u prekursorskom prahu.

## 4.2 Metode karakterizacije BST prahova

BST prahovi dobijeni hidrotermalnim tretmanom prekursorkih rastvora su poređeni sa BST prahovima dobijenih metodom kompleksne polimerizacije. Karakterizacija dobijenih BST prahova podrazumevala je sledeće analize:

- Praćenje termičkog razlaganja prekursorkih prahova metodom termogravimetrijske (TG) i diferencijalne termijske analize (DTA)

Termičko razlaganje prekursorskog praha BST dobijenog hidrotermalnom metodom kao i gubitak mase prilikom zagrevanja, praćeni su metodom termogravimetrijske (TG) i diferencijalne termijske analize (DTA) pomoću uređaja SDT Q600 TG/DT (TA Instruments). Zagrevanje je vršeno u atmosferi azota u temperaturskom intervalu od sobne temperature do 900 °C, pri brzini zagrevanja od 10 °C/min.

➤ *Analizu morfologije praha skanirajućom elektronskom mikroskopijom (SEM)*

Ispitivanja morfologije i mikrostrukturnih karakteristika sinterovanih uzoraka rađena su na skenirajućem elektronskom mikroskopu tipa TESCAN Vega TS 5130 MM. Uzorci za SEM ispitivanje pripremani su pravljenjem suspenzije praha u etanolu, koja je nadalje ultrazvučno tretirana u trajanju od 5 min. Zatim je tanak sloj suspenzije nanet na prethodno ispoliran i čist nosač. Da bi se omogućila dobra provodnost uzorka, izvršeno je njihovo naparavanje zlatom u vakuumu.

➤ *Rengdensko – difrakcionu analizu (XRD)*

Rendgensko difrakciona analiza prahova BST vršena je prikupljanjem podataka na difraktometru tipa Rigaku RINT 2000, koji radi u parafokalnoj Bragg – Brentano geometriji, korišćenjem Cu K $\alpha$  zračenja ( $\lambda = 1.54178 \text{ \AA}$ ). Analiza je vršena na sobnoj temperaturi u opsegu uglova  $2\theta$  od 20° do 70° sa korakom od 0.5 °/min. Karakteristike optike difraktometra su sledeće: širina prijemnog proreza (receiving slit) je iznosila 0.6 mm, veličina Soller-ovog ugla 1°, i veličina divergentnog proreza (divergent slit) od 1°. Položaji eksperimentalno dobijenih difrakcionih maksimuma upoređeni su sa podacima iz JCPDS (Joint Committee on Powder Diffraction Standards) baze [111]. Srednja veličina kristalita ( $d_{hkl}$ ) izračunata je korišćenjem Šerrove (Scherrer) formule:

$$d_{hkl} = K\lambda / \beta_{1/2} \cos\theta \quad (4.1)$$

gde su K – Šerrova konstanta (faktor oblika = 0.89),  $\lambda$  – talasna dužina upotrebljenog x-zračenja,  $\beta_{1/2}$  – širina na poluvisini difrakcionog maksimuma (eng. FWHM – Full Width Half Maximum), a  $\theta$  ugao difrakcije.

➤ *Određivanje faznog sastava metodom Ramanove spektroskopije*

Određivanje kristalne strukture i faznog sastava vršeno je metodom Ramanove spektroskopije pomoću Jobin-Yvon T64000 trostrukog spektrometarskog sistema opremljenog konfokalnim mikroskopom i CCD (Charge Couple Device) detektorom koji se hlađi u tečnom azotu. Snimanje je vršeno u tzv. konfiguraciji unazad (backscattering geometry) na sobnoj temperaturi u vazduhu, korišćenjem 514.5 nm linije Ar<sup>+</sup>/Kr<sup>+</sup> jonskog kontinualnog lasera kao izvora pobuđivanja. Snaga uređaja je bila konstantna i iznosila je 30 mW.

- *Određivanje kristalne strukture i veličine kristalita transimisionom elektronskom mikroskopijom (TEM), i difrakcijom elektrona sa selektovane površine (eng. Selected area electron diffraction, SAED)*

Određivanje kristalne strukture i veličine kristalita prekursorskih prahova i BST prahova dobijenih hidroermalnom metodom vršeno je korišćenjem transimisione elektronske mikroskopije i difrakcije elektrona sa selektovane površine pomoću JEM – 2100, JEOL mikroskopa. Priprema uzorka za TEM snimanja je veoma slična kao i za SEM snimanja, s tim što se za TEM snimanja suspenzija nanosi u tankom sloju na odgovarajuću mrežicu od Cu ili Ni, koja se nalazi na nosaču. Određivanje strukture i međuravanskog rastojanja u kristalnoj rešetci difrakcijom elektrona sa selektovane površine, vršeno je pomoću programa DigitalMicrograph (verzija 1.70.16) uz upotrebu JCPDS baze podataka.

### 4.3 Dobijanje i karakterizacija keramike BST

- *Presovanje i sinterovanje BST prahova*

Nakon ispitivanja osnovnih karakteristika sintetisanih BST prahova, prahovi dobijeni hidroermalnom metodom i kalcinisani na 700 °C su se pokazali kao najbolji s obzirom da su kristalinični, bez prisustva zaostale karbonatne faze, kao i drugih sekundarnih faza, o čemu će biti više reči u diskusiji. Tako dobijeni prahovi su presovani i sinterovani, kako bi se dobila keramika i ispitala njena svojstva.

Prahovi BST su kompaktirani pomoću specijalno izrađenog alata od nerđajućeg čelika u uniaksialnoj presi. Vrednost pritiska presovanja izabrana je vodeći računa da se postigne što veća početna gustina uzorka, što je preduslov za dobijanje guste keramike. Pritisak presovanja je postepeno povećavan od 2 tona/cm<sup>2</sup> (196 MPa) do 10 tona/cm<sup>2</sup> (960 MPa). Utvrđeno je da na pritiscima nižim od 8 tona/cm<sup>2</sup> nije bilo moguće postići dovoljne gustine ispresa, dok je presovanje na pritiscima iznad 8 tona/cm<sup>2</sup> dovodilo do raslojavanja tableta. Stoga je odabrani pritisak bio 8 tona/cm<sup>2</sup> (784 MPa). Ispresci su bili prečnika 8 mm i visine oko 1.5 mm. Početna gustina ispresa bila je relativno mala ~ 45%  $\rho_t$ . Za teorijsku gustinu uzeta je vrednost 5.84 g/cm<sup>3</sup> na osnovu literaturnih podataka iz JCPDS baze [111], (kartica 44-0093) koja odgovara sastavu Ba<sub>0.77</sub>Sr<sub>0.23</sub>TiO<sub>3</sub>.

Presovani uzorci su smešteni u lađice od alumine i sinterovani u komornoj peći (ELEKTRON), u atmosferi vazduha u programiranom režimu temperatura/vreme. Sinterovanje je vršeno od sobne temperature do 1280 °C, pri konstantnoj brzini zagrevanja od 10 °C/min, dok je vreme zadržavanja na datoј temperaturi iznosilo 1, 4, 8, 16, i 32 časova, uz prirodno hlađenje. Preliminarnim istraživanjem utvrđeno je da sinterovanje na temperaturama iznad 1280 °C dovodi do delimičnogtopljenja uzorka, dok sinterovanje na temperaturama nižim od 1280 °C, ne dovodi do značajnog zgušnjavanja uzorka. Sinterovani uzorci barijum stroncijum titanata bili su svetlo žute boje nezavisno od vremena sinterovanja.

### ➤ Karakterizacija BST keramike

Karakterizacija dobijenih keramičkih uzorka vršena je korišćenjem sledećih metoda:

### ➤ Rendgensko struktturna analiza Ritveldovim (Rietveld) utačnjavanjem parametara dobijenih Rendgenskom difrakcijom x – zračenja

Uzorci za rendgensku struktturnu analizu su pripremljeni usitnjavanjem i sprašivanjem sinterovanih tableta u ahatnom avanu. Sprašivanje sinterovanih tableta se vrši da bi se minimizirao efekt preferentne orientacije. Difraktogrami svih sinterovanih uzorka kao i difraktogram polaznog praha BST tretiranog na 700 °C, snimljeni su na difraktometru Rigaku SmartLab korišćenjem CuKα zračenja ( $\lambda =$

1.5405 Å). Snimanje je vršeno na sobnoj temperaturi u intervalu uglova  $2\theta$  od 10 – 135°, pri brzini skeniranja od 0.7°/min i širini koraka od 0.01°. Napon između katode i anode u cevi je bio 40 kV a jačina struje 20 mA. Položaji eksperimentalno dobijenih difrakcionih maksimuma upoređeni su sa literaturnim podacima iz JCPDS baze podataka [111]. Utačnjavanje strukture, određivanje strukturnih parametara, kao i kvantifikovanje relativnog težinskog udela prisutnih faza izvršeno je Ritelveldovom (*Rietveld*) metodom [112] pomoću kompjuterskog programa FullProf (Suite Version July 2014) [113]. Početni strukturni parametri, prostorna grupa, parametri rešetke kao i Vikofove (Wyckoff) pozicije svake faze su preuzete iz baze podataka neorganskih kristalnih struktura Inorganic Crystal Structure Database, Version 1.7.0, 2010, FIZ Karlsruhe, Germany, dok je pseudo-Fojktova (Voight) funkcija korišćena za izgradnju profilne linije.

➤ *Određivanje teorijske gustine uzorka*

Geometrijske gustine sinterovanih uzoraka izračunate su merenjem mase i dimenzije uzorka korišćenjem relacije:

$$\rho = \frac{m}{d^2 h \pi} \quad (4.2)$$

pri čemu je  $m$  – masa uzorka,  $d$  – prečnik i  $h$  – visina uzorka.

Teorijska gustina ( $\rho_t$ ) sinterovanih uzoraka izračunata je uzimajući u obzir fazni sastav uzorka nakon sinterovanja kao i zapreminski udeo svake faze, dobijen Ritveldovim utačnjavanjem XRD podataka. Kao model za izračunavanje teorijske gustine korišćeno je „pravilo smeše“, pri kom se ukupna teorijska gustina višefaznog sistema može predstaviti sledećom jednačinom:

$$\rho_t = \sum_i f_i \rho_i \quad (4.3)$$

U jednačini  $f_i$  označava zapreminski udeo faze  $i$  u uzorku,  $\rho_i$  označava teorijsku gustinu faze  $i$ . Relativna gustina sinterovanih uzoraka ( $\rho_r$ ) dobijena je kao odnos izračunate geometrijske gustine (j-na 3.2) i teorijske gustine izračunate na osnovu jednačine (3.3).

➤ *Ispitivanje mikrostrukture skanirajućom elektronskom mikroskopijom (SEM) i analiza hemijskog sastava pomoću energijski disperzivne spektroskopije rendgenskog zračenja (EDS)*

Skanirajući elektronski mikroskop TESCAN Vega TS 5130 MM opremljen INCA Oxford 350 EDS SDD energijski disperzivnim sistemom (Oxford Instruments Analytical Ltd., Abington, UK) korišćen je za proučavanje mikrostrukture i analizu hemijskog sastava sinterovanih uzoraka. Uzorci za snimanje su pripremani za snimanje na sledeći način: najpre se uzorci poliraju i očiste u etanolu u ultrazvučnom kupatilu u trajanju od 5 min, a zatim se termički nagrizaju. Termičko nagrizanje je izvedeno tako što su uzorci poliranih površina uneti u komornu peć, prethodno zagrejanu (ELEKTRON) na temperaturu koja je 10% niža od temperature sinterovanja, i tretirani u trajanju od 30 min. Pored termički nagriženih preseka, analizirana je i površina uzoraka na slobodnom prelomu.

- *Određivanje dielektričnih svojstava (dielektrična konstanta –  $\epsilon$  i tangens gubitaka –  $\tan\delta$ )*

Ispitivanje dielektričnih svojstava BST keramike vršeno je pomoću uređaja HIOKI 3532-50 LCR HiTester. Uzorci za dielektrična merenja su polirani i na površinama je naneta srebrna elektroda. Da bi se poboljšao kontakt između površine uzorka i sloja srebrne elektrode, uzorci su sušeni u peći na 100 °C u trajanju od 30 min. Merenja su vršena uranjanjem uzoraka u silikonskom ulju u režimu zagrevanja, pri temperaturnom opsegu od 10 do 120 °C i frekvenciji od 1 MHz. Vrednost dielektrične konstante je određena merenjem kapacitivnog otpora i korišćenjem sledeće jednačine:

$$\epsilon = Cd/\epsilon_0 A \quad (4.4)$$

gde je  $C$  – kapacitet (F),  $\epsilon_0$  – vrednost dielektrične konstante vakuma ( $8.85 \times 10^{-12}$  F/m),  $A$  – površina nanete elektrode ( $m^2$ ), i  $d$  – debljina (m) uzorka.

- *Određivanje feroelektričnih svojstava (remanentna polarizacija -  $P_r$ , koercitivno polje –  $E_c$ )*

Feroelektrične karakteristike BST keramike kao što su remanentna polarizacija –  $P_r$  i koercitivno polje –  $E_c$  određene su metodom histerezisne petlje primenom modifikovanog Sojer-Tauer (Sawyer-Tower) kola pomoću Precision Multiferroic, Radian Technologies sistema. Uzorci za feroelektrična merenja pripremljeni su na

## **EKSPERIMENTALNI DEO**

---

identičan način kao za dielektrična merenja. Naizmenični napon učestanosti 0.1 Hz dovođen je na uzorke i merena je polarizacija u funkciji primjenjenog električnog polja. Tokom merenja uzorci su bili uronjeni u silikonsko ulje. Merenja su vršena na sobnoj temperaturi.

## 5 Rezultati i diskusija

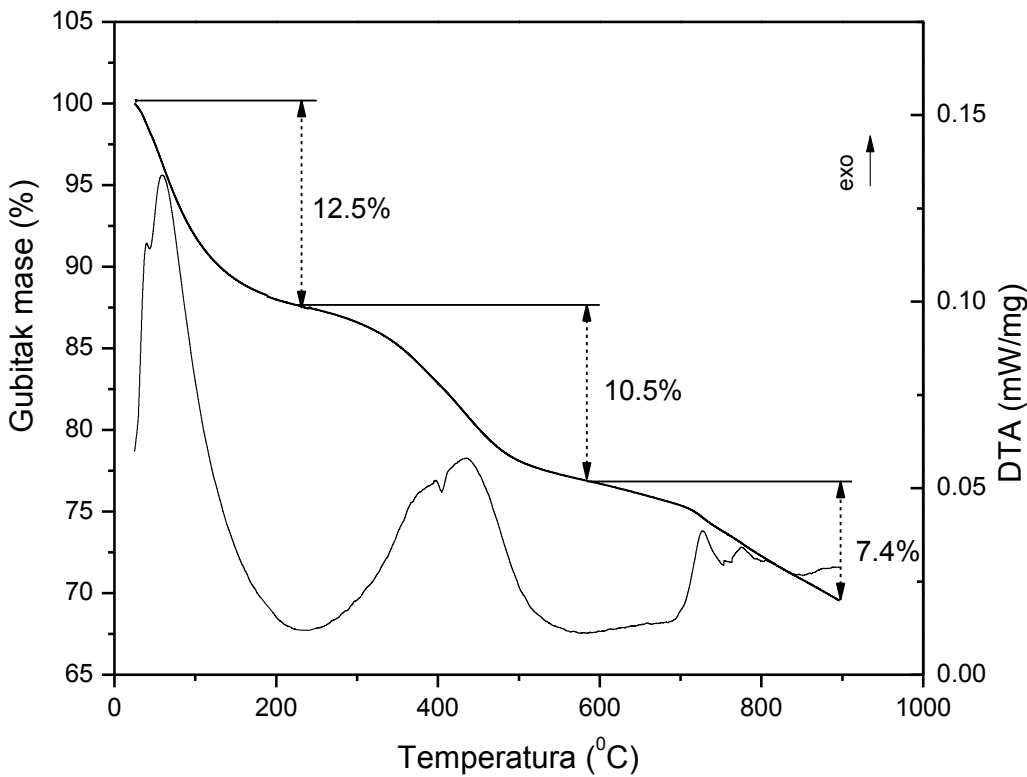
### 5.1 Karakterizacija prahova BST dobijenih metodom kompleksne polimerizacije i hidrotermalnim tretmanom

Kao što je već opisano u poglavlju 3.1, prekursorski rastvor barijum stroncijum titanata sintetisan je metodom kompleksne polimerizacije. U cilju dobijanja prahova, prekursorski rastvor tretiran je na dva načina: metodom kompleksne polimerizacije i hidrotermalnim tretmanom. U ovom delu prikazane su karakteristike prahova barijum stroncijum titanata dobijenih korišćenjem ove dve metode.

#### 5.1.1 *TG/DT analiza dobijenih prekursorkih prahova*

S obzirom da je hidrotermalni tretman prekursorskog rastvora prethodno dobijenog metodom kompleksne polimerizacije potpuno nov pristup sintezi prekursorskog praha BST, od interesa je ispratiti termalno ponašanje tako dobijenih prekursorkih prahova.

U cilju razumevanja termičkog ponašanja prekursorskog praha BST dobijenog hidrotermalnim tretmanom, termogravimetrijska i diferencijalna termijska analiza su izvedene i rezultati su prikazani na sl. 5.1.



Slika 5.1. TG/DT krive hidrotermalno dobijenog BST prekursorskog praha.

Termogravimetrijska kriva pokazuje da proces termičkog razlaganja prekursorskog praha od sobne temperature do 900 °C, i može se podeliti na tri odvojena koraka tj. gubitka mase u sledećim temperaturnim intervalima: 25 – 250 °C, 250 – 550 °C, i 550 – 900 °C. Svakom gubitku mase (25 – 250 °C, 250 – 550 °C, i 550 – 900 °C) odgovara egzotermni pik koji je predstavljen DT krivom.

Tokom prvog koraka (25 – 250 °C), gubitak mase je oko 12.5% koji se može delimično pripisati isparavanju adsorbovane vode sa površine uzorka. Takođe gubitak mase može da potiče i od isparavanja zaostale organske materije u prekorsorkom prahu.

U drugom koraku (250 – 550 °C), primećen je gubitak mase u uzorku od 10.5%. Tokom ovog temperaturnog intervala dolazi do termalnog razlaganja dehidratisanog prekursora i formiranja intermedijarne faze. Kumar (Kumar) [73] i Arima (Arima) [74] došli su do zaključka da termičkim razlaganjem (Ba, Ti)-citratnih prekursora u temperaturnom intervalu od 250 – 500 °C dolazi do stvaranja intermedijarne oksikarbonatne faze koja se može predstaviti formulom  $\text{Ba}_2\text{Ti}_2\text{O}_5 \cdot \text{CO}_3$ . Suasmoro

(Suasmoro) i saradnici [77] pokazali su da i u postupku sinteze  $\text{Ba}_x\text{Sr}_{1-x}\text{TiO}_3$  dolazi do stvaranja intermedijarne oksi-karbonatne faze, koja se može predstaviti sledećom formulom:  $(\text{Ba}_x\text{Sr}_{1-x})_2\text{Ti}_2\text{O}_5 \cdot \text{CO}_3$ . Egzotermni pikovi na oko  $390^\circ\text{C}$  i  $420^\circ\text{C}$  koji se uočavaju na DTA krivoj odgovaraju sagorevanju zaostale organske materije u prekursorskom prahu i formiranju intermedijarne oksi-karbonatne  $(\text{Ba}_{0.8}\text{Sr}_{0.2})_2\text{Ti}_2\text{O}_5 \cdot \text{CO}_3$  faze [114]. Razlaganje prekursora je kompletno na temperaturi od oko  $500^\circ\text{C}$  što se manifestuje pojmom endoternog platoa na DTA krivoj.

Tokom trećeg koraka ( $550 - 900^\circ\text{C}$ ) gubitak mase u uzorku je najmanji i iznosi 7.4%. Ovaj stupanj karakteriše široki endoterni plato na DTA krivoj, u temperaturnom intervalu između  $550$  i  $700^\circ\text{C}$ . Endoterni region odgovara formiranju  $\text{Ba}_{0.8}\text{Sr}_{0.2}\text{TiO}_3$  faze kao rezultat endoternog razlaganja oksi-karbonatne intermedijarne faze [73]. Pojavljivanje egzoternih pikova na DT krivoj na oko  $730$  i  $770^\circ\text{C}$ , može se povezati sa formiranjem poli-titanatne  $\text{BaTi}_2\text{O}_5$  faze kao sekundarne faze.  $\text{BaTi}_2\text{O}_5$  je sekundarna faza bogata titanijumom i formira se na temperaturama višim od  $700^\circ\text{C}$  [115].

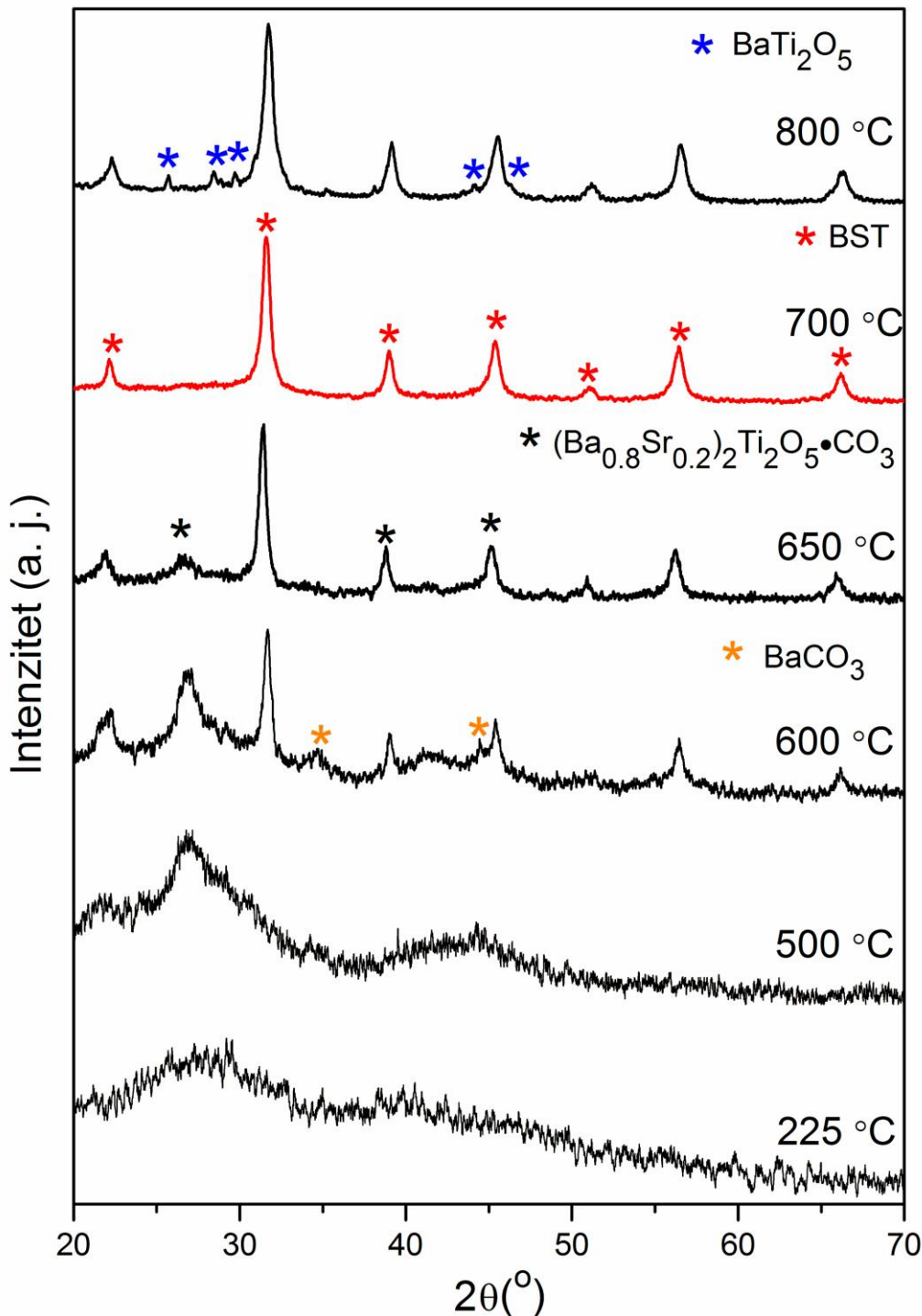
### **5.1.2 Analiza uticaja različitih postupaka sinteze na strukturne i mikrostrukturne karakteristike BST praha**

U ovom delu prikazane su strukturne i mikrostrukturne karakteristike BST prahova dobijenih metodom kompleksne polimerizacije i hidrotermalnim tretmanom. Karakterizacija podrazumeva određivanje kristalne strukture, parametara jedinične celije i morfologije prahova.

#### *5.1.2.1 Rendgenogramska analiza prahova BST*

TG/DT analizom prekurskog praha BST dobijenog hidrotermalnim postupkom došlo se do zaključka da termičkim razlaganjem prekursora u temperaturnom intervalu od  $250$  do  $550^\circ\text{C}$  dolazi do stvaranja intermedijarne oksi-karbonatne  $(\text{Ba}_{0.8}\text{Sr}_{0.2})_2\text{Ti}_2\text{O}_5 \cdot \text{CO}_3$  faze i da do formiranja BST faze dolazi u intervalu od  $550$  do  $700^\circ\text{C}$ . Takođe pokazano je da na temperaturama iznad  $700^\circ\text{C}$  dolazi do stvaranja polititanatne  $\text{BaTi}_2\text{O}_5$  faze. Metoda difrakcije rendgenskog zračenja (XRD) je rađena u cilju ispitivanja fazne evolucije tokom kristalizacije BST prahova dobijenih primenom

oba načina sinteze na različitim temperaturama, kao i za utačnjavanje njihove kristalne strukture. Kompletna rendgenogramska analiza prikazana je na sl. 5.2.



Slika 5.2. Difraktogrami polaznog prekursorskog praha dobijenog hidrotermalnom metodom i prahova dobijenih kalcinacijom polaznog praha na različitim temperaturama tokom 4h; (\*)  $(\text{Ba}_{0.8}\text{Sr}_{0.2})_2\text{Ti}_2\text{O}_5 \cdot \text{CO}_3$ , (\*)  $\text{BaCO}_3$ , (\*) BST, (\*)  $\text{BaTi}_2\text{O}_5$  faza.

Na sl. 5.2. predstavljen je rendgenogram hidroermalno pripremljenog BST prekursorskog praha i termički tretiranog u temperturnom intervalu od 225-800 °C. Sa

## REZULTATI I DISKUSIJA

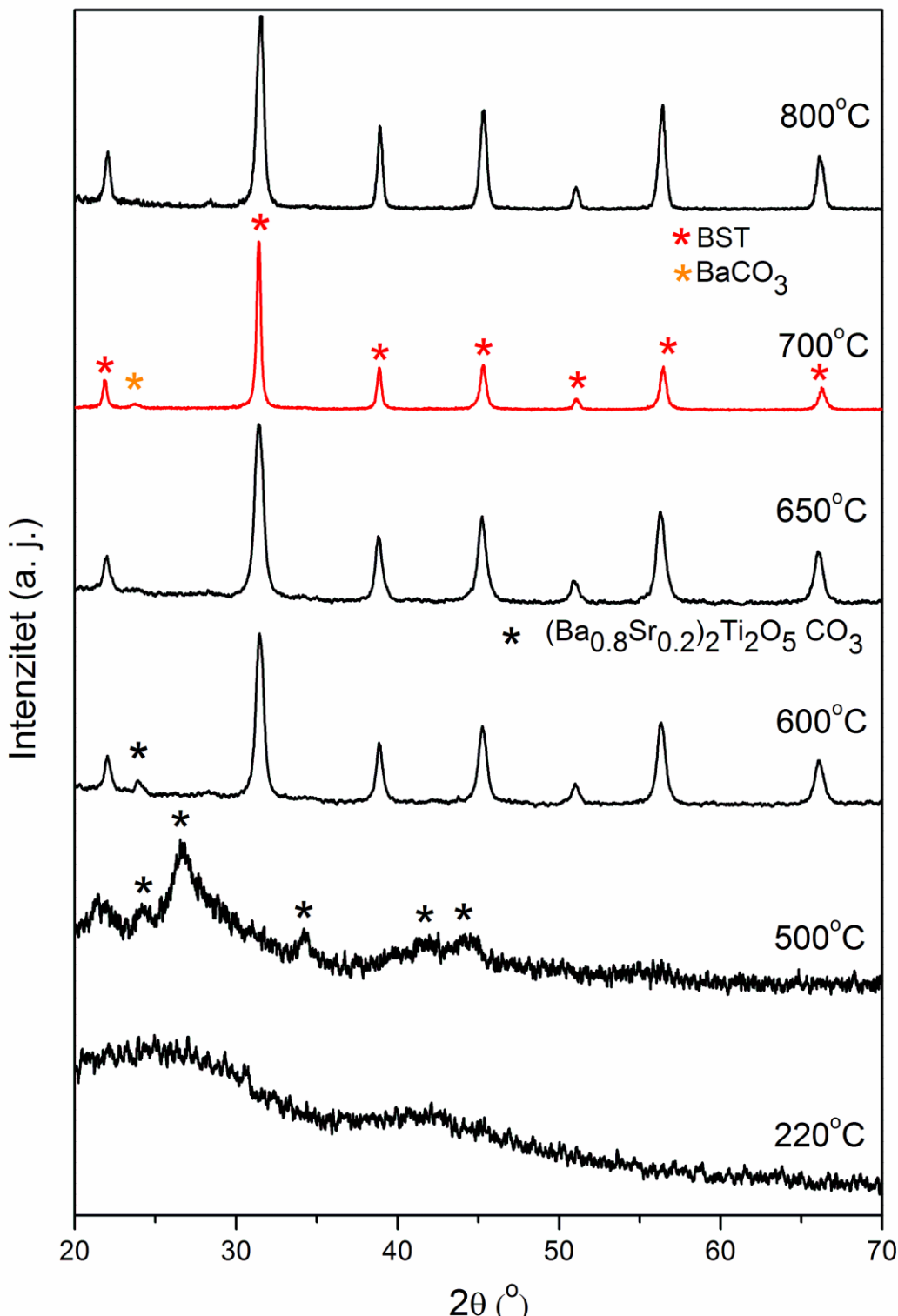
---

difraktograma se jasno vidi da prekursorski prah ( $225\text{ }^{\circ}\text{C}$ ) ima potpuno amorfnu strukturu bez jasnih difrakcionih maksimuma, što je predstavljeno širokim kontinuumom u XRD spektru. Amorfna struktura je takođe prisutna u spektru i posle kalcinacije praha na  $500\text{ }^{\circ}\text{C}$ . Posle kalcinacije praha na temperaturi od  $600\text{ }^{\circ}\text{C}$  dolazi do formiranja intermedijarne  $(\text{Ba}_{0.8}\text{Sr}_{0.2})_2\text{Ti}_2\text{O}_5\cdot\text{CO}_3$  oksi-karbonatne faze, odnosno do pojave karakterističnih pikova te strukture na vrednostima  $2\theta$  od  $27^{\circ}$ ,  $29^{\circ}$ ,  $34^{\circ}$ ,  $44^{\circ}$  i  $46^{\circ}$ . Ovi položaji difrakcionih maksimuma odgovaraju položajima koje su u svojim istraživanjima pronašli Kumar (Kumar) [73], Duran (Duran) [75], Suasmoro (Suasmoro) [77], Mao (Mao) i saradnici [116].

Sa porastom temperature kalcinacije količina intermedijarne oksi-karbonatne faze opada uporedno sa formiranjem BST faze. Posle kalcinacije na  $650\text{ }^{\circ}\text{C}$  dobija se gotovo čist BST prah. Eventualni zaostaci intermedijarne faze uočavaju se na osnovu difrakcionog pika na položaju  $2\theta = 27^{\circ}$ . Na osnovu ovih difraktograma može se zaključiti da razlaganje intermedijarne  $(\text{Ba}_{0.8}\text{Sr}_{0.2})_2\text{Ti}_2\text{O}_5\cdot\text{CO}_3$  oksi-karbonatne faze i stvaranje BST faze se dešava u temperaturnom intervalu od  $500$  do  $650\text{ }^{\circ}\text{C}$ , što je u saglasnosti sa rezultatima dobijenim pomoću TG/DT analize. Kristalizacija BST faze na temperaturama iznad  $500\text{ }^{\circ}\text{C}$  je potvrđena i u literaturi [74][114][117]. Na osnovu dobijenih difraktograma može se zaključiti da termički tretman na  $700\text{ }^{\circ}\text{C}$  dovodi do potpune kristalizacije i formiranja čiste tetragonalne BST faze. Eksperimentalno dobijeni difrakcioni maksimumi na položajima  $2\theta \sim 22^{\circ}$ ,  $31^{\circ}$ ,  $39^{\circ}$ ,  $45^{\circ}$ ,  $51^{\circ}$ ,  $56^{\circ}$  i  $66^{\circ}$  upoređeni su sa podacima iz JCPDS baze i utvrđeno je njihovo poklapanje sa karticom 44-0093. Time je potvrđeno formiranje tetragonalne kristalne strukture BST, prostorne grupe  $P4mm$ , koja odgovara sledećem stehiometrijskom sastavu:  $\text{Ba}_{0.77}\text{Sr}_{0.23}\text{TiO}_3$ . Treba istaći da nakon termičkog tretmana na  $700\text{ }^{\circ}\text{C}$  dolazi do potpunog nestajanja pikova koji potiču od karbonatne faze. Na temperaturama iznad  $700\text{ }^{\circ}\text{C}$  dolazi do pojave dodatnih pikova na položajima  $2\theta = 26^{\circ}$ ,  $28^{\circ}$ ,  $29^{\circ}$ ,  $44^{\circ}$  i  $46^{\circ}$ . Upoređivanjem sa podacima iz JCPDS baze potvrđeno je da se pikovi poklapaju sa karticom 70-1188 koja odgovara monokliničnoj  $\text{BaTi}_2\text{O}_5$  fazi, prostorne grupe A2/m.

Stvaranje sekundarne polititanatne faze termičkim tretmanom barijum titanata iznad  $700\text{ }^{\circ}\text{C}$  potvrđeno je u literaturi [118][119]. Javadpour i saradnici [120], su sintetisali čist  $\text{BaTi}_2\text{O}_5$  Pećinijevim postupkom, i došli do zaključka da se  $\text{BaTi}_2\text{O}_5$  formira na temperaturi od  $700\text{ }^{\circ}\text{C}$  i da je stabilan u temperaturskom intervalu od  $700$  do  $1150\text{ }^{\circ}\text{C}$ . Na temperaturama iznad  $1150\text{ }^{\circ}\text{C}$ ,  $\text{BaTi}_2\text{O}_5$  se razlaže na  $\text{BaTiO}_3$  i  $\text{Ba}_6\text{Ti}_{17}\text{O}_{40}$ . Jukikuni (Yukikuni) i saradnici [121] ispitivali su dielektrična svojstva čistog  $\text{BaTi}_2\text{O}_5$  i

pokazali da materijal ima visoku vrednost dielektrične konstante ( $\varepsilon \sim 30000$ ) na Kirijevoj temperaturi,  $T_c = 430$  °C.



Slika 5.3. Difraktogrami polaznog prekursorskog praha dobijenog metodom kompleksne polimerizacije i prahova dobijenih kalcinacijom polaznog praha na različitim temperaturama tokom 4h; (\*)  $(\text{Ba}_{0.8}\text{Sr}_{0.2})_2\text{Ti}_2\text{O}_5\text{CO}_3$ , (\*)  $\text{BaCO}_3$ , (\*) BST.

## **REZULTATI I DISKUSIJA**

---

Na sl. 5.3 predstavljen je rendgenogram BST prekursorskog praha dobijenog metodom kompleksne polimerizacije i termički tretiranog u temperaturnom intervalu od 225-800 °C. Kao i u slučaju prekursorskog praha dobijenog hidrotermalnom metodom, prah dobijen metodom kompleksne polimerizacije (225 °C) je potpuno amorfani. Formiranje oksi-karbonantne  $(Ba_{0.8}Sr_{0.2})_2Ti_2O_5 \cdot CO_3$  faze dešava se nakon termičkog tretmana na temperaturi od 500 °C. Nakon termičkog tretmana na 600 °C, dolazi do formiranja oštih pikova koji potiču od BST faze. Može se primetiti da je u spektru praha termički tretiranog na temperaturama od 600 °C do 700 °C pored pikova koji ukazuju na tetragonalnu BST fazu, prisutan i pik na položaju  $2\theta = 24^\circ$  koji odgovara zaostaloj karbonatnoj fazi. Na temperaturama iznad 700 °C, pik koji odgovara karbonatnoj fazi potpuno iščezava.

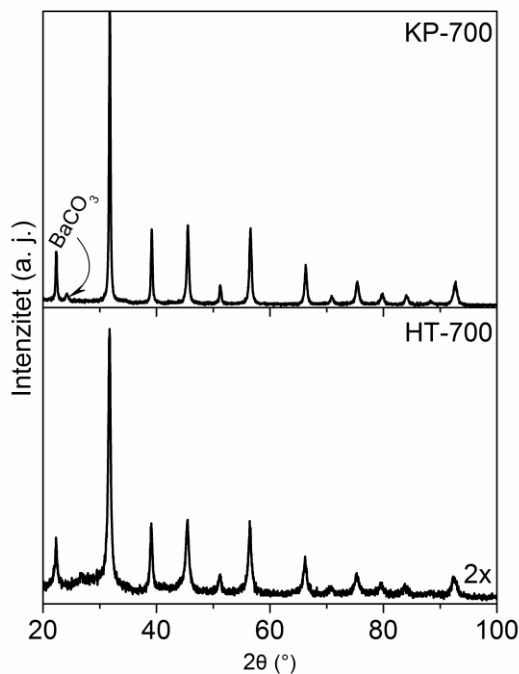
BST prahovi dobijeni, korišćenjem oba opisana načina sinteze, i kalcinisani na temperaturi od 700 °C pokazuju najbolju kristaliničnost i formiranje perovskitne BST faze. Shodno tome, BST prahovi kalcinisani na 700 °C korišćeni su za dalju karakterizaciju.

Radi jednostavnosti, u nastavku rada koristiće se skraćene oznake date u tabeli 5.1.

Tabela 5.1. Oznake uzoraka BST.

<b>Uzorak</b>	<b>Oznaka</b>
Prekursorski prah dobijen hidroermalno	HT-225
Prah dobijen hidroermalno i termički tretiran na 700 °C	HT-700
Prekursorski prah dobijen metodom kompleksne polimerizacije	KP-225
Prah dobijen metodom kompleksne polimerizacije i termički tretiran na 700 °C	KP-700

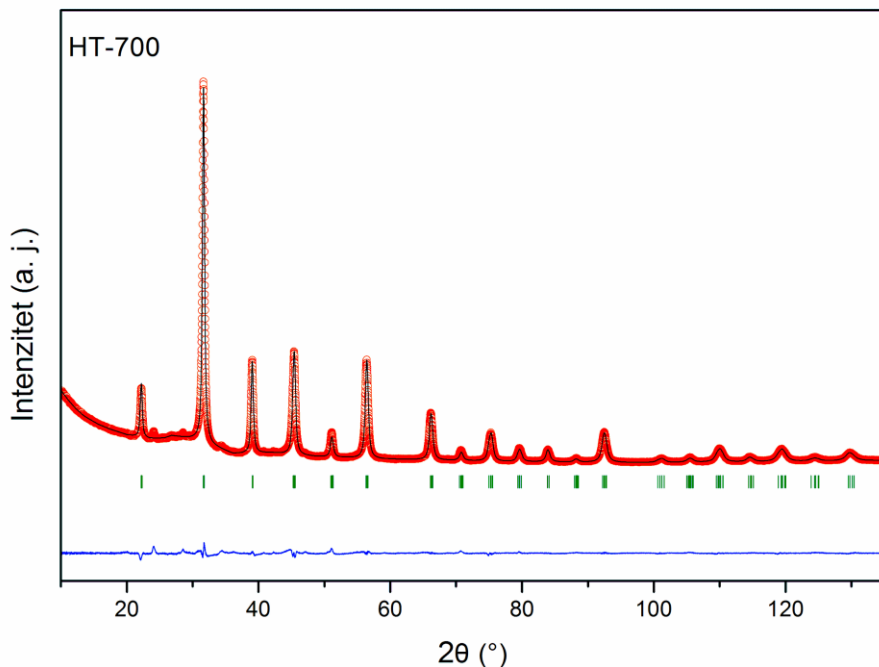
Redenogrami BST prahova dobijenih hidroermalnim tretmanom i metodom kompleksne polimerizacije, na prvi pogled izgledaju veoma slično. Razlike u difraktogramima BST prahova dobijenih korišćenjem obe metode se mogu jasnije uočiti ako se prikažu uporedno rendgenogram praha dobijenog HT i KP metodom, i termički tretiranih na 700 °C. Ako se uporede visine i širine pikova na istoj temperaturi, zaključuje se da su prahovi dobijeni metodom kompleksne polimerizacije kristaliničniji sa veličinom kristalita od oko 30 nm, dok je veličina kristalita prahova dobijenih hidroermalnom metodom približno 20 nm. Veličine kristalita su određene korišćenjem Šererove jednačine.



Slika 5.4. Difraktogram BST praha dobijenog HT metodom i KP postupkom. Prahovi su termički tretirani na 700 °C.

Na osnovu sl. 5.4 može se zaključiti da termički tretman na 700 °C dovodi do potpune kristalizacije BST prahova dobijenih HT i KP postupkom. Rendgenogram praha dobijenog KP metodom (KP-700) ukazuje na prisustvo izvesne količine  $\text{BaCO}_3$  koja nije izreagovala tokom kalcinacije. Poznato je da  $\text{BaCO}_3$  predstavlja potencijalnu nečistoću u BST prahovima koji se koriste za pripremu elektrokeramike i može negativno da utiče na svojstva dobijene keramike [122]. Rendgenogram praha dobijenog HT metodom (HT-700) ukazuje na prisustvo zanemarljive količine sekundarne polititanatne  $\text{BaTi}_2\text{O}_5$  faze.

Utačnjena je struktura praha HT-700 korišćenjem Rietveld-ove metode [112] pomoću kompjuterskog programa FullProf [113]. Utačnjavani su sledeći parametri: strukturni parametri (parametri rešetke  $a$  i  $c$ , položaji jona), mikrostrukturni parametri (srednja veličina kristalita i mikronaprezanje). Pomoću Rietveld-ove metode utvrđen je i odnos Ba i Sr u sistemu kao i fazni sastav. Na sl. 5.5, prikazan je difraktogram praha HT-700, koji je utaćnjavan u strukturnom tipu perovskita, u prostornoj grupi  $P4mm$  čije se refleksije poklapaju sa položajima iz JCPDS baze podataka, pod rednim brojem 44-0093, dok su u tabeli 5.2 prikazani parametri strukture HT-700 uzorka, izračunati iz difrakcionih podataka.



Slika 5.5. Dijagram strukturnog utačnjavanja za BST HT-700 praha, upotrebom XRD podataka. Oznake: (crveni kružići) – eksperimentalni podaci, (puna linija) – izračunati podaci, (plava linija) – razlika između eksperimentalnih i izračunatih podataka, i (crtice) – položaji Bragovih refleksija BST faze.

Tabela 5.2. Strukturni parametri za HT-700 uzorak dobijeni nakon strukturnog utačnjavanja upotrebom XRD podataka snimljenih na sobnoj temperaturi.

Atom	<i>x</i>	<i>y</i>	<i>z</i>	N	D (nm)	Mikronaprezanje	R <sub>p</sub>
<i>tetragonalna faza, a=b=3.98718(3) Å, c=4.00445(6) Å, c/a = 1.00433</i>							
Ba	0	0	0	0.672(5)			
Sr	0	0	0	0.328(5)			
Ti	0.5	0.5	0.49		20.4(10)	0.217(2)	2.71
O	0.5	0.5	-0.008				
O	0.5	0	0.536				

a=b=3.9771(3) Å, c=3.9883(3) Å \*

D – veličina kristalita

N – faktor okupacije položaja

R<sub>p</sub> – faktor koji kvantificiše kvalitet utačnjene strukture.

Nakon Ritveldovog utačnjavanja parametara u programu FullProf potvrđeno je da prah HT-700 sadrži BST u tetragonalnoj strukturi. Stehiometrija HT-700 prahova, tj. odnos Ba/Sr, dobijen Ritveldovim utačnjavanjem iznosi 0.67/0.33. S obzirom da je

\* Podaci preuzeti iz JCPDS kartice pod rednim brojem 44-0093.

nominalan odnos Ba/Sr u prekursorsom rastvoru, 0.8/0.2, evidentno je da prilikom hidrotermalne reakcije dolazi do narušavanja stehiometrije. Narušavanje stehiometrije do koje dolazi tokom hidrotermalne reakcije, može se objasiti sa termodinamičkog stanovišta. Barijum i stroncijum reaguju različito sa titanom u rastvoru, pri čemu se stroncijum lakše ugrađuje u strukturu BST, u odnosu na barijum. Standardna Gibbsova (Gibbs) slobodna energija formiranja  $\text{SrTiO}_3$  približno je za 15 kJ/mol negativnija nego u slučaju formiranja  $\text{BaTiO}_3$ , i stoga je formiranje  $\text{SrTiO}_3$  termodinamički povoljnije [123]. S obzirom da u rastvoru najpre dolazi do formiranja  $\text{SrTiO}_3$ , u sistemu ostaju neizreagovali  $\text{Ba}^{2+}$  joni. Prisustvo neizreagovalih  $\text{Ba}^{2+}$  jona u rastvoru dovodi do narušavanja stehiometrije i odnosa  $(\text{Ba} + \text{Sr})/\text{Ti}$ , favorizujući na taj način stvaranje faza bogatih titanom [124][35][127].

Ritveldovom analizom nije potvrđeno prisustvo zaostalih karbonatnih i sekundarnih polititanatnih faza u prahu HT-700, što ne znači da sekundarne faze nisu prisutne, već da je količina sekundarnih faza ispod granica detekcije XRD spektroskopije.

### 5.1.2.2 Ramanska spektroskopska analiza BST prahova

Ramanova spektroskopska analiza je urađena u cilju karakterizacije fazne evolucije tokom termičkog tretmana i identifikacije kristalnih faza prisutnih u BST prahovima. Ramanska spektroskopija kao i XRD spektroskopija se koristi za identifikaciju kristalnih faza, pri čemu je ramanska spektroskopija znatno osetljivija metoda za karakterizaciju faza u BT i BST prahovima u odnosu na XRD spektroskopiju [126][127][128][129]. U nekim slučajevima je teško pomoću XRD analize odrediti simetriju kristalne rešetke posebno kada se struktura menja usled smanjenja dimenzija čestica. Čavez (Chávez) i saradnici [130] su u uzorcima nanokristalnog  $\text{BaTiO}_3$ , metodom XRD analize uočili samo kubnu strukturu, dok su metodom ramanske spektroskopije identifikovali i prisustvo tetragonalne faze. Ramanskom spektroskopijom može se sa većom sigurnošću utvrditi da li je jedinična čelija kubna ili tetagonalna, s obzirom da položaji modova zavise od kristalne simetrije [126][127][128][129]. Tetagonalni BT (kao i BST) ima aktivnu kristalnu simetriju  $C_{4v}^1$  koja se odlikuje jasnim ramanskim pikovima na sobnoj temperaturi, za razliku od kubne strukture koja ima ramanski neaktivnu simetriju  $O_h^1$  što dovodi do gašenja pikova u spektru.

## REZULTATI I DISKUSIJA

---

Prema teoriji grupa [127][130][131][132] BaTiO<sub>3</sub> kubne simetrije (prostorne grupe  $Pm\bar{3}m = O_h$ ) može se predstaviti ireducibilnim reprezentacijama:

$$4F_{1u} + 1F_{2u}$$

gde jedna  $F_{1u}$  ireducibilna reprezentacija odgovara akustičnoj grani, dok ostale reprezentacije  $3F_{1u} + 1F_{2u}$  pripadaju optičkoj grani.  $F_{1u}$  modovi u kubnom BaTiO<sub>3</sub> su ramanski neaktivni (infracrveno aktivni), dok je  $F_{2u}$  mod ramanski i infracrveno neaktivni.

Kao što je već rečeno u poglavlju (2.1.1) kubna struktura barijum titanata može se opisati kao sistem TiO<sub>6</sub> oktaedara povezanih preko rogljeva. U slučaju tetragonalnog BaTiO<sub>3</sub> prostorne grupe  $P4mm$  ( $C_{4v}$ ), dolazi do distorzije rešetke usled pomeranja jona Ti i O u suprotnim smerovima duž  $z$  ose. Usled toga svaki  $F_{1u}$  mod se cepta na  $A_1$  i  $E$  mod, dok se  $F_{2u}$  mod deli na  $B_1$  i  $E$  mod. Elektrostatičke interakcije dugog dometa u jonskoj rešetki uzrokuju dalje cepanje svakog  $A_1$  i  $E$  moda na transverzalni TO i longitudinalni LO mod. Uzimajući u obzir cepanje modova usled distorzije kristalne rešetke i elektrostatičkih interakcija, ramanovi aktivni optički modovi u tetragonalnom BaTiO<sub>3</sub> mogu se predstaviti sledećim izrazom:

$$\Gamma_{opt} = 3A_1(TO + LO) + 4E(TO + LO) + B_1.$$

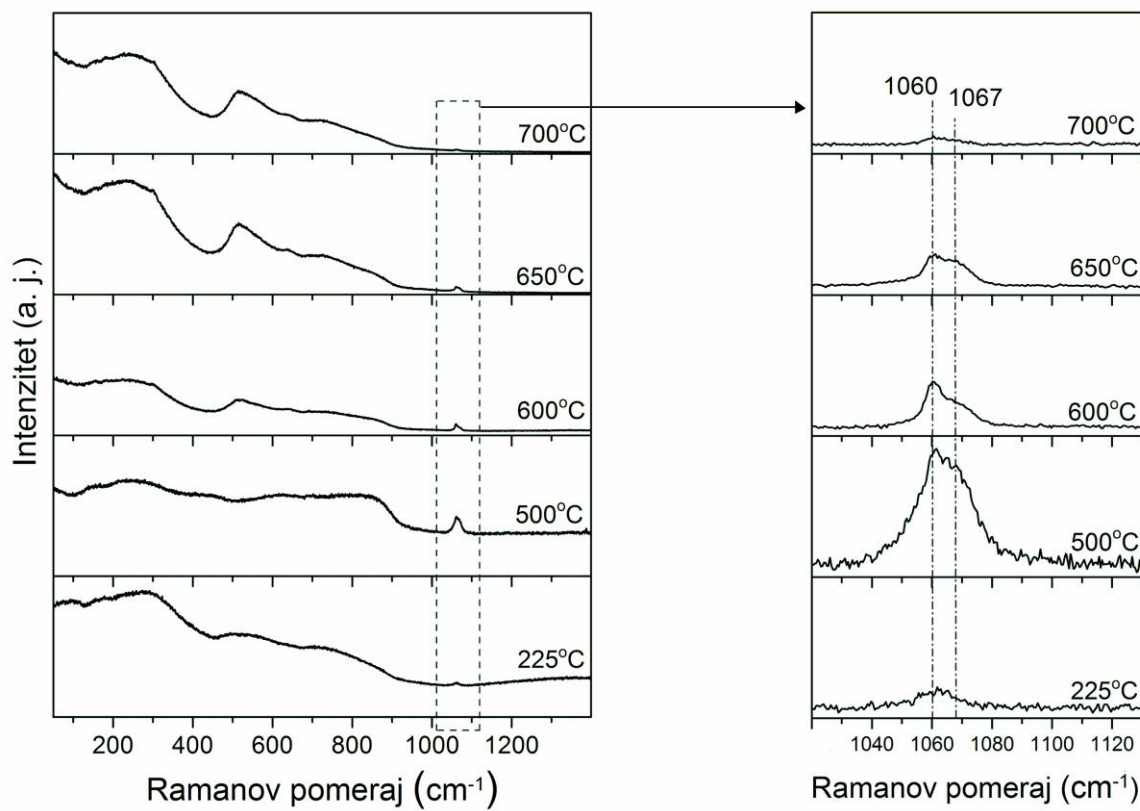
Ramanski spektar tetragonalnog BST sadrži brojne karakteristične trake na određenim pozicijama [133]. U ramanskom spektru BST uočavaju se pet traka, tri intenzivne i široke na 180, 260 i 520 cm<sup>-1</sup>, oštar pik na 305 cm<sup>-1</sup> i slaba traka na 720 cm<sup>-1</sup>. Trake na oko 180, 260 i 520 cm<sup>-1</sup> pripisane su transverzalnom optičkom (TO) modu  $A_1$  simetrije, dok pik na oko 305 cm<sup>-1</sup> odgovara  $B_1$  modu. Slaba traka na 720 cm<sup>-1</sup> odgovara longitudinalnom (LO) modu  $A_1$  simetrije. Trake na oko 305 i 720 cm<sup>-1</sup> su karakteristične samo za tetagonalnu fazu i ne postoje u ramanskim spektrima kubnog BST [133]. To znači da se ramanskom spektroskopijom mogu jasno identifikovati (razdvojiti) tetagonalna i kubna faza. U tabeli 5.3 dati su položaji karakterističnih traka u ramanskom spektru BST i njihova asignacija.

Tabela 5.3. Položaji karakterističnih traka u ramanskom spektru BST i njihova asignacija.

Položaj trake (cm <sup>-1</sup> )	Asignacija
180	$A_1(TO)$
260	$A_1(TO)$
<b>305</b>	<b><math>B_1, E(TO + LO)</math></b>

520	$E(TO), A_I(TO)$
<b>720</b>	$A_I(LO), E(LO)$

U cilju potvrđivanja pretpostavljenog mehanizma fazne evolucije tokom termičkog tretmana, BST prahovi su karakterisani metodom ramanske spektroskopije. Na sl. 5.6 predstavljeni su ramanski spektri hidroermalno pripremljenog BST prekursorskog praha i termički tretiranog u temperaturnom intervalu od 225-700 °C. Ramanski spektri su snimljeni na sobnoj temperaturi, u spektralnoj oblasti od 50 do  $1400\text{ cm}^{-1}$ . Desni deo slike 5.6 predstavlja uvećan region u frekventnom intervalu između 1020 i  $1130\text{ cm}^{-1}$ .



Slika 5.6. Ramanski spektri hidroermalno dobijenog BST praha (HT-225) i termički tretiranog na različitim temperaturama. Desno – uvećan region u frekventnom intervalu između 1020 i  $1130\text{ cm}^{-1}$ .

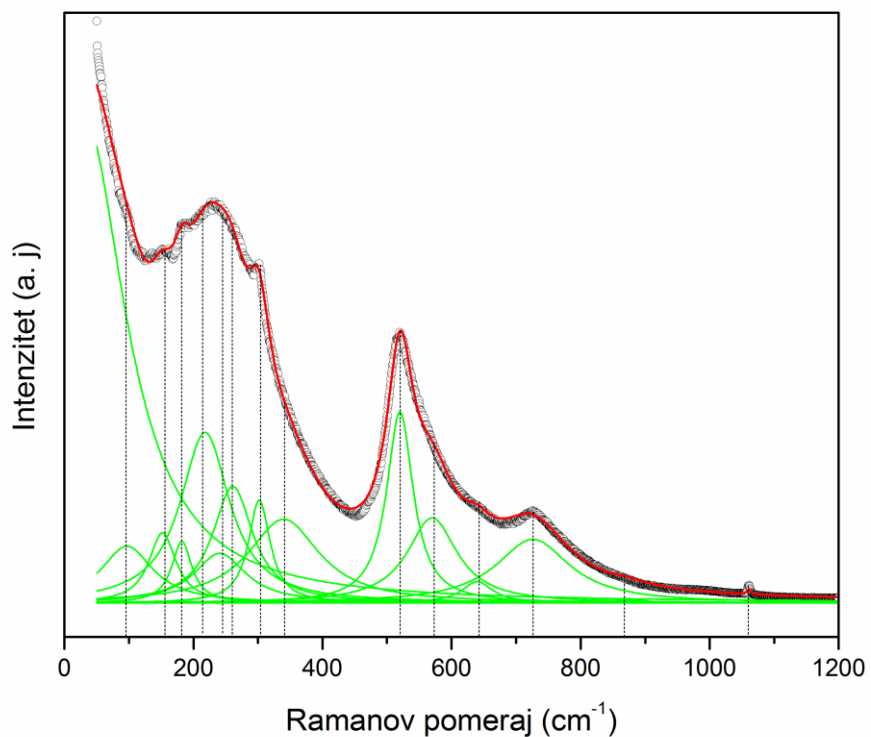
Ramanski spektar HT-225 prekursorskog praha pokazuje pojavu fluorescencije sa pojavom pika na  $1061\text{ cm}^{-1}$ , koji je karakterističan za  $\text{CO}_3^{2-}$  simetrične istežuće vibracije [73]. Spektar BST praha termički tretiranog na  $500\text{ °C}$  zajedno sa pikom koji odgovara karbonatnoj fazi sadrži i široki kontinuum između 50 i  $850\text{ cm}^{-1}$ , gde se uočava nagli pad intenziteta. Široki kontinuum sa naglim padom intenziteta na  $850\text{ cm}^{-1}$

## **REZULTATI I DISKUSIJA**

---

i pojava pika na  $1061\text{ cm}^{-1}$ , jasno ukazuju na prisustvo intermedijarne oksi-karbonatne  $(\text{Ba}_{0.8}\text{Sr}_{0.2})_2\text{Ti}_2\text{O}_5\cdot\text{CO}_3$  faze, što je potvrđeno u literaturi [72][73]. U spektru praha kalcinisanog na  $600\text{ }^{\circ}\text{C}$  uočava se pojava širokih traka na položajima oko  $260$ ,  $305$ ,  $520$  i  $720\text{ cm}^{-1}$ , koje su karakteristične za tetragonalnu strukturu. Široki intenzivni kontinuum na oko  $850\text{ cm}^{-1}$  koji je bio prisutan u spektru praha kalcinisanog na  $500\text{ }^{\circ}\text{C}$ , kompletно iščezava nakon termičkog tretmana na  $600\text{ }^{\circ}\text{C}$ , indicirajući razlaganje intermedijarne faze. Nakon termičkog tretmana praha na  $650\text{ }^{\circ}\text{C}$ , trake u ramanskom spektru koje pripadaju tetragonalnom BST postaju izraženije, dok pikovi koji odgovaraju karbonatnoj fazi postaju nižeg intenziteta. Uvećani region u frekventnom intervalu između  $1020$  i  $1130\text{ cm}^{-1}$ , u kom se nalaze pikovi koji potiču od karbonatne faze (sl. 5.6, desna strana), pokazuje prisustvo traka na  $1060$  i  $1067\text{ cm}^{-1}$ . Ramanov pik na  $1060\text{ cm}^{-1}$  odgovara čistom  $\text{BaCO}_3$ , dok pik na  $1067\text{ cm}^{-1}$  pripada karbonatnoj fazi koja nastaje tokom razlaganja intermedijarne oksi-karbonatne faze u temperaturnom intervalu između  $500$  i  $650\text{ }^{\circ}\text{C}$  [74]. Regon u frekventnom intervalu između  $1020$  i  $1130\text{ cm}^{-1}$  pokazuje promenu karbonatne faze do koje dolazi usled termičkog tretmana prahova u temperaturnom intervalu od  $225\text{ }^{\circ}\text{C}$  do  $700\text{ }^{\circ}\text{C}$ . Na osnovu ramanskih spektara može se zaključiti da sa porastom temperature pikovi koji pripadaju tetragonalnoj BST fazi bivaju izraženiji, dok pik koji odgovara karbonatnoj fazi postaje slabiji i gotovo iščezava nakon termičkog tretmana praha na  $700\text{ }^{\circ}\text{C}$ . Rezultati dobijeni pomoću ramanove spektroskopije BST prahova u dobroj su saglasnosti sa rezultatima dobijenim TG/DT i XRD merenjima.

U cilju asignacije BST modova, urađena je dekonvolucija ramanskog spektra HT-700 praha. Dekonvolucija je prikazana sumom od dvanaest Lorencijanovih (*Lorentzian*) pikova (sl. 5.7), i rezulat dekonvolucije su dati u tabeli 5.4.



Slika 5.7. Dekonvolucija ramanskog spektra HT-700.

Tabela 5.4. Položaj modova u spektru uzorka HT-700. j-jak, o- oštar

$\omega/\text{cm}^{-1}$		
Ba <sub>0.8</sub> Sr <sub>0.2</sub> TiO <sub>3</sub>	BaTi <sub>2</sub> O <sub>5</sub>	HT-700
-	97	94
-	154	151
180	181	183
-	217(j)	-
-	243	231
260	-	266
-	280	-
305	309	303
-	340	345
-	369	-
-	412	-
-	438	-

## REZULTATI I DISKUSIJA

-	485	-
520	-	519
-	529	-
-	588(j)	570
-	645(j & o)	647
-	706	-
720	-	730
-	780	-
-	880(j)	-

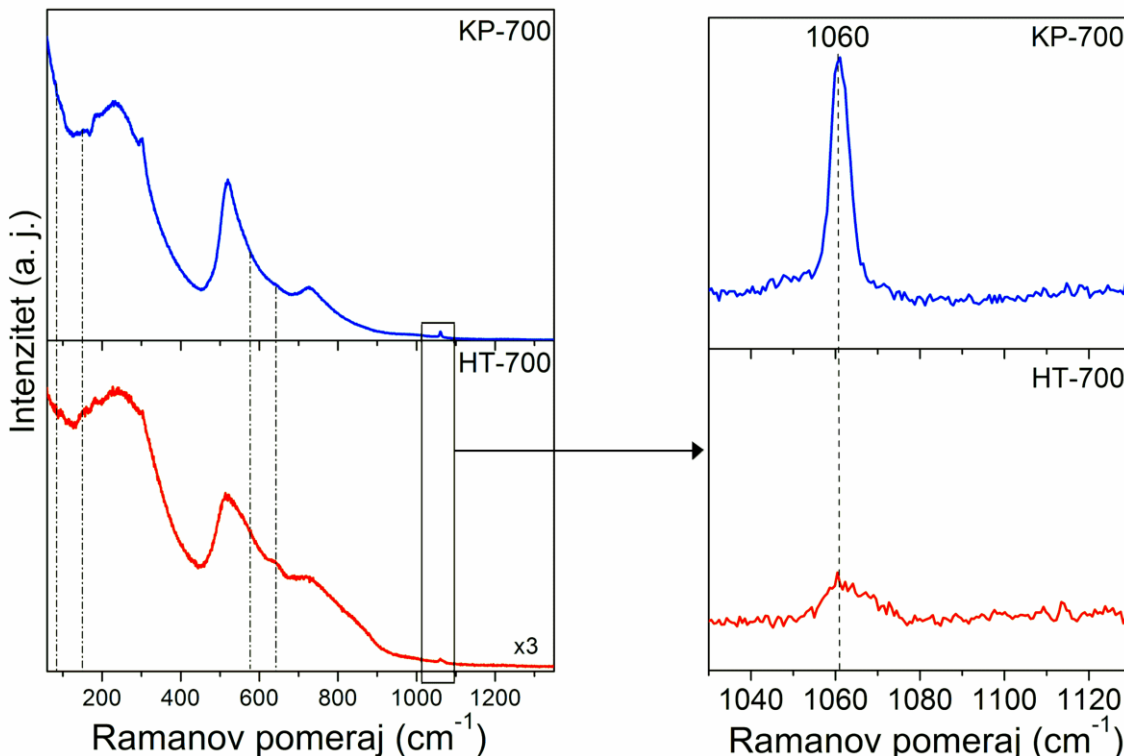
1 - [134]

2 - [135]

Ramanski pikovi na položajima 183, 266, 303, 519 i 730  $\text{cm}^{-1}$  odgovaraju tetragonalnom BST, pri čemu su pikovi na 303 i 730  $\text{cm}^{-1}$  specifični za tetagonalnu fazu BST [134]. Ramanski pikovi na položajima 94, 151, 231, 345, 570 i 647  $\text{cm}^{-1}$  ukazuju na prisustvo sekundarne polititanatne  $\text{BaTi}_2\text{O}_5$  faze. Položaji pikova koji odgovaraju polititanatnoj fazi su u dobroj saglasnosti sa pozicijama pikova nađenim u literaturi [134][135]. Veoma slab pik na 1060  $\text{cm}^{-1}$  odgovara karbonatnoj fazi koja nije izreagovala nakon termičkog tretmana na 700 °C [74].

Na osnovu rezultata ramanske analize može se zaključiti da prah HT-700 sadrži tetragonalni  $\text{Ba}_{0.8}\text{Sr}_{0.2}\text{TiO}_3$ ,  $\text{BaTi}_2\text{O}_5$  kao sekundarnu fazu, i neznatne količine zaostale karbonatne faze.

U cilju upoređivanja faznog sastava BST prahova dobijenih hidrotermalno i metodom kompleksne polimerizacije, snimljen je ramanski spektar KP-700 praha. Na sl. 5.8 predstavljeni su ramanski spektri HT-700 i KP-700 prahova.



Slika 5.8. Levo - ramanski spektri HT-700 i KP-700 praha; isprekidane linije označavaju položaje pikova koji odgovaraju polititanatnoj  $\text{BaTi}_2\text{O}_5$  fazi. Desno – uvećan region u frekventnom intervalu od  $1030$  do  $1120 \text{ cm}^{-1}$ ; isprekidana linija odgovara položaju pika karbonatne faze.

Na sl. 5.8 sa leve strane predstavljeni su ramanski spektri HT-700 i KP-700 praha, dok je na desnom delu slike predstavljen uvećan region u frekventnom intervalu od  $1030$  do  $1120 \text{ cm}^{-1}$ . Ramanski spektar KP-700 praha sadrži pikove karakteristične za tetragonalni  $\text{Ba}_{0.8}\text{Sr}_{0.2}\text{TiO}_3$  na identičnim položajima kao i spektar HT-700 praha. Ramanski pikovi na položajima  $94$ ,  $151$ ,  $570$  i  $640 \text{ cm}^{-1}$  koji odgovaraju polititanatnoj  $\text{BaTi}_2\text{O}_5$  fazi (na spektrima označeni isprekidanim linijom), u spektru KP-700 praha gotovo isčeščavaju. Sa druge strane, na desnom delu slike gde je prikazan uvećan region u frekventnom intervalu od  $1030$  do  $1120 \text{ cm}^{-1}$  uočava se znatno izraženiji pik na  $1060 \text{ cm}^{-1}$  u spektru KP-700 praha. Pik na položaju od  $1060 \text{ cm}^{-1}$  odgovara karbonatnoj fazi, na osnovu čega se može zaključiti da KP-700 prah sadrži znatne količine neizreagovale karbonatne faze.

Fazni sastav dobijen na osnovu ramanskih spektara HT-700 i KP-700 prahova u dobroj meri je saglasan sa podacima dobijenim na osnovu XRD analize. Ramanskom analizom je potvrđeno da KP-700 i HT-700 prahovi sadrže BST u tetragonalnoj simetriji, kao i da KP-700 prah sadrži znatne količine neizreagovale karbonatne faze.

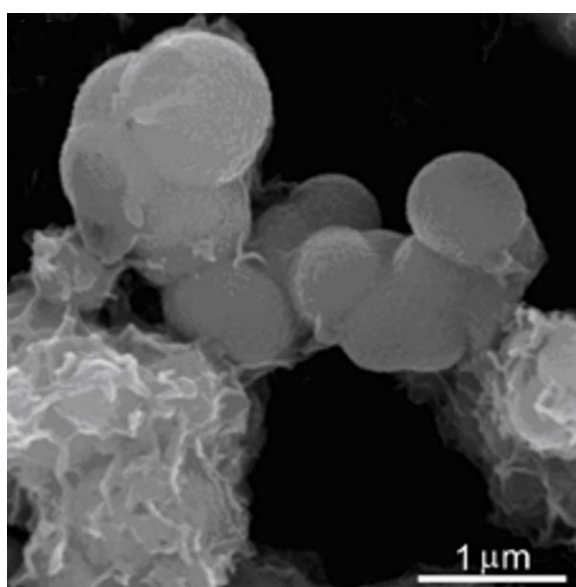
Međutim, ono što ramanova analiza pokazuje, je prisustvo sekundarne polititanatne  $\text{BaTi}_2\text{O}_5$  faze u uzorcima HT-700, dok Ritveldovim utačnjavanjem XRD podataka prisustvo ove faze nije potvrđeno.

### 5.1.2.3 Morfologija BST prahova – SEM analiza

Veličina čestica praha, njihov oblik i stepen aglomeracije su važne karakteristike praha, znatno utiču na razvoj mikrostrukture (odnosno na veličinu zrna keramike), a samim tim i na dielektrična i feroelektrična svojstva dobijene keramike [136][137]. U cilju utvrđivanja razlika u morfologiji praha dobijenog hidrotermalnom metodom i metodom kompleksne polimerizacije, analizirane su skenirajuće elektronske mikroografije datih prahova.

Na sl. 5.9 prikazana je SEM mikrografija prekursorskog praha dobijenog hidrotermalnom metodom (HT-225). Mikrografija ukazuje da se prah HT-225 sastoji od krupnih sfernih submikronskih čestica. Sitne čestice po površini sfernih čestica ukazuju na prisustvo izvesne količine amorfne i organske faze u uzorku praha.

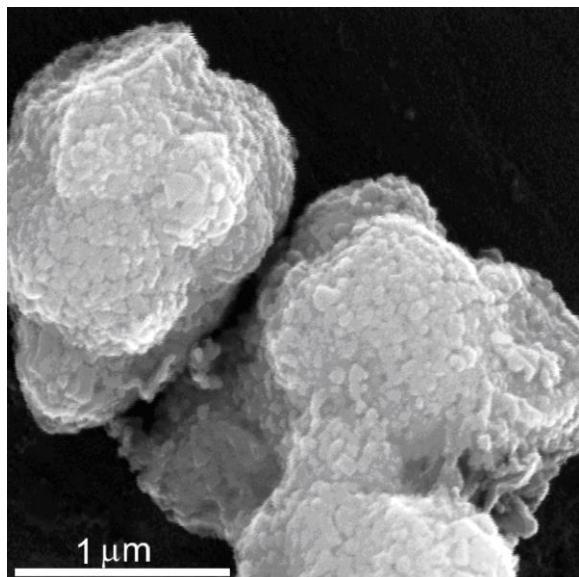
Kao što je već rečeno u eksperimentalnom delu, SEM mikrografije na KP-225 prahovima nisu snimane, s obzirom da tako dobijen prekursorski prah zapravo predstavlja čvrstu smolu koju nije lako sprašiti, i od koje je gotovo nemoguće napraviti suspenziju koja bi se u tankom sloju nanela na nosač predviđen za SEM snimanje.



Slika 5.9. SEM mikrografija HT-225 praha.

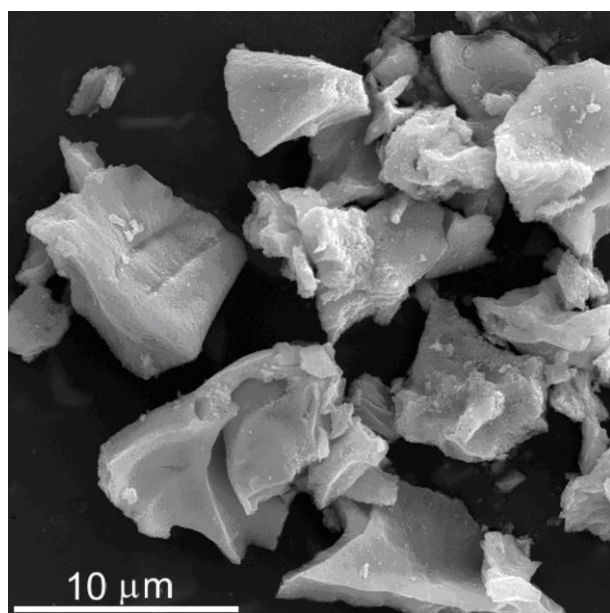
## REZULTATI I DISKUSIJA

Termički tretman prekursorskog praha na 700 °C, dovodi do formiranja delimično aglomerisanog BST praha. SEM mikrografija HT-700 praha (sl. 5.10), ukazuje da se prah sastoji od sfernih čestica veličine do 2 µm u prečniku. Aglomerisane čestice imaju hrapavu površinu. Oblik čestica se formira tokom procesa kalcinacije tokom kog dolazi do sagorevanja organske materije i izdvajanja CO<sub>2</sub> [137].



Slika 5.10. SEM mikrografija HT-700 praha.

Sa druge strane prah dobijen metodom kompleksne polimerizacije i termički tretiran na 700 °C (KP-700), pokazuje sasvim drugačiju morfologiju u odnosu na HT-700 prah. Na sl. 5.11 predstavljena je SEM mikrografija KP-700 praha.



Slika 5.11. SEM mikrografija KP-700 praha.

Termički tretman praha dobijenog metodom kompleksne polimerizacije vodi formirajući čestice nepravilnog oblika, oštih ivica i nehomogene distribucije veličine

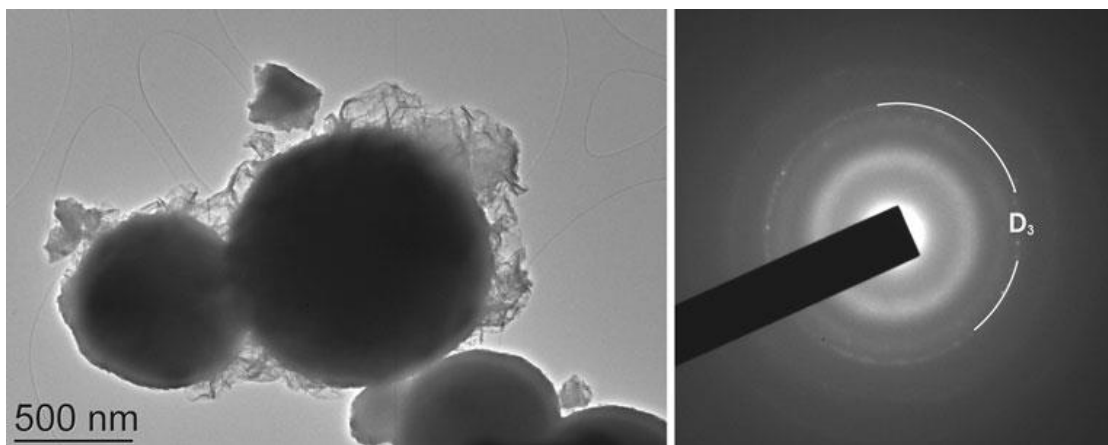
čestica. Čestice praha KP-700 su veoma aglomerisane i dolazi do formiranja čvrstih agregata veličine do  $15\text{ }\mu\text{m}$ .

### 5.1.2.4 Određivanje morfologije i strukture prahova dobijenih hidrotermalnom metodom – TEM analiza

Transmisiona elektronska mikroskopija (TEM) i difrakcija elektrona sa selektovane površine (SEAD) su rađene u cilju određivanja morfologije primarnih čestica, veličine kristalita i tipa strukture hidroermalno dobijenih prahova.

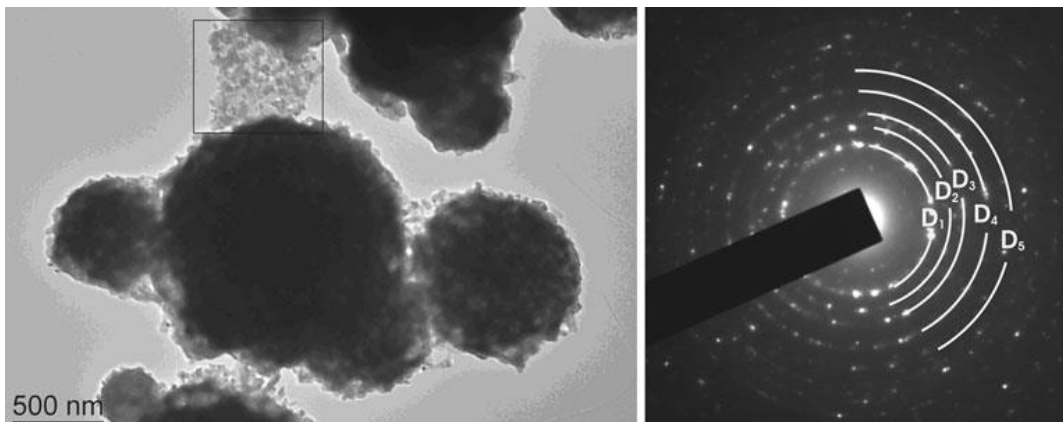
Kao što se može zaključiti na osnovu SEM mikrografija (sl. 5.9-11), BST prah dobijen metodom kompleksne polimerizacije se sastoji od veoma krupnih čestica ( $\sim 15\mu\text{m}$ ), stoga nije pogodan za TEM analizu.

Na sl. 5.12 predstavljena je TEM mikrografija prekursorskog praha dobijenog hidrotermalnom metodom (HT-225) i odgovarajuća difrakciona slika. TEM mikrografija prekursorskog praha pokazuje prisustvo sfernih submikronskih čestica i značajne količine amorfne i organske faze. Odgovarajuća difrakciona slika sadrži samo jedan jasno definisan difrakcioni prsten koji se može pripisati slabo iskristalisanoj BST fazi.



Slika 5.12. TEM mikrografija HT-225 praha i odgovarajuća difrakciona slika.

Termički tretman na  $700\text{ }^{\circ}\text{C}$  dovodi do potpune kristalizacije BST praha sa veličinom kristalita manjom od  $50\text{ nm}$  (sl. 5.13). Odgovarajuća difrakciona slika selektovane površine se sastoji iz jasno definisanih difrakcionih prstenova koji se mogu pripisati kristalnoj tetragonalnoj fazi BST.



Slika 5.13. TEM mikrografija HT-700 praha i odgovarajuća difrakciona slika.

Tabela 5.5 pokazuje međuravanska rastojanja ( $D$ ), izračunata na osnovu difrakcione slike selektovane površine HT-700 praha sa odgovarajućim Milerovim (Müller) indeksima ( $hkl$ ).

Tabela 5.5.  $D$  – rastojanja izračunata na osnovu difrakcione slike HT-700 praha sa odgovarajućim Milerovim indeksima

$D_n$	$d_{\text{JCPDS } 44-0093}/(\text{nm})$	SAED/(nm)	( $hkl$ )
$D_1$	0.282	0.286	(101)
$D_2$	0.230	0.235	(111)
$D_3$	0.199	0.204	(200)
$D_4$	0.162	0.166	(211)
$D_5$	0.141	0.145	(202)

Međuravanska rastojanja izračunata na osnovu difrakcione slike praha HT-700 u saglasnosti su sa vrednostima koje se nalaze u JCPDS kartici pod rednim brojem 44-0093 koja odgovara  $\text{Ba}_{0.77}\text{Sr}_{0.23}\text{TiO}_3$  sastavu.

Podaci dobijeni TEM i SAED analizama u potpunosti podržavaju zaključke o strukturi dobijene na osnovu XRD i Ramanove spektroskopije.

## 5.2 Karakterizacija keramike BST dobijene hidrotermalnim postupkom

S obzirom da hidrotermalni tretman prekursorskih rastvora dobijenih metodom kompleksne polimerizacije predstavlja nov pristup sintezi BST prahova, od interesa je ispitati svojstva keramike dobijene od tako dobijenih prahova. Prahovi dobijeni hidrotermalnom metodom i kalcinisani na 700 °C su se pokazali kao najbolji, s obzirom da su kristalinični i ne sadrže zaostale karbonatne faze. Odlučeno je da se ti prahovi presuju, sinteruju i ispita fazni sastav kao i feroelektrična i svojstva dobijene keramike. Optimizacijom uslova presovanja i sinterovanja (nije predstavljeno u doktoratu), odlučeno je da se prahovi presuju pod pritiskom od 484 MPa (8 tona/cm<sup>2</sup>) i sinteruju na temperaturi od 1280 °C. Sinterovanje je vršeno pri različitim vremenima: 1, 4, 8, 16 i 32 h, i ispitivan je uticaj vremena sinterovanja na fazni sastav, strukturne i mikrostrukturne parametre, dielektrična i feroelektrična svojstva dobijene keramike.

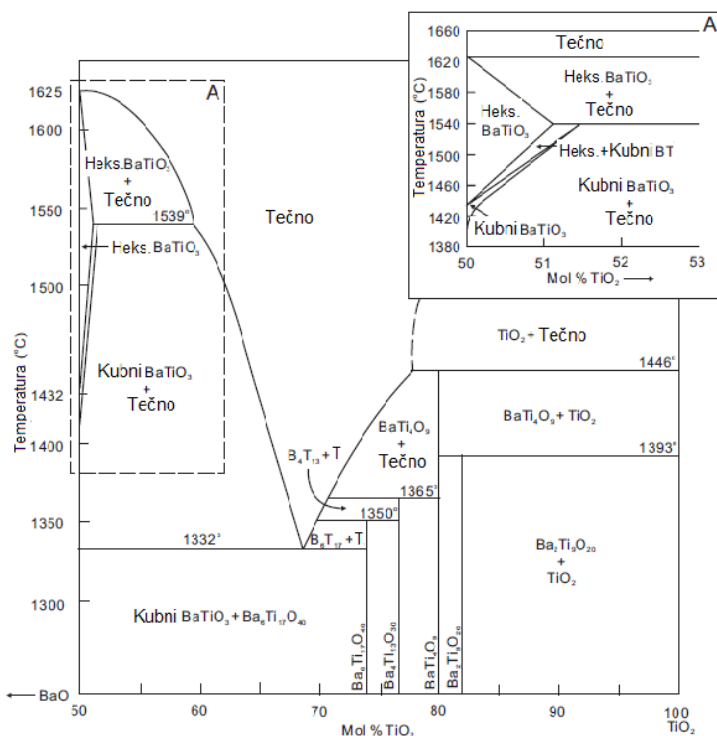
### **5.2.1 Fazni sastav, strukturni i mikrostrukturni parametri sinterovanih uzoraka praćeni metodom rendgenske difrakcije x-zraka**

BaTiO<sub>3</sub> i (Ba, Sr)TiO<sub>3</sub> su veoma složeni sistemi čiji ravnotežni sastav strog zavisi od temperature i od odnosa pojedinih katjona u sistemu. Poznato je da minimalno odstupanje od stehiometrije u sistemu, dovodi do formiranja sekundarnih faza, što naročito dolazi do izražaja na visokim temperaturama, pri kojima se odvija proces sinterovanja. Stoga je za dobijanje BT kao i BST keramike željenog faznog sastava neophodno dobro poznavanje BaO–TiO<sub>2</sub> i BaO–TiO<sub>2</sub>–SrO ravnotežnih faznih dijagrama. Mnogi istraživači su se bavili ravnotežnim sastavom BaO–TiO<sub>2</sub> kao i BaO–TiO<sub>2</sub>–SrO u širokom opsegu temperatura, i na osnovu toga konstruisali fazne dijagrame [138][139][140].

Prema faznom dijagramu koji su konstruisali Rejs (Rase) i Roj (Roy) [138] stehiometrijski BaTiO<sub>3</sub> je stabilan do 1460 °C. Mala odstupanja od ravnotežnog odnosa BaO i TiO<sub>2</sub> dovode do stvaranja sekundarnih faza, i to faza bogatih Ba i faza bogatijih Ti. Sa ravnotežnog faznog dijagrama koji je predstavljen na slici 5.14 se vidi da ukoliko je sistem bogatiji BaO, zajedno sa formiranjem BaTiO<sub>3</sub> dolazi do stvaranja barijum ortotitanatne Ba<sub>2</sub>TiO<sub>4</sub> faze koja je stabilna do 1860 °C. Međutim, u slučaju kada je BaO–TiO<sub>2</sub> sistem bogatiji TiO<sub>2</sub>, dolazi do stvaranja većeg broja faza bogatijih Ti. Kirby (Kirby) i saradnici [139] predstavili su kompletan ravnotežni fazni dijagram BaO–TiO<sub>2</sub> sistema za slučaj kada je sistem bogatiji TiO<sub>2</sub> fazom. Na osnovu faznog dijagrama na

## **REZULTATI I DISKUSIJA**

slici 5.14, može se zaključiti da u zavisnosti od temperature, pored  $\text{BaTiO}_3$  dolazi do formiranja velikog broja sekundarnih polititanatnih faza:  $\text{BaTi}_2\text{O}_5$ ,  $\text{BaTi}_3\text{O}_7$ ,  $\text{Ba}_6\text{Ti}_{17}\text{O}_{40}$ ,  $\text{BaTi}_4\text{O}_9$ ,  $\text{Ba}_4\text{Ti}_{13}\text{O}_{30}$  itd.  $\text{BaTi}_2\text{O}_5$  je metastabilna faza koja nastaje reakcijom  $\text{BaTiO}_3$  i  $\text{TiO}_2$ , i stabilna je u temperaturnom intervalu od 700 do 1200 °C. Iznad 1200 °C  $\text{BaTi}_2\text{O}_5$  se razlaže na  $\text{BaTiO}_3$  i  $\text{Ba}_6\text{Ti}_{17}\text{O}_{40}$ .  $\text{Ba}_6\text{Ti}_{17}\text{O}_{40}$  faza se formira na temperaturama iznad 1100 °C kada se molski udeo  $\text{TiO}_2$  u sistemu kreće od 50 do 75%. U temperaturnom intervalu između 1100 i 1332 °C, u sistemu su u ravnoteži  $\text{BaTiO}_3$  i  $\text{Ba}_6\text{Ti}_{17}\text{O}_{40}$ . Polititanatna,  $\text{Ba}_6\text{Ti}_{17}\text{O}_{40}$  faza, formira eutektičku smešu sa  $\text{BaTiO}_3$  na temperaturi od 1332 °C. Veliki višak  $\text{TiO}_2$  (iznad 75%) u sistemu dovodi do stvaranja  $\text{Ba}_4\text{Ti}_{13}\text{O}_{30}$  faze koja je stabilna do 1365 °C, nakon čega prelazi u  $\text{BaTi}_4\text{O}_9$  i tečnu fazu.  $\text{BaTi}_4\text{O}_9$  faza je stabilna na temperaturama iznad 1365 °C, dok na temperaturama iznad 1446 °C dolazi do njenogtopljenja [139].



Slika 5.14. Ravnotežni fazni dijagram BaO–TiO<sub>2</sub> sistema [139].

Slične tvrdnje se mogu preneti i na BaO–TiO<sub>2</sub>–SrO sistem. Li (B. K. Lee) i saradnici [141] su uočili formiranje polititanatne Ba<sub>6</sub>Ti<sub>17</sub>O<sub>40</sub> faze tokom sinterovanja (Ba, Sr)TiO<sub>3</sub> sistema na temperaturama nižim od 1332 °C, gde se nalazi BaTiO<sub>3</sub>–Ba<sub>6</sub>Ti<sub>17</sub>O<sub>40</sub> eutektička tačka. Kolar (Kolar) i saradnici [142] izučavali su mehanizam nastajanja čvrstog rastvora (Ba, Sr)TiO<sub>3</sub>, i potvrdili pojavu eutektikuma na temperaturama nižim od 1300 °C. Autori su došli do zaključka da ravnotežni čvrst

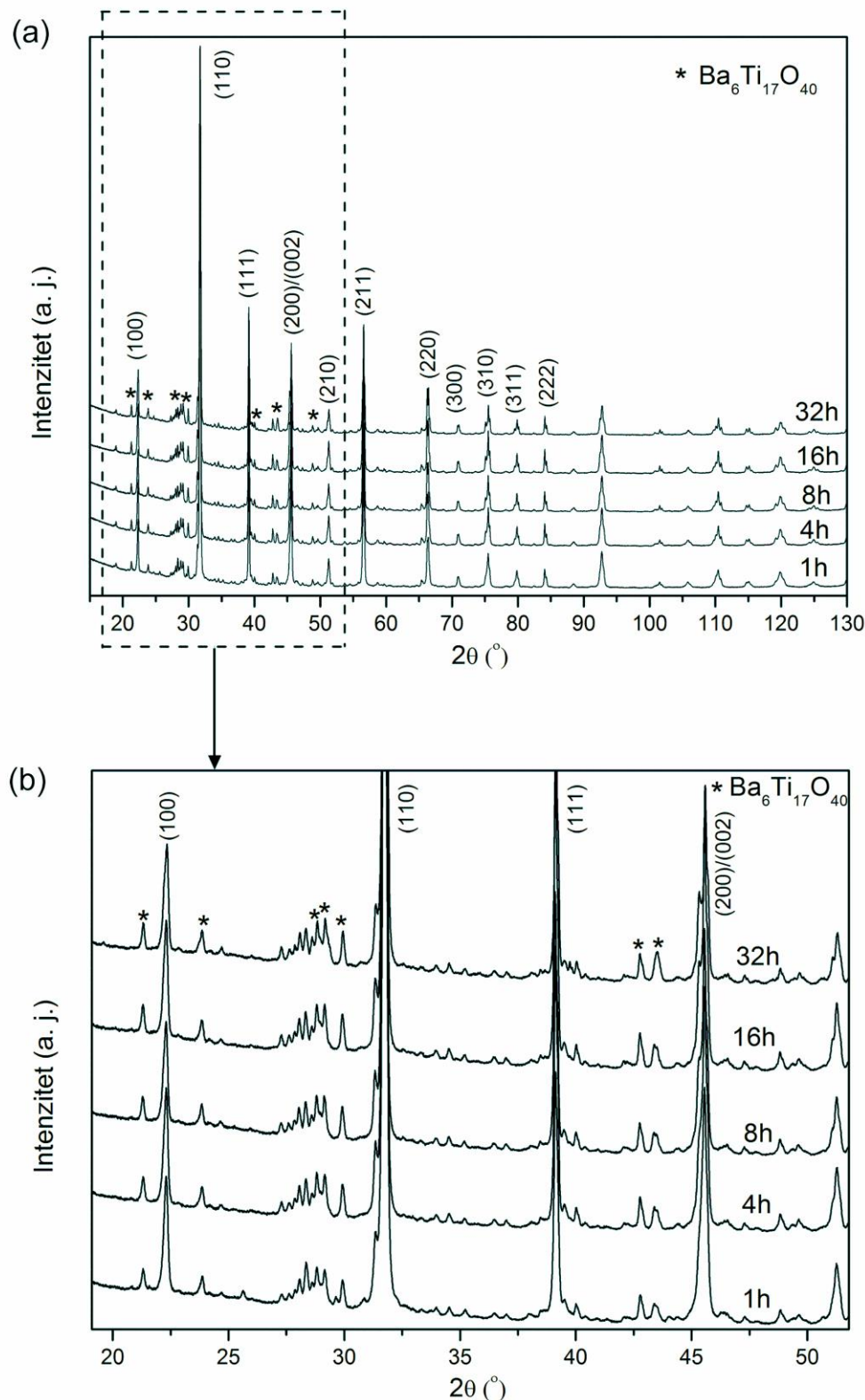
## **REZULTATI I DISKUSIJA**

---

rastvor (Ba, Sr)TiO<sub>3</sub> nastaje iz rastopa Ba<sub>6</sub>Ti<sub>17</sub>O<sub>40</sub> i BaSrTiO<sub>4</sub> na temperaturi od 1280 °C.

Metoda rendgenske difrakcije x-zračenja izvedena je u cilju prikupljanja podataka o evoluciji kristalnih faza prisutnih u uzorcima BST keramike dobijene od HT-700 prahova, tokom sinterovanja na 1280 °C pri različitim vremenima sinterovanja (1-32 h). Nastale promene tokom sinterovanja mogu se pratiti preko veličine kristalita, mikronaprezanja, parametara rešetke, dok je Ritveldovim utačnjavanjem moguće kvantifikovati relativni udeo (težinski) svih prisutnih faza.

Slika 5.15 predstavlja XRD spektre BST keramike sinterovane na 1280 °C pri različitim vremenima sinterovanja (1-32 h).



Slika 5.15. (a) XRD spektri BST uzoraka sinterovanih pri različitim vremenima sinterovanja, (b) Uvećan region u ugaonom intervalu od  $2\theta = 20 - 50^\circ$ .

Kvalitativnom analizom XRD spektara, uočeno je prisustvo perovskitne BST faze kao glavne faze u svim uzorcima. Položaji pikova BST faze označeni Milerovim

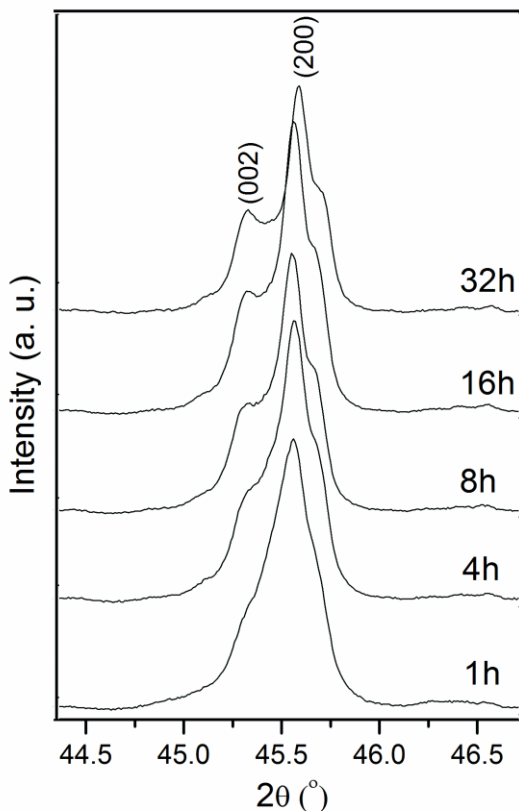
## REZULTATI I DISKUSIJA

---

indeksima, u dobroj meri se poklapaju sa tetragonalnom  $\text{Ba}_{0.77}\text{Sr}_{0.23}\text{TiO}_3$  fazom prostorne grupe P4mm, koja se nalazi u JCPDS bazi podataka pod rednim brojem 44-0093. Pored BST faze, uočava se prisustvo sekundarne faze u svim uzorcima. Položaji difrakcionih pikova obeleženih zvezdicom (sl. 5.15) odgovaraju polititanatnoj  $\text{Ba}_6\text{Ti}_{17}\text{O}_{40}$  (B6T17) fazi prostorne grupe A2/a, i poklapaju se sa refleksijama iz JCPDS kartice pod rednim brojem 35-0817. Prisustvo B6T17 faze u BST uzorcima nakon sinterovanja moglo se očekivati ako se uzmu u obzir ravnotežni fazni dijagrami BaO-TiO<sub>2</sub> sistema. Prethodno je Ramanovom spektroskopijom BST prahova od kojih je izrađena keramika, potvrđeno prisustvo male količine  $\text{BaTi}_2\text{O}_5$  faze, a prema faznom dijagramu koje su predstavili Kirbi (Kirby) i saradnici [139], na temperaturama iznad 1100 °C, dolazi do razlaganja  $\text{BaTi}_2\text{O}_5$  faze na B6T17 i  $\text{BaTiO}_3$ .

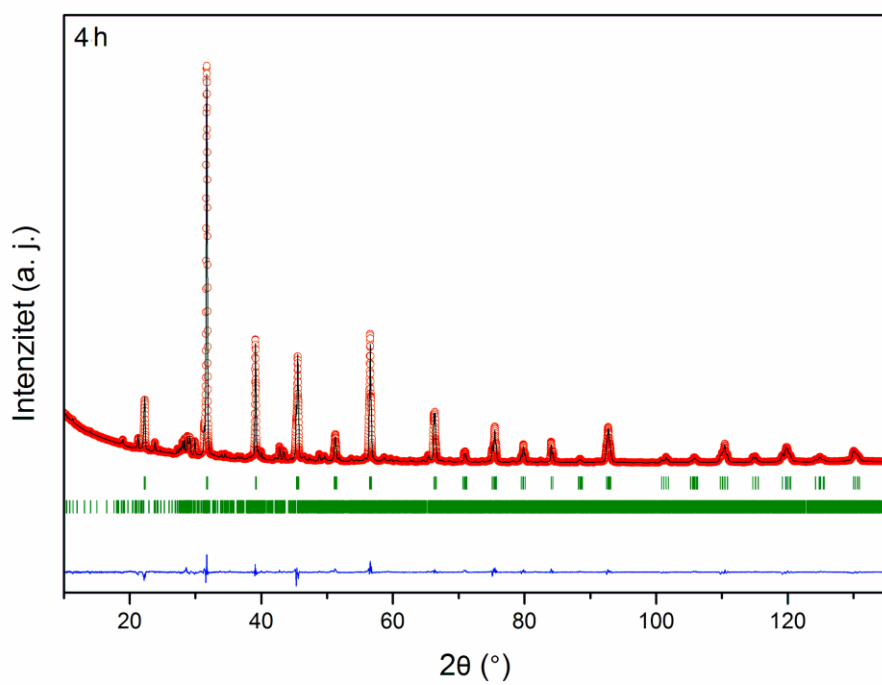
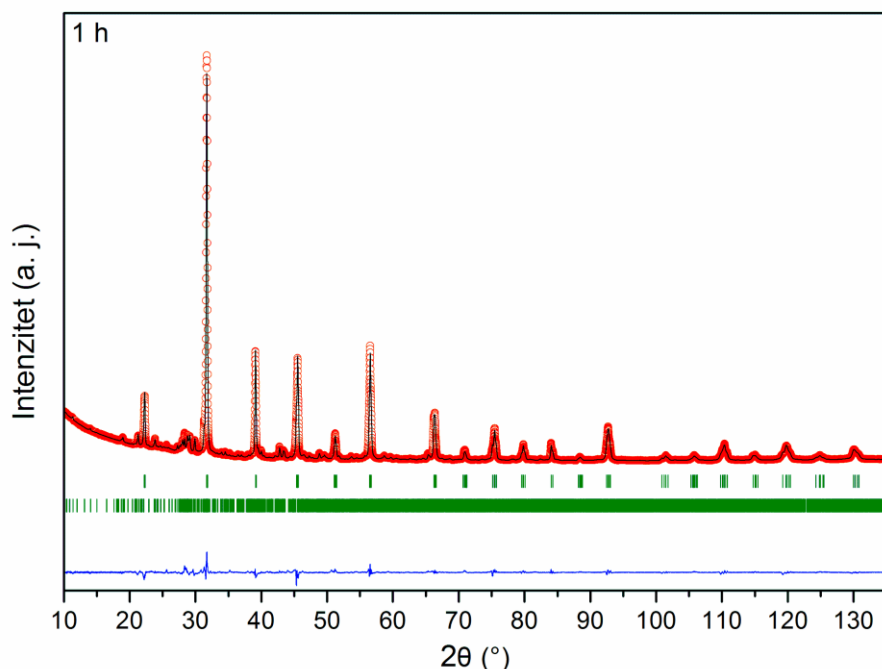
Na slici 5.15 (b) dat je uvećan region u ugaonom intervalu između  $2\theta = 20^\circ$  i  $50^\circ$  u kojoj se pojavljuju najintenzivniji pikovi B6T17 faze. Može se uočiti da sa porastom vremena sinterovanja, dolazi do blagog porasta intenziteta pikova koji odgovaraju B6T17 fazi, kao i do sistematskog pomeranja refleksija BST faze prema manjim uglovima  $2\theta$ .

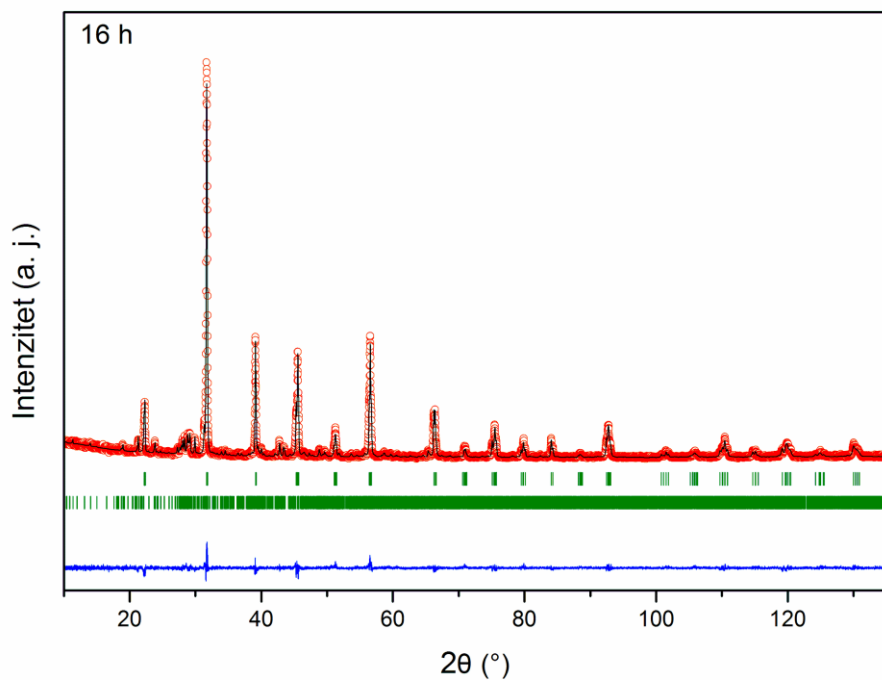
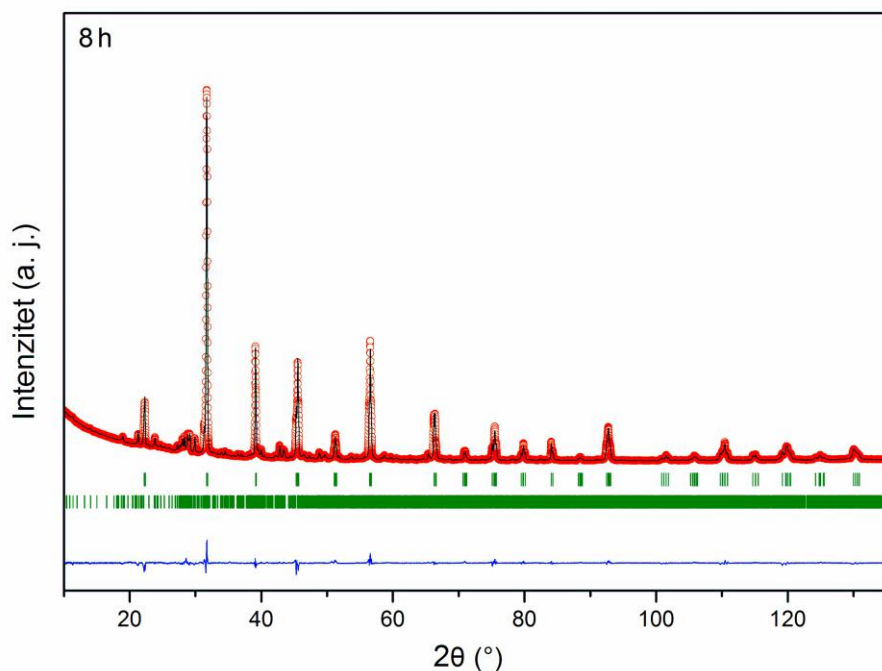
Kao što je poznato iz literature, simetrija kristalne rešetke najlakše se određuje u intervalu uglova  $2\theta$  između  $44^\circ$  i  $46^\circ$  u kojoj se pojavljuje refleksija sa ravni (002) i (200). Na osnovu XRD spektara sinterovanih uzoraka, praćeno je i razdvajanje (002) i (200), para refleksija, koje je karakteristično za BST u tetragonalnoj fazi. Slika 5.16, koja inače predstavlja evoluciju pika na položaju  $2\theta = 45.5^\circ$  tokom sinterovanja, ukazuje na njegovo postepeno širenje i razdvajanje na (002) i (200) refleksije. Sa povećanjem vremena sinterovanja, razdvajanje postaje jasno uočljivo. Cepanje (razdvajanje) (002) i (200) pikova je rezultat tetragonalne distorzije BST jedinične celije, i ukazuje na postojanje tetragonalne faze. S obzirom da tetagonalno razdvajanje pikova postaje izraženije u uzorcima sinterovanim sa dužim vremenom zadržavanja, može se zaključiti da duže vreme sinterovanja dovodi do povećanja tetragonalnosti BST uzorka.

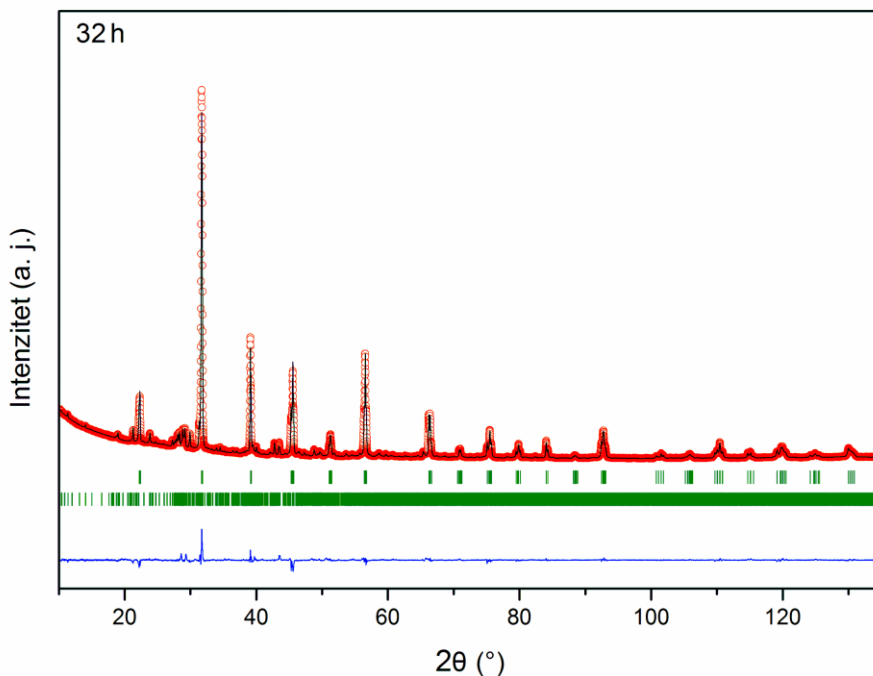


Slika 5.16. Evolucija (002) i (200) difrakcionih pikova BST keramike sa produžavanjem vremena sinterovanja na 1280 °C.

Ritveldovo utačnjavanje je izvedeno na XRD spektrima sinterovanih uzoraka u cilju kvantitativnog određivanja promena strukturnih parametara (parametara rešetke  $a$  i  $c$ , tetragonalnosti, položaji jona), mikrostrukturnih parametara (srednja veličina kristalita i mikronaprezanje), i stehiometrije povezane sa varijacijama u odnosu Ba/Sr, kao i određivanja količina BST i B6T17 faza prisutnih u keramici nakon sinterovanja. Dijagrami strukturnih utačnjavanja sinterovanih uzoraka upotrebom difrakcionih podataka prikazani su na sl. 5.17(a-e), dok su u tabeli 5.6 prikazani strukturni parametri sinterovanih uzoraka, dobijeni Ritveldovim utačnjavanjem.







Slika. 5.17. Dijagram strukturnog utačnjavanja difrakcionih podataka dobijenih snimanjem sinterovanih BST uzoraka. Oznake: (crveni kružići) – eksperimentalni podaci, (puna linija) – izračunati podaci, (plava linija) – razlika između eksperimentalnih i izračunatih podataka, i (crtice) – položaji Bragovih refleksija BST i B6T17 faza. JCPDS kartice pod rednim brojevima 44-0093 i 35-0817 su korišćene za indeksiranje BST i B6T17 faze, respektivno.

Izračunat sadržaj Ba u BST fazi u sinterovanim uzorcima raste sa porastom vremena sinterovanja i kreće se u intervalu od 0.69 do 0.79. Povećanje sadržaja Ba u BST fazi sa porastom vremena sinterovanja je u skladu sa pomeranjem refleksija prema manjim uglovima  $2\theta$ , (sl. 5.16), što je posledica supstitucije jona Sr [ $R(Sr^{2+}) = 118 \text{ pm}$ ] jonima većeg radijusa Ba [ $R(Ba^{2+}) = 135 \text{ pm}$ ] [6], a samim tim i povećanja  $d$  rastojanja. Stehiometrija, tj. odnos Ba/Sr, BST faze sinterovanih uzoraka, prvenstveno zavisi od odnosa Ba/Sr HT-700 prahova od kojih je izrađena keramika, a zatim i od lokalnog sastava rastopa koji se formira tokom sinterovanja uzorka na  $1280^\circ\text{C}$ . Kao što je već rečeno u poglavlju (5.1.2.1), odstupanje od inicijalne stehiometrije ( $\text{Ba} : \text{Sr} = 0.8 : 0.2$ ) u hidrotermalno pripremljenim BST prahovima, može se objasniti preferentnim ugrađivanjem jona Sr u strukturu BST [124]. Na taj način, prisustvo neizreagovalih Ba jona u rastvoru vodi do narušavanja stehiometrije, tj.  $(\text{Ba} + \text{Sr})/\text{Ti}$  odnosa, i do stvaranja sekundarnih faza bogatih barijumom. Dodatno,  $(\text{Ba}, \text{Sr})\text{TiO}_3$  čvrst rastvor se formira iz rastopa  $\text{Ba}_6\text{Ti}_{17}\text{O}_{40}$  i  $\text{BaSrTiO}_4$ , tako da Ba/Sr odnos u  $(\text{Ba}, \text{Sr})\text{TiO}_3$  keramici zavisi i od lokalnog sastava rastopa [142].

## REZULTATI I DISKUSIJA

---

Ritveldovim utačnjavanjem pokazano je da se strukturni parametri jedinične celije ( $a$ ,  $c$ ), kao i tetragonalnost izražena kao odnos ( $c/a$ ) postepeno menjaju sa porastom vremena sinterovanja. Povećanje vremena sinterovanja dovodi do porasta veličine kristalita i njihovog srastanja u krupnija zrna i smanjenja mikronaprezanja unutar kristalita i do povećanja parametra rešetke  $c$  i tetragonalnosti BST faze u sinterovanim uzorcima. Povećanje tetragonalnosti u dobroj je saglasnosti sa razdvajanjem (002) i (200) difrakcionog pika BST faze koje je primećeno u XRD spektrima sinterovanih uzoraka (sl. 5.16). Razdvajanje pikova postaje izraženije sa porastom vremena sinterovanja, tj. sa porastom udela Ba u BST fazi. Strukturni parametri kao što su kristalna simetrija i tetragonalnost određuju dielektrična i feroelektrična svojstva BST keramike. Zu (Zhu) i saradnici [143] su došli do zaključka da tetragonalni  $\text{BaTiO}_3$  prahovi imaju bolju sinterabilnost i veću dielektričnu konstantu u odnosu na prahove kubne simetrije. Što se tiče feroelektričnih svojstava BST, isključivo keramika izrađena od prahova u tetragonalnoj simetriji ima feroelektrični odziv. Zao (Zhao) i saradnici [144] potvrdili su da niža vrednost tetragonalnosti dovodi do smanjenja spontane polarizacije, snižavanja vrednosti dielektrične konstante i Kirijeve temperature.

Kvantitativnom faznom analizom potvrđeno je da sinterovani uzorci sadrže ( $\text{Ba}, \text{Sr}\text{TiO}_3$  kao glavnu fazu i B6T17 kao sekundarnu fazu. Porastom vremena sinterovanja, količina sekundarne B6T17 faze u uzorcima povećava se od 27.3% do 32.6%.

Tabela 5.6. Strukturni parametri BST faze sinterovanih uzoraka dobijeni nakon strukturnog utačnjavanja upotrebom XRD podataka snimljenih na sobnoj temperaturi.

Uzorak	atom	$x$	$y$	$z$	N	D (nm)	Mikronaprezanje	$W_t(\%)$	$R_p$
1h	<i>tetragonalna faza <math>a = b = 3.97937(3) \text{ \AA}</math>, <math>c = 3.99656(4) \text{ \AA}</math>, <math>c/a = 1.00432</math></i>								
	Ba	0	0	0	0.69(5)				
	Sr	0	0	0	0.31(5)				
	Ti	0.5	0.5	0.48	1	111.1(7)	0.089(7)	72.7(2)	3.20
	O	0.5	0.5	0.03	1				
	O	0.5	0	0.53	1				
4 h	<i>tetragonalna faza <math>a = b = 3.97877(2) \text{ \AA}</math>, <math>c = 3.99819(3) \text{ \AA}</math>, <math>c/a = 1.00488</math></i>								
	Ba	0	0	0	0.70(5)				
	Sr	0	0	0	0.30(5)				
	Ti	0.5	0.5	0.48	1	158.6(11)	0.073(5)	70.6(2)	3.26
	O	0.5	0.5	0.01	1				
	O	0.5	0	0.53	1				

---

8 h	<i>tetragonalna faza a = b = 3.97829(2) Å, c = 3.99832(3) Å, c/a = 1.00503</i>							
	Ba	0	0	0	0.72(5)			
	Sr	0	0	0	0.28(5)			
	Ti	0.5	0.5	0.48	1	179.2(13)	0.070(4)	71.5(2) 3.19
	O	0.5	0.5	0.01	1			
	O	0.5	0	0.53	1			
16h	<i>tetragonalna faza a = b = 3.97833(2) Å, c = 3.99836(3) Å, c/a = 1.00504</i>							
	Ba	0	0	0	0.73(5)			
	Sr	0	0	0	0.27(5)			
	Ti	0.5	0.5	0.48	1	186.0(15)	0.065(4)	69.5(2) 3.17
	O	0.5	0.5	0.01	1			
	O	0.5	0	0.53	1			
32 h	<i>tetragonalna faza a = b = 3.97791(2) Å, c = 3.99953(3) Å, c/a = 1.00543</i>							
	Ba	0	0	0	0.79(6)			
	Sr	0	0	0	0.21(6)			
	Ti	0.5	0.5	0.48	1	179.9(15)	0.061(5)	67.4(2) 3.08
	O	0.5	0.5	0.03	1			
	O	0.5	0	0.52	1			

---

Wt – težinski udeo prisutnih faza

D – veličina kristalita

N – faktor okupacije položaja

Rp – faktor koji kvantificuje kvalitet utačnjene strukture

Rezultati strukturnog utačnjavanja difrakcionih podataka sinterovanih uzoraka, pokazuju da se stehiometrija BST faze približava nominalnom sastavu ( $\text{Ba} : \text{Sr} = 0.8 : 0.2$ ), kao i da dolazi do porasta srednje veličine kristalita, tetragonalnosti ( $c/a$ ) i udela sekundarne faze sa produžavanjem vremena sinterovanja.

### 5.2.2 Promena gustine uzorka sa porastom vremena sinterovanja

Geometrijske gustine ( $\rho_{geom.}$ ), sinterovanih uzoraka dobijene merenjem mase i zapremine uzorka imaju relativno malu vrednost, kreću se od  $4.78 \text{ g/cm}^3$  za uzorak sinterovan 1 h do  $4.98 \text{ g/cm}^3$  za uzorak sinterovan 16 h. Dalje povećanje vremena sinterovanja (32 h) dovodi do smanjenja gustine ( $4.50 \text{ g/cm}^3$ ). Teorijske gustine sinterovanih uzoraka izračunate su koristeći pravilo smeše tj. uzimajući u obzir stehiometriju glavne faze (BST) kao i fazni sastav (BST : B6T17) uzorka dobijen na osnovu Ritveldovog utačnjavanja XRD podataka. Na osnovu toga, izračunate relativne vrednosti gustine uzorka (%  $\rho_t$ ) date su u tabeli 5.7.

$\rho_t$  predstavlja relativnu vrednost gustine uzoraka, dobijenu kao odnos  $\rho_{geom.}/\rho_{t(BST + B6T17)}$ .  $\rho_{geom.}$  predstavlja eksperimentalno dobijenu gustinu uzorka, izračunatu kao odnos mase i zapremine uzorka.

$\rho_{t(BST)}$  predstavlja vrednost teorijske gustine sinterovanih uzoraka ako se uzme u obzir stehiometrija, tj., odnos Ba : Sr u uzorcima dobijen Ritveldovim utačnjavanjem.

$\rho_{t(BST + B6T17)}$  predstavlja vrednost teorijske gustine, uzimajući u obzir stehiometriju i fazni sastav u sinterovanim uzorcima dobijenim na osnovu Ritveldovog utačnjavanja.

Tabela 5.7. Vrednosti gustine uzorka izračunate uzimajući u obzir stehiometriju i fazni sastav dobijen Ritveldovim utačnjavanjem XRD podataka.

Uzorak	$\rho_{t(BST)}$ (g/cm <sup>3</sup> )	$\rho_{t(BST + B6T17)}$ (g/cm <sup>3</sup> )	$\rho_{geom.}$ (g/cm <sup>3</sup> )	% $\rho_t$
1 h	5.75	5.49	4.78	86.97
4 h	5.78	5.49	4.79	87.13
8 h	5.75	5.46	4.90	89.70
16 h	5.77	5.48	4.98	92.92
32 h	5.82	5.56	4.50	80.96

Vrednosti gustine sinterovanih uzorka su relativno niske i kreću se u intervalu od 80.96 do 92.92%. Prisustvo B6T17 sekundarne faze uslovljava topljenje uzorka na temperaturama iznad 1280 °C, i na taj način onemogućava sinterovanje na višim temperaturama koje je neophodno za dobijanje keramike velikih gustina.

### **5.2.3 Uticaj vremena sinterovanja na mikrostrukturu sinterovanih uzorka**

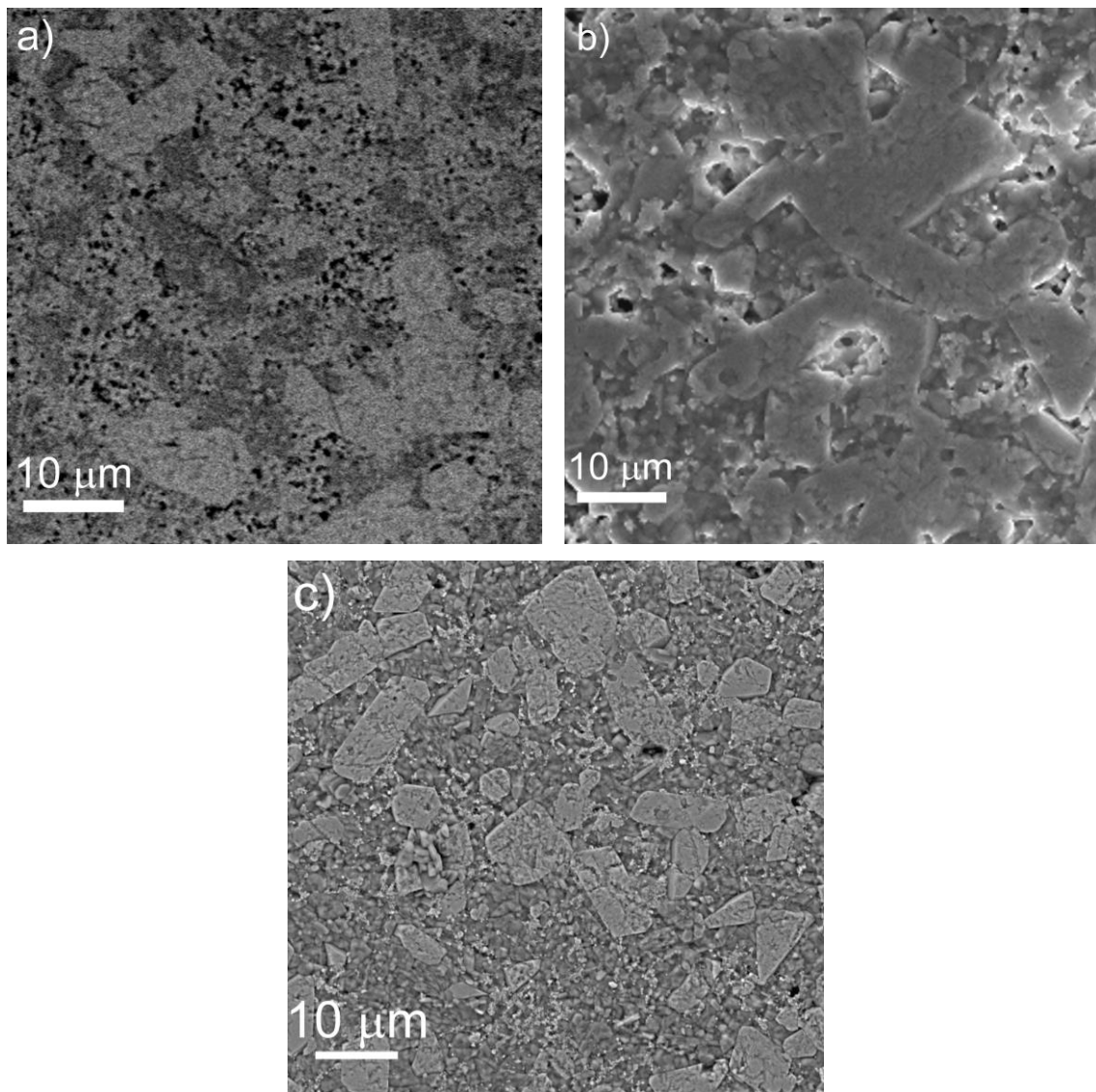
Poznato je da morfologija i mikrostruktura tj. veličina zrna i gustina zavise od faznog sastava sinterovanih uzorka. Kako je Ritveldovom analizom pokazano da porastom vremena sinterovanja dolazi do povećanja udela sekundarne B6T17 faze, od interesa je ispitati kako vreme sinterovanja i prisustvo ove polititanatne faze utiču na mikrostrukturu sinterovanih uzorka.

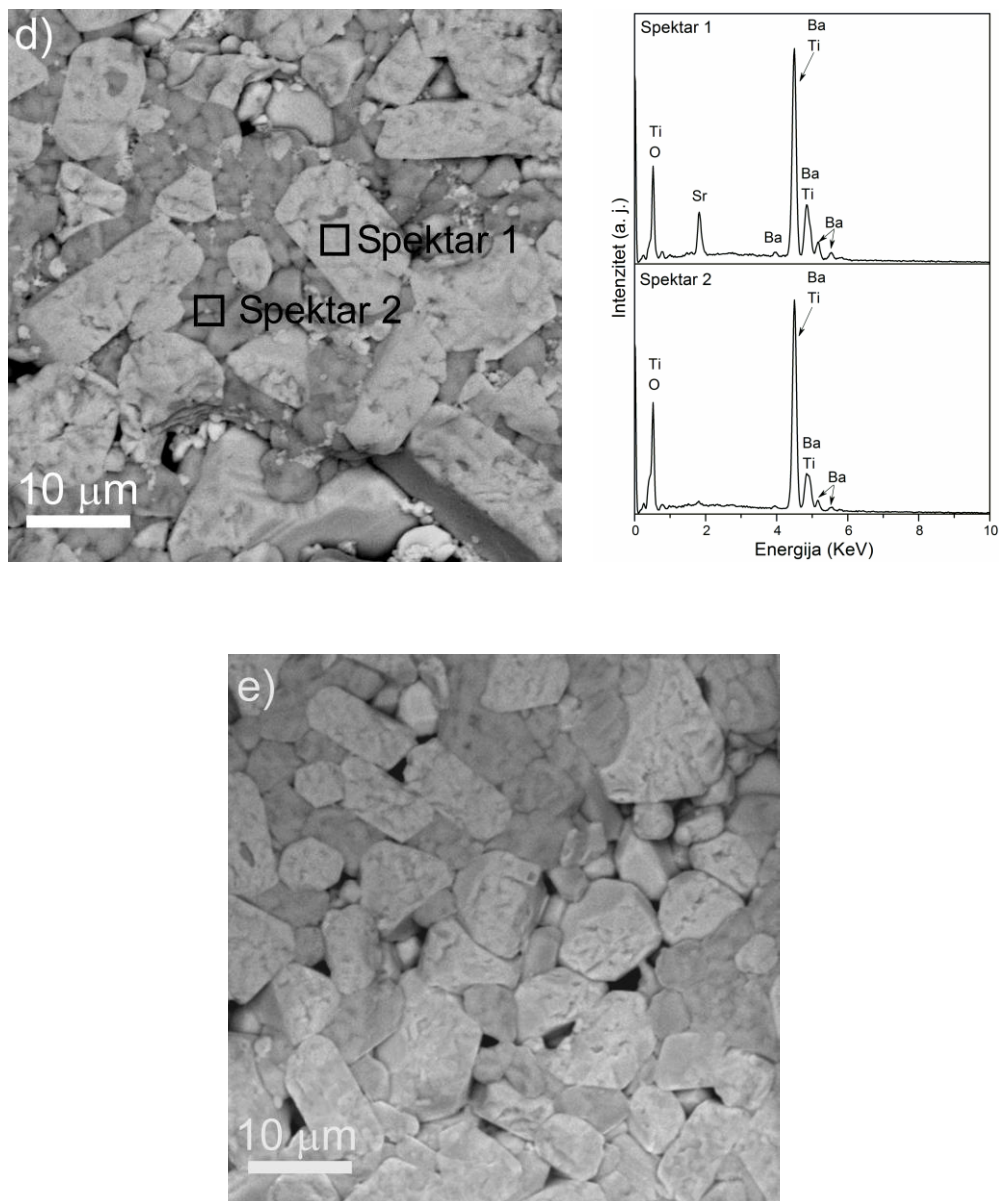
Iz literature je poznato da prisustvo polititanatne Ba<sub>6</sub>Ti<sub>17</sub>O<sub>40</sub> faze ima veliki uticaj na mikrostrukturu BaTiO<sub>3</sub> i (Ba, Sr)TiO<sub>3</sub> keramike. Kada se BaTiO<sub>3</sub> sinteruje na temperaturama nižim od BaTiO<sub>3</sub> - Ba<sub>6</sub>Ti<sub>17</sub>O<sub>40</sub> eutektičke tačke na ~ 1332 °C, dolazi do

## REZULTATI I DISKUSIJA

abnormalnog rasta zrna uz formiranje izduženih zrna BaTiO<sub>3</sub>. Rioš (Rios) [145], Lin (Lin) [146], Jung (Yung) i saradnici [147] su pokazali da se izdužena BaTiO<sub>3</sub> zrna formiraju isključivo kada se nalaze okruženi Ba<sub>6</sub>Ti<sub>17</sub>O<sub>40</sub> sekundarnom fazom. B. Ki Lee i saradnici [141], istraživali su abnormalni rast zrna i potrebne uslove za formiranje "združenih zrna – tzv. blizanaca" (eng. twinned) u (Ba, Sr)TiO<sub>3</sub> uzorcima sinterovanim na temperaturi od 1250 °C. Autori su zaključili da se izdužena zrna formiraju samo kada (Ba, Sr)TiO<sub>3</sub> zrna rastu okružena Ba<sub>6</sub>Ti<sub>17</sub>O<sub>40</sub> sekundarnom fazom.

Promene u mikrostrukturi sinterovanih uzoraka na temperaturi od 1280 °C pri različitim vremenima sinterovanja (1-32 h) praćene su metodom skenirajuće elektronske mikroskopije. Uzorci su polirani i termički nagriženi na temperaturi od 1200 °C. Na slici 5.18 predstavljene su SEM mikrografije sinterovanih uzoraka.





Slika 5.18. SEM mikrografije poliranih i termički nagriženih uzoraka (a) 1 h, (b) 4 h (SE); (c) 8 h, (d) 16 h i EDS spektar odabranih površina; (e) 32h (BSE).

Kao što se može očekivati, sa povećanjem vremena sinterovanja dolazi do rasta zrna u keramici. U uzorcima sinterovanim na vremenima dužim od 4 h, dolazi do pojave veoma izduženih zrna koji se nalaze u matriksu manjih zrna. Gustina dobijenih keramika je relativno niska, kreće se u intervalu od 86.97% (za prah sinterovan 1 h) do 92.92% (za prah sinterovan 16 h). Na osnovu dobijenih mikrografija veoma je teško precizno odrediti prosečnu veličinu zrna, ali je moguće izvršiti grubu procenu veličine zrna. Uzorci sinterovani duže od 4 h, sadrže izdužena zrna čija veličina se kreće od oko 10-20 μm, koji su formirani u matriksu sitnijih zrna. Slične mikrostrukture keramičkih

## REZULTATI I DISKUSIJA

---

uzoraka BST su u svojim radovima dobili Zumčak (Szumchak) [33], Razak (Razak) i saradnici [35]. Treba obratiti pažnju na činjenicu da sinterovanje u trajanju od 32 h dovodi do znatnog smanjenja gustine (80.96%), i značajnog porasta zrna sekundarne faze.

Slika 5.18(d) predstavlja mikrostrukturu uzorka sinterovanog 16 h, dobijenu korišćenjem “backscatter” (BS) geometrije, pomoću koje se uočavaju tamnije i svetlige oblasti na mikrografiji. Tamnije i svetlige sive oblasti na mikrografiji ukazuju na prisustvo elemenata sa različitim atomskim brojem. EDS analiza je uradena na svim uzorcima, a kao ilustracija dobijenih rezultata, prikazani su EDS spektri selektovanih površina mikrografije uzorka sinterovanog 16 h. Na *spektru 2* koji odgovara tamno sivoj površini mikrografije, vidi se da intenzitet signala koji potiče od Sr dramatično opada. Sadržaji pojedinačnih elemenata koji odgovaraju tamnoj i svetloj površini na mikrografiji, izračunati su na osnovu spektara 1 i 2, predstavljeni su u tabeli 5.8. Na osnovu raspodele elemenata tj. sastava u pojedinačnim zrnima, potvrđuje se da sinterovani uzorci imaju dvo-faznu strukturu. Atomski sastav (%) zrna koja su na mikrografiji predstavljena svetlo sivom bojom (Spektar 1) odgovara  $Ba_{0.76}Sr_{0.24}TiO_3$  fazi, dok sastav tamno sivih površina na mikrografiji (Spektar 2) odgovara  $Ba_6Ti_{17}O_{40}$  fazi.

Tabela 5.8. Atomski procenti Ba, Sr, Ti i O selektovanih zrna, dobijeni EDS analizom uzorka sinterovanog 16 h.

	<b>Ba (at%)</b>	<b>Sr (at%)</b>	<b>Ti (at%)</b>	<b>O (at%)</b>	<b>Sastav</b>
Spektar 1	15.3	4.9	19.9	59.9	$Ba_{0.76}Sr_{0.24}TiO_3$
Spektar 2	10		26.7	63.3	$Ba_6Ti_{17}O_{40}$

Fazni sastav dobijen EDS analizom, saglasan je sa rezultatima dobijenim Ritveldovim utačnjavanjem difrakcionih podataka.

### 5.2.4 Uticaj vremena sinterovanja na dielektrična i feroelektrična svojstva sinterovanih uzoraka

#### *Dielektrična svojstva BST keramike*

Poznato je da feroelektrična svojstva BST koja su važna za njegovu praktičnu primenu strogo zavise od odnosa Ba i Sr jona u sistemu. Istraživanjima feroelektričnih karakteristika čvrstih rastvora  $Ba_xSr_{1-x}TiO_3$  pokazano je da samo ukoliko je  $x \geq 0.7$ , materijal ima feroelektrični odziv. Temperatura faznog prelaza tj. Kirijeva temperatura čistog  $BaTiO_3$  iznosi  $120^{\circ}\text{C}$ , i linearno opada sa porastom udela Sr u sistemu. Takođe, poznato je i da je  $(\text{Ba}, \text{Sr})TiO_3$  sistem nestabilan na visokim temperaturama, i da ravnotežni sastav strogo zavisi od odnosa pojedinih jona u sistemu. Veoma mala odstupanja u stehiometriji dovode do formiranja sekundarnih faza koje posebno dolazi do izražaja na visokim temperaturama, tj. pri temperaturama na kojima se odvija proces sinterovanja.

Uprkos velikom broju publikacija koje razmatraju dielektrična i feroelektrična svojstva čvrstih rastvora BST, samo mali broj radova je posvećen uticaju sekundarnih faza koje nastaju tokom procesa sinterovanja, na dielektrična i feroelektrična svojstva keramike. Li (B.K. Lee) i saradnici [141] su proučavali uticaj sekundarnih faza, prevenstveno  $Ba_6Ti_{17}O_{40}$  i  $Ba_4Ti_{13}O_{30}$  na mikrostrukturu BST keramike, ali bez razmatranja njihovog uticaja na dielektrična i feroelektrična svojstva. Li (J.K. Lee) i saradnici [148] su proučavali dielektrična svojstva  $BaTiO_3$  keramike u funkciji odnosa Ba/Ti, i došli do zaključka da BT keramika sa viškom Ti pokazuje abnormalni rast zrna i smanjenje dielektrične konstante, dok su feroelektrična svojstva veoma slična stehiometrijskoj  $BaTiO_3$  keramici.

U cilju praćenja uticaja B6T17 sekundarne faze na dielektrična i feroelektrična svojstva BST keramike, neophodno je reći da je B6T17 ne-feroelektrična faza, male dielektrične konstante i malih dielektričnih gubitaka ( $\epsilon = 59$ ,  $\tan \delta = 0.15\%$ ) [149]. Ksu (Xu) i saradnici su pratili uticaj B6T17 sekundarne faze na dielektrična svojstva  $BaTiO_3$  keramike dopirane Nb, i došli do zaključka da prisustvo sekundarne faze favorizuje abnormalni rast zrna i utiče na snižavanje vrednosti dielektrične konstante [149].

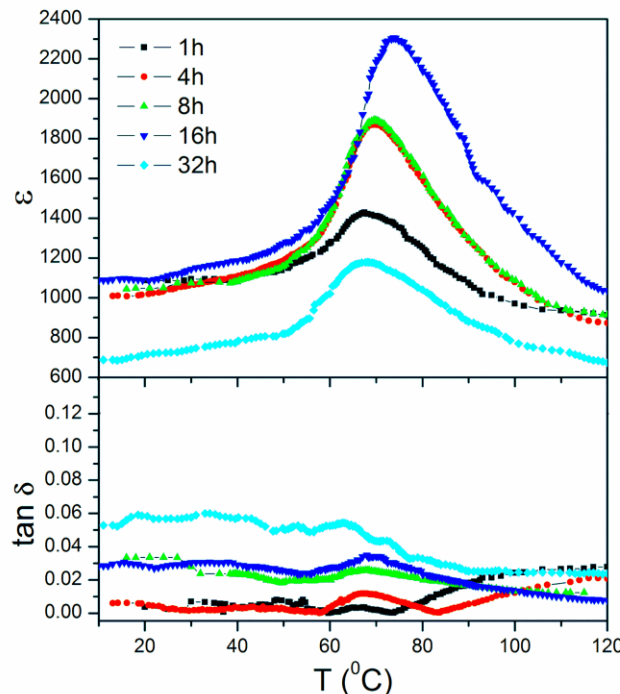
Temperaturna zavisnost dielektrične konstante ( $\epsilon$ ) i dielektričnih gubitaka ( $\tan \delta$ ) svih sinterovanih uzoraka izmerena na  $1 \text{ MHz}$ , prikazana je na sl 5.19. Sa porastom

## **REZULTATI I DISKUSIJA**

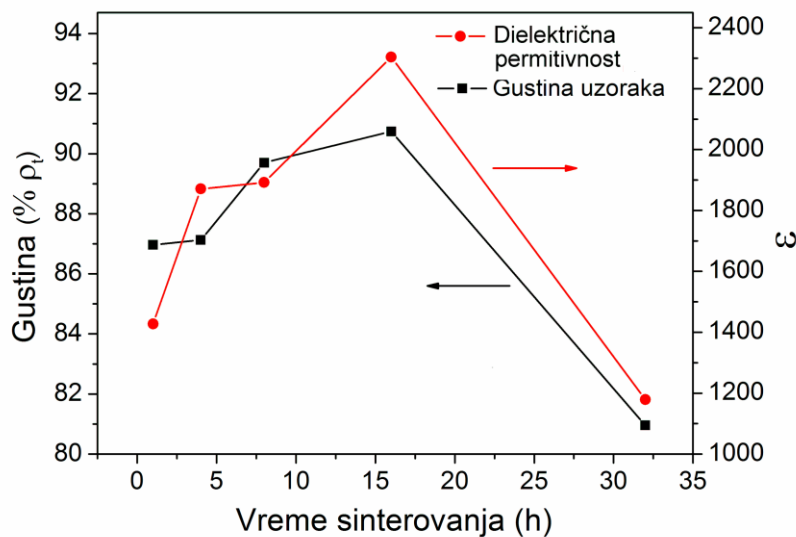
---

temperature dolazi do rasta dielektrične permitivnosti koja dostiže maksimum i potom počinje da opada sa daljim povišenjem temperature (sl. 5.19). Temperatura maksima predstavlja Kirijevu temperaturu, odnosno temperaturu fazne transformacije između tetragonalne i kubne strukture. Svi uzorci pokazuju širok pik dielektrične permitivnosti koji ukazuje na difuzni fazni prelaz. Difuzni fazni prelaz nastaje usled nehomogenog hemijskog sastava u različitim regionima u uzorku. U sinterovanim uzorcima feroelektrični regioni BST faze koegzistiraju sa neferoelektričnim regionima koji su sačinjeni od B6T17 faze. Mikrostrukturna nehomogenost u uzorcima rezultuje u distribuciji dielektričnih i feroelektričnih osobina [144].

Primećeno je da dielektrična konstanta raste od 1400 do 2300 sa povećanjem vremena sinterovanja (1-16 h), i može biti uslovljena povećanjem gustine sinterovanih uzoraka, sl. 5.20. Dielektrični gubici uzoraka sinterovanih do 16 h, su između 0.1% i 4%. Na osnovu grafika, očigledno je da uzorci sinterovani 32 h, imaju najnižu vrednost dielektrične konstante i najvišu vrednost dielektričnih gubitaka. Na osnovu dobijenih vrednosti dielektrične konstante, može se zaključiti da povećanje gustine sinterovanih uzoraka uslovljava povećanje vrednosti dielektrične konstante (1-16 h), sl. 5.20. Izmerene vrednosti dielektrične konstante su poređive sa vrednostima koje su u svojim radovima dobili Razak i saradnici [150], u slučaju  $Ba_{0.8}Sr_{0.2}TiO_3$  keramike dobijene hidrotermalnom metodom. Takođe može se uočiti da se Kirijeva temperatura pomera ka višim vrednostima sa porastom vremena sinterovanja. Porast vrednosti Kirijeve temperature može se objasniti ako se uzmu u obzir rezultati Ritveldovog utačnjavanja difrakcionih podataka prema kojima sa porastom vremena sinterovanja raste i udio Ba u BST fazi. Poznato je da Kirijeva temperatura u BST sistemu raste sa porastom udela Ba, i da u slučaju čistog  $BaTiO_3$  iznosi 120 °C.



Slika 5.19. Dielektrična konstanta i tangens gubitaka u zavisnosti od temperature za sve sinterovane uzorke.



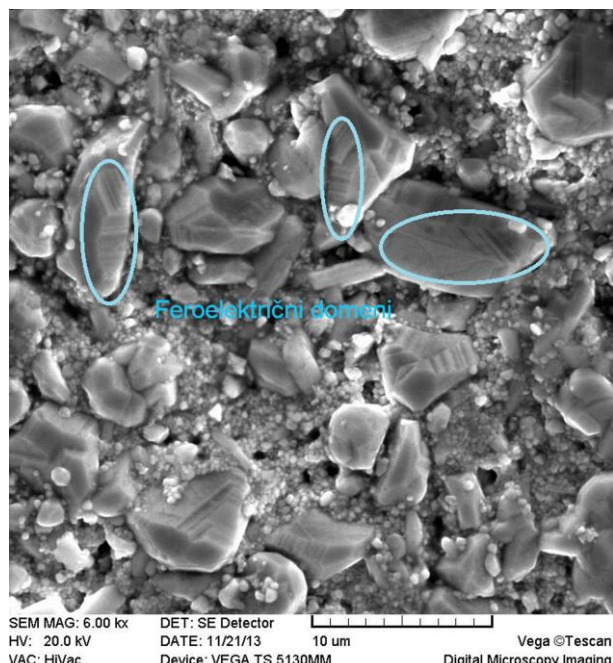
Slika 5.20. Promena gustine i dielektrične konstante sa vremenom sinterovanja.

### Feroelektrična svojstva BST keramike

Jedna od osnovnih karakteristika feroelektričnih materijala je nelinearna zavisnost polarizacije od električnog polja, što dovodi do pojave histerezisa u naizmeničnom električnom polju. Na osnovu dobijenih histerezisnih petlji ispitivanih feroelektrika mogu se objasniti domenski procesi koji se odvijaju tokom polarizacije.

## REZULTATI I DISKUSIJA

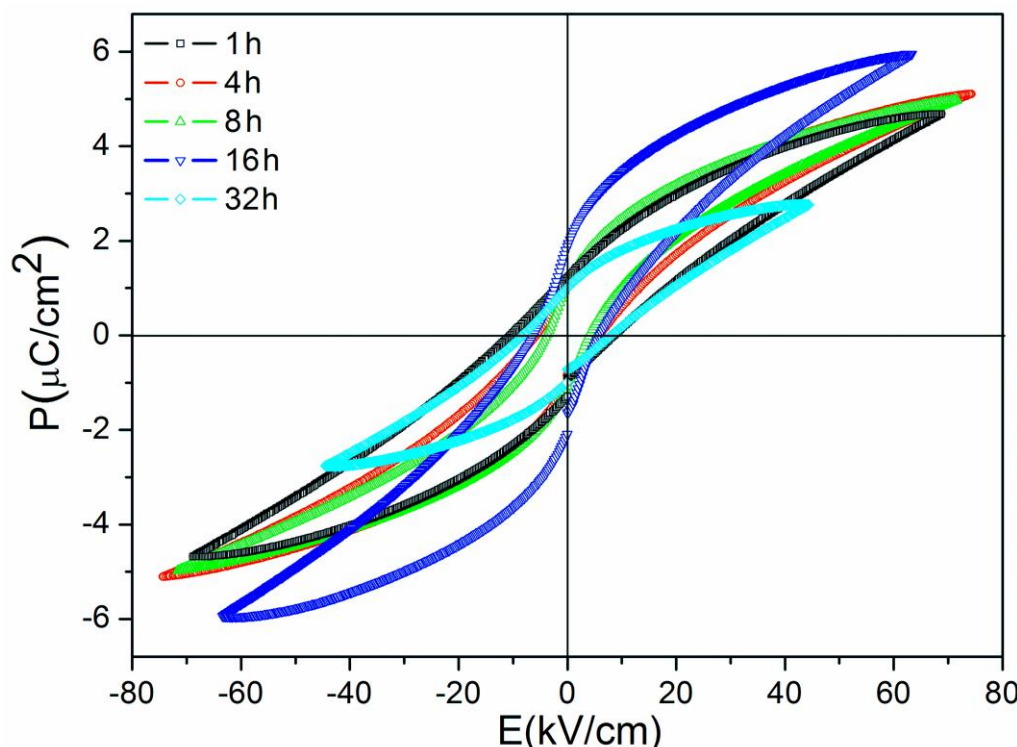
Feroelektricitet u keramičkim materijalima je povezan sa domenskom strukturom i kretanjima domena. Kada se BaTiO<sub>3</sub> hladi ispod temperature faznog prelaza (120 °C), dešava se prelaz iz kubne (paraelektrične) u tetragonalnu (feroelektričnu) fazu. Usled faznog prelaza dolazi do naprezanja u materijalu i malog povećanja zapremine jedinične čelije. S obzirom da je veličina zrna u keramici ograničena, povećanje zapremine jedinične čelije dovodi do unutrašnjih naprezanja u materijalu, stresovi se minimiziraju formiranjem feroelektričnih domena [151]. Postoje dve vrste domenske strukture: lamelarna (i „ribljia kost“) struktura koja predstavlja 90° domene, i struktura „vodenog žiga“ gde talasaste strukture predstavljaju 180° domene. 180° domeni se formiraju u cilju minimizacije elektrostaticke energije, dok 90° domeni kompenzuju elastičnu energiju [152]. Stoga, tetragonalna distorzija jedinične čelije BaTiO<sub>3</sub> ispod temperature faznog prelaza je kompenzovana formiranjem 90° domena. 90° i 180° domeni su tipična domenska konfiguracija BaTiO<sub>3</sub> keramike u tetragonalnoj simetriji [153][154][155]. SEM mikrografija prelomne površine uzorka sinterovanog 16 h je prikazana na sl. 5.21, na kojoj se jasno vidi domenska struktura.



Slika 5.21. Prisustvo domenske strukture na mikrografiji slobodnog preloma uzorka sinterovanog 16 h.

Nakon dielektričnih merenja, u cilju određivanja feroelektričnih svojstava urađena su feroelektrična merenja metodom histerezisne petlje. Slika 5.22. prikazuje  $P(E)$  histerezisnu krivu izmerenu na svim uzorcima, merenih na sobnoj temperaturi, dok

tabela 5.9 prikazuje vrednosti izmerene remanentne polarizacije i koercitivnog polja. Važno je napomenuti da kod uzoraka sinterovanih 32 h dolazi do proboga pri jačini polja većoj od 50 kV/cm. Svi sinterovani uzorci poseduju tipičnu fereoelektričnu polarizaciju. Odgovarajuće vrednosti remanentne polarizacije ( $P_r$ ) i koercitivnog polja ( $E_c$ ) prikazane su u tabeli. Na osnovu dobijenih rezultata vrednosti polarizacije, zaključuje se da uzorci sinterovani 16 h, imaju najveću vrednost polarizacije od  $2 \mu\text{C}/\text{cm}^2$ . Može se zaključiti da najviša vrednost polarizacije u uzorku sinterovanom 16 h, je povezana sa najvećom gustinom nakon sinterovanja (93%  $\rho_t$ ). Vrednost polarizacije uzorka sinterovanog 32 h je najniža i u skladu je sa najnižom gustom.



Slika 5.22.  $P(E)$  histerezisne krive svih uzoraka merene na sobnoj temperaturi.

Tabela. 5.9. Vrednosti  $P_r$  i  $E_c$  sinterovanih uzoraka.

Uzorak	$P_r$ ( $\mu\text{C}/\text{cm}^2$ )	$E_c$ (kV/cm)
<b>1 h</b>	1.2	9
<b>4 h</b>	1.1	6.1
<b>8 h</b>	1.1	4.3
<b>16 h</b>	2.0	6.1
<b>32 h</b>	1.0	8.1

## **REZULTATI I DISKUSIJA**

---

S obzirom da je B6T17 faza ne-feroelektrična i da njen sadržaj u sinterovanim uzorcima iznosi  $\sim 30\%$ , može se zaključiti da njeno prisustvo svakako utiče na smanjenje vrednosti remanentne polarizacije. Eksperimentalno dobijene vrednosti  $P_r$  su generalno niže od vrednosti koje su dobijali Ju (Yu) i saradnici ( $P_r \sim 10 \text{ } \mu\text{C}/\text{cm}^2$ ) [156], Jun (Yun) ( $P_r \sim 6 \text{ } \mu\text{C}/\text{cm}^2$ ) [157], Ungria (Hungria) ( $P_r \sim 5 \text{ } \mu\text{C}/\text{cm}^2$ ) [158] u slučaju čiste BST keramike, ali poredivi sa vrednostima koje su u svojim radovima dobili Kim (Kim) [159], Sindu (Sindhu) [160], i Fu (Fu) i saradnici [161].

## **6 Zaključak**

Ova doktorska disertacija obuhvata rad na sintezi i karakterizaciji barijum-stroncijum-titanata, koristeći metode sinteze različitog koncepta: hidrotermalnu sintezu i sintezu metodom kompleksne polimerizacije. Težište istraživanja je na novom načinu sinteze BST prahova koji kombinuje metodu kompleksne polimerizacije i hidrotermalni tretman. S obzirom da je hidrotermalni tretman prekursorskih rastvora dobijenih metodom kompleksne polimerizacije nov način sinteze BST, od interesa je ispitati strukturne i mikrostrukturne karakteristike prahova, kao i dielektrična i feroelektrična svojstva BST keramike.

Prekursorski rastvor BST pripremljen je metodom kompleksne polimerizacije, polazeći od rastvora titan-citrata, barijum- i stroncijum-acetata. Prekursorski rastvor BST, smešten u reakcioni sud autoklava je tretiran hidrotermalno na temperaturi od 225 °C, pritisku od 6.8 MPa, i vremenu trajanja reakcije od 5 h. U cilju ispitivanja uticaja hidrotermalnog tretmana kao nove metode sinteze na fazni sastav, strukturna i mikrostrukturna svojstva, BST prah je sintetisan i klasičnom metodom kompleksne polimerizacije. Tako sintetisani prekursorski prahovi kalcinisani su u temperaturnom intervalu od 500-800 °C u cilju praćenja fazne evolucije tokom kristalizacije prahova. Ispitivan je fazni sastav, kao i strukturne i mikrostrukturne karakteristike prahova dobijenih korišćenjem oba načina sinteze. Rezultati rendgenske difrakcije i Ramanove spektroskopije prahova dobijenih hidrotermalnim postupkom, pokazali su kompletну kristalizaciju čistog tetragonalnog BST praha kalcinisanog na 700 °C, koji kao takav je pogodan za izradu keramike. Ritveldovim utačnjavanjem difrakcionih podataka pokazano je da hidrotermalno dobijen prah ima tetragonalnu strukturu, stehiometrijskog sastava  $Ba_{0.67}Sr_{0.33}TiO_3$ , kao i da nema prisustva sekundarnih i karbonatnih faza. Prah dobijen metodom kompleksne polimerizacije i nakon kalcinacije sadrži zнатне količine karbonatne faze. Morfologija prahova i mikrostruktura analizirane su skanirajućom i transmisionom elektronskom mikroskopijom. Mikrografije dobijene skanirajućom elektronskom mikroskopijom ukazuju na znatnu razliku u morfologiji i veličini čestica između prahova dobijenih hidrotermalnim postupkom i metodom kompleksne polimerizacije. Prahovi dobijeni hidrotermalnim postupkom su slabo aglomerisani i sastoje se od sfernih čestica veličine do 2 μm u prečniku. Transmisiona elektronska mikroskopija potvrdila je da prah dobijen

hidrotermalnim postupkom i kalcinisan na 700 °C ima tetragonalnu strukturu sa veličinom kristalita manjom od 50 nm. Sa druge strane, prah dobijen metodom kompleksne polimerizacije se sastoji od veoma aglomerisanih čestica nepravilnog oblika, čija se veličina kreće i do 15 µm.

Rezultati su pokazali da metoda kompleksne polimerizacije podržana hidrotermalnim postupkom predstavlja bolji i brži način sinteze BST prahova u poređenju sa klasičnom metodom kompleksne polimerizacije. Važno je istaći da hidrotermalni postupak vodi dobijanju nisko aglomerisanih BST prahova bez prisustva karbonatne faze koja predstavlja potencijalnu nečistoću u BST prahovima i može negativno da utiče na svojstva dobijene keramike.

Od interesa je bilo ispitati uticaj novog načina sinteze prahova na sinterabilnost, fazni sastav, dielektrična i feroelektrična svojstva dobijene BST keramike. U nastavku rada, hladnim presovanjem hidroermalno dobijenih BST prahova kalcinisanih na 700 °C, a zatim sinterovanjem na 1280 °C u trajanju od 1-32 h dobijeni su keramički materijali. Rendgenska difrakcija x-zraka i Ritveldovo utačnjavanje difrakcionih podataka sinterovanih uzoraka je izvedeno u cilju kvantitativnog određivanja promena strukturnih i mikrostrukturnih parametara, stehiometrije povezane sa varijacijama u odnosu Ba/Sr, kao i određivanja faznog sastava keramike nakon sinterovanja. Kvantitativnom faznom analizom zaključuje se da sinterovani uzorci sadrže (Ba, Sr)TiO<sub>3</sub> kao glavnu fazu i Ba<sub>6</sub>Ti<sub>17</sub>O<sub>40</sub> kao sekundarnu fazu. Porastom vremena sinterovanja, količina sekundarne Ba<sub>6</sub>Ti<sub>17</sub>O<sub>40</sub> faze u uzorcima povećava se od 27.3% do 32.6%.

Rezultati Ritveldovog utačnjavanja pokazuju da sadržaj Ba u BST fazi u sinterovanim uzorcima raste sa porastom vremena sinterovanja i kreće se u intervalu od 0.69 do 0.79. Povećanje vremena sinterovanja dovodi do povećanja parametra rešetke  $c$  i tetragonalnosti BST faze u sinterovanim uzorcima, porasta veličine kristalita i smanjenja mikronaprezanja unutar kristalita.

Određivanjem gustine i praćenjem mikrostrukture sinterovanih uzoraka skenirajućom elektronskom mikroskopijom, praćen je uticaj dužine sinterovanja na zgušnjavanje i razvoj mikrostrukture tokom procesa sinterovanja. Porastom vremena sinterovanja relativne gustine uzorka rastu od 86.97%  $\rho_t$  za uzorak sinterovan 1 h do 92.62%  $\rho_t$ , za uzorak sinterovan 16 h. Dalje povećanje vremena sinterovanja (32 h) dovodi do smanjenja gustine 80.96%  $\rho_t$ . Na osnovu SEM analize uzorka uočava se da sa povećanjem vremena sinterovanja dolazi do rasta zrna u keramici. U uzorcima

sinterovanim duže od 4 h, dolazi do pojave veoma izduženih zrna veličine od oko 10-20  $\mu\text{m}$ , koji su formirani u matriksu manjih zrna. Pomoću energijski disperzivne spektroskopske analize dobijenih mikrografija određen je hemijski sastav pojedinačnih zrna u sinterovanim uzorcima. Potvrđeno je da se sinterovani uzorci sastoje od dve faze, BST i B6T17.

Ispitivana su dielektrična i feroelektrična svojstva sinterovanih uzoraka, i korelirana su sa mikrostrukturom i faznim sastavom. Oblik  $\varepsilon = f(T)$  krive ukazuje da u sinterovanim uzorcima dolazi do difuznog faznog prelaza, koje je posledica nehomogenog sastava uzorka i postojanja dvo-fazne strukture. Utvrđeno je da se dielektrična konstanta i temperatura faznog prelaza menjaju sa promenom sastava i mikrostrukture. Sa povećanjem sadržaja Ba u BST fazi, temperatura faznog prelaza se pomera ka višim vrednostima. Trend promene dielektrične konstante sa dužinom sinterovanja u potpunosti prati trend promene mikrostrukture, a posledično i promene gustine. Sa porastom vremena sinterovanja (1-16 h), dolazi do rasta zrna i povećanja gustine; vrednosti dielektrične konstante rastu od 1400 do 2300. Dalje produžavanje vremena sinterovanja (32 h), uzrokuje opadanje vrednosti gustine, a samim tim i dielektrične konstante (1100). Izmerene vrednosti dielektričnih gubitaka svih uzoraka su relativno niske i kreću se od 0.1% do 5%.

Merenjem polarizacije sa promenom električnog polja, uočava se da uzorci sinterovani 16 h, imaju najveću vrednost polarizacije od  $2 \mu\text{C}/\text{cm}^2$ . Može se zaključiti da najviša vrednost polarizacije u uzorku sinterovanom 16 h, je povezana sa najvećom gustinom nakon sinterovanja. Kao i u slučaju vrednosti dielektrične konstante, vrednost polarizacije uzorka sinterovanog 32 h je najniža i može se povezati sa najnižom gustinom datog uzorka.

Na osnovu dobijenih rezultata dielektričnih i feroelektričnih merenja, može se zaključiti da vrednosti dielektrične konstante i polarizacije rastu sa vremenom sinterovanja, i kod uzoraka sinterovanih 16 h, dostižu maksimalne vrednosti. Daljim povećanjem vremena sinterovanja, dolazi do smanjenja gustine i samim tim pogoršanja dielektričnih i feroelektričnih svojstava.

Najvažniji zaključak koji se može izvesti iz ovih istraživanja je da hidroermalno podržana metoda kompleksne polimerizacije predstavlja dobar izbor za sintezu čistih nano-čestičnih BST prahova, koji ne sadrže amorfne i karbonatne faze. Ono što je takođe veoma važno, je da je metoda brza, ne zahteva upotrebu skupih hemikalija, i da

je ekološki bezbedna. Uprkos činjenici da su gustine nakon sinterovanja relativno niske i da dolazi do izdvajanja velike količine sekundarne faze, dielektrična i feroelektrična svojstva su sasvim zadovoljavajuća, tako da BST keramika dobijena na ovaj način bi mogla naći primenu u mikroelektronici.

## 7 Literatura

- [1] G. H. Haertling, Ferroelectric ceramics: History and Technology, *J. Am. Ceram. Soc.*, 82 (1999) 797-818.
- [2] E. Raymond Schaak and E.Thomas Mallouk, Perovskites by Design: A Toolbox of Solid-State Reactions, *Chem. Mater.*, 14 (2002) 1455-1471.
- [3] V.M. Goldschmidt, *Skr.Nor.Viedenk.-akad.,Kl. I: Mater.-Naturvidensk. Kl.* 1926, no.8.
- [4] S. Kasap, P. Capper, Ferroelectric Materials, Springer Handbook of electronic and Photonic Materials, Springer, 2006.
- [5] A.J. Moulson, J.M. Herbert, *Electroceramics*, John Wiley & Sons Ltd, 2003.
- [6] <http://www.wiredchemist.com/chemistry/data/metallic-radii>
- [7] L. Zhang, W.L. Zhong, Y.G. Wang, P.L. Zhang, The cell volume effect in barium strontium titanate, *Solid State Communication*, 104 (1997) 263-266.
- [8] J.H. Jeon, Effect of SrTiO<sub>3</sub> concentration and sintering temperature on microstructure and dielectric constant of Ba<sub>1-x</sub>Sr<sub>x</sub>TiO<sub>3</sub> *J. Eur. Ceram. Soc.*, 24 (2004) 1045-1048.
- [9] D. Damjanovic, Hysteresis in Piezoelectric and Ferroelectric Materials, *The Science of Hysteresis*, Volume 3; I. Mayergoyz and G.Bertotti (Eds.); Elsevier (2005)
- [10] C. Kittel, *Introduction to solid state physics*. 8<sup>th</sup> ed. Hoboken, NJ: Wiley, 2005.
- [11] G. Arlt, P. Sasko, Domain Configuration and equilibrium Sizes of Domain in BaTiO<sub>3</sub> Ceramics, *J. Appl. Phys.*, 51, (1980) 4956-60.
- [12] G. Arlt, Twinning in Ferroelectric and Ferroelastic Ceramics: Stress Relief, *J. Mater. Sci.*, 25, (1990) 2655-2666.
- [13] J-F. Chou, M-H. Lin, H-Y. Lu, Ferroelectric domains in pressureless-sintered barium titanate, *Acta mater.*, 48 (2000) 3569-3579.
- [14] W.D. Kingery, H.K. Bowen, D.R. Uhlmann, *Introduction to Ceramics*, John Wiley & Sons, Inc. (1976).
- [15] I. Mayergoyz, G. Bertotti, *The science of hysteresis*, vol 3, Elsevier, 2005
- [16] C. A. Randall, N. Kim, J-P. Kucera, W. Cao, T. R. Shrout, Intrinsic and Extrinsic Size Effects in Fine-Grained Morphotropic-Phase-Boundary Lead Zirconate Titanate Ceramics, *J. Am. Ceram. Soc.*, 81 (1998) 677–88.
- [17] H. B. Sharma, H. N. K. Sarma, A. Mansingh, Ferroelectric and dielectric properties of sol-gel processed barium titanate ceramics and thin films, *J. Mater. Sci.*, 34 (1999) 1385 – 1390.
- [18] I. Rivera, A. Kumar, N. Ortega, R.S. Katizar, S. Lushnikov, Divide line between relaxor, diffused ferroelectric, ferroelectric and dielectric, *Solid State Commun.*, 149 (2009) 172-176.
- [19] A.A. Bokov, Z.-G. Ye, Recent progress in relaxor ferroelectrics with perovskite structure, *J. Mater. Sci.*, 41 (2006) 31-52.
- [20] L. Mitoseriu, L. Stoleriu, M. Viviani, D. Piazza, M. T. Buscaglia, R. Calderone, V. Buscaglia, A. Stancu, P. Nanni, C. Galassi, Influence of stoichiometry on the dielectric and ferroelectric properties of the tunable (Ba,Sr)TiO<sub>3</sub> ceramics investigated by First Order Reversal Curves method, *J. Eur. Ceram. Soc.* 26 (2006) 2915–2921.
- [21] D.E. Rase, R. Roy, Phase equilibria in the system BaO-TiO<sub>2</sub>, *J. Am. Ceram. Soc* 38 (1955) 102-13.

- [22] T. Lee, I.A. Aksay, Hierarchical structure-ferroelectricity relationships of barium titanate particles, *Cryst. Growth Des.*, 1 (2001) 401-19.
- [23] V.V Lemanov, E.P. Smimova, P.P. Syrnikov, E.A. Tarakanov, Phase transitions and glasslike behavior in  $\text{Sr}_{1-x}\text{Ba}_x\text{TiO}_3$ , *Phys. Rev. B*, 54 (1996) 3151-3157.
- [24] L. Zhou, P.M. Vilarinho, J.L. Baptista, Dependence of the structural and dielectric properties of  $\text{Ba}_{1-x}\text{Sr}_x\text{TiO}_3$  ceramic solid solutions on raw material processing, *J. Eur. Ceram. Soc.*, 19 (1999) 2015-2020.
- [25] T. Ota, M. Tani, Y. Hikichi, H. Unuma, M. Takahashi, H. Suzuki, Dielectric Properties of BaTiO<sub>3</sub>-Based Ceramics with Gradient Compositions, *Ceram. Trans.*, 100 (1999) 51-60.
- [26] H.-W. Wang, D.A. Hall, The effect of dysprosium on the microstructure and dielectric properties of  $(\text{Ba}_{1-x}\text{Sr}_x)\text{TiO}_3$  ceramics, *Proc. 8th ISAF*, (1992) 54-55.
- [27] M.S. Mohammed, R. Naik, J.V. Mantese, N.W. Schubring, A.L. Michel, A.B. Catalan, Microstructure and ferroelectric properties of fine-grained  $\text{Ba}_x\text{Sr}_{1-x}\text{TiO}_3$  thin films prepared by metalorganic decomposition, *J. Mater. Res.*, 11 (1996) 2588-2593.
- [28] S. Lahiry, A. Mansigh, Dielectric properties of sol-gel derived barium strontium titanate thin films, *Thin Solid Films*, 516 (2008) 1656-1662.
- [29] W. Li, Z. Xu, R. Chu, P. Fu, J. Hao, Sol-gel synthesis and characterization of  $\text{Ba}_{(1-x)}\text{Sr}_x\text{TiO}_3$  ceramics, *J. Alloy. Compd.*, 499 (2010) 255-258.
- [30] S.W. Kim, H.I. Choi, M.H. Lee, J.S. Park, D.J. Kim, D. Do, M.H. Kim, T.K. Song, W.J. Kim, Electrical properties and phase of  $\text{BaTiO}_3\text{-SrTiO}_3$  solid solution, *Ceram. Int.*, 39 (2013) 487-490.
- [31] P.B. Dutta, R. Asiaie, S.A. Akbar, W. Zhu, Hydrothermal Synthesis and Dielectric Properties of Tetragonal  $\text{BaTiO}_3$ , *Chem. Mater.*, 6 (1994) 1542-1548.
- [32] H. Xu, L. Gao, Tetragonal nanocrystalline barium titanate powder: Preparation, characterization and dielectric properties, *J. Am. Ceram. Soc.*, 86 (2003) 203-205.
- [33] L. Szymczak, Z. Ujma, J. Hañderek, J. Kapusta, Sintering effects on dielectric properties of  $(\text{Ba},\text{Sr})\text{TiO}_3$  ceramics, *Ceram. Inter.*, 30 (2004) 1003-1008.
- [34] P.R. Arya, P. Jha, A.K. Ganguli, Synthesis, characterization and dielectric properties of nanometersized barium strontium titanates prepared by the polymeric citrate precursor method, *J. Mater. Chem.*, 13 (2003) 415-423.
- [35] K.A. Razak, A. Asadov, J. Yoo, E. Haemmerle, W. Gao, Structural and dielectric properties of barium strontium titanate produced by high temperature hydrothermal method, *J. Alloy. Compd.*, 449 (2008) 19-23.
- [36] Q. Xu, X.-F. Zhang, Y.-H. Huang, W. Chen, H.-X. Liu, M. Chen, B.-H. Kim, Sinterability and nonlinear dielectric properties of  $\text{Ba}_{0.6}\text{Sr}_{0.4}\text{TiO}_3$  derived from a citrate method, *J. Alloy. Compd.*, 485 (2009) 16-20.
- [37] C. Fu, C. Yang, H. Chen, Y. Wang, L. Hu, Microstructure and dielectric properties of  $\text{Ba}_x\text{Sr}_{1-x}\text{TiO}_3$  ceramics, *Mater. Sci. Eng.-B* 119 (2005) 185-188.
- [38] H. Miao, Y. Zhou, G. Tan, M. Dong, Microstructure and dielectric properties of ferroelectric barium strontium titanate ceramics prepared by hydrothermal method, *J. Electroceram.*, 21 (2008) 553-556.
- [39] S. Yun, X. Wang, D. Xu, Influence of processing parameters on the structure and properties of barium strontium titanate ceramics, *Mater. Res. Bull.*, 43 (2008) 1989-1995.

- [40] M.T. Benlahrache, S.E. Barama, N. Benhamla, A. Achour, Influence of Polarization Electric Field on the Dielectric Properties of BaTiO<sub>3</sub>-based Ceramics, *Mater. Sci. Semicon. Proc.*, 9 (2006) 1115-1118.
- [41] L. Zhang, W.L. Zhong, C.L. Wang, P.L. Zhang, Y.G. Wang, Dielectric Properties of Ba<sub>0.7</sub>Sr<sub>0.3</sub>TiO<sub>3</sub> Ceramics with Different Grain Size, *Phys. Stat. Sol. A*, 168 (1998) 543-548.
- [42] G. Arlt, D. Hennings, G. With, Dielectric properties of fine-grained barium titanate ceramics, *J. Appl. Phys.*, 58 (1985) 1619-1625.
- [43] Z. Zhao, V. Buscaglia, M. Viviani, M.T. Buscaglia, L. Mitoseriu, A. Testino, M. Nygren, M. Johnsson, P. Nanni, Grain-size effects on the ferroelectric behavior of dense nanocrystalline BaTiO<sub>3</sub> ceramics, *Phys. Rev. B*, 70 (2004) 24107-8.
- [44] L. Zhang, W.L. Zhong, C.L. Wang, P.L. Zhang, Y.G. Wang, Finite-size effects in ferroelectric solid solution Ba<sub>x</sub> Sr<sub>1-x</sub> TiO<sub>3</sub>, *J. Phys. D: Appl. Phys.*, 32 (1999) 546-551
- [45] W. Luan, L. Gao, J. Guo, Size effect on dielectric properties of fine-grained BaTiO<sub>3</sub> ceramics, *Ceram. Int.*, 25 (1999) 727-729.
- [46] V. Tura, L. Mitoseriu, C. Papusoi, T. Osaka, M. Okyjama, Ferroelectric-to-Paraelectric Phase Transition in Barium Titanate Ceramics Investigated by Pyrocharge Measurements, *J. Electroceram.*, 2 (1998) 163-169.
- [47] M. Anliker, H.R. Brugger, W. Kanzig, The behavior of colloidal seignette-electrics III. barium titanate, BaTiO<sub>3</sub>, *Helv. Phys. Acta*, 27 (1954) 99-124.
- [48] K. Uchino, E. Sadanaga, T. Hirose, Dependence of the crystal structure on particle size in barium titanate, *J. Am. Ceram. Soc.* 72 (1989) 1555-58.
- [49] L.B. Kong, S. Li, T.S. Zhang, J.W. Zhai, F.Y.C. Boey, J. Ma, Electrically tunable dielectric materials and strategies to improve their performances, *Prog. Mater. Sci.*, 55 (2010) 840-893.
- [50] P. Pinceloup, C. Courtois, A. Leriche, B. Thierry, Hydrothermal Synthesis of Nanometer-Sized Barium Titanate Powders: Control of Barium/Titanium Ratio, Sintering, and Dielectric Properties, *J. Am. Ceram. Soc.*, 82 (1999) 3049-3056.
- [51] Z. Michael-C. Hu, V. Kurian, E.A. Payzant, C.J. Rawn, R.D. Hunt, Wet-chemical synthesis of monodispersed barium titanate particles-hydrothermal conversion of TiO<sub>2</sub> microspheres to nanocrystalline to BaTiO<sub>3</sub>, *Powder Technol.*, 110 (2000) 2-14.
- [52] J.Q. Qi, Y. Wang, W.P. Chen, L.T. Li, H.L.W. Chai, Direct large-scale synthesis of perovskite barium strontium titanate nano-particles from solutions, *J. Solid State Chem.*, 178 (2005) 279-284.
- [53] V. Soman, S.J. Kalita, Synthesis and characterization of nanocrystalline Barium Strontium Titanate powder via sol-gel processing, *J. Electroceram.*, 18 (2007) 57-65.
- [54] P.K. Sharma, V.V. Varadan, V.K. Varadan, Porous Behavior and Dielectric Properties of Barium Strontium Titanate Synthesized by Sol-Gel Method in the Presence of Triethanolamine, *Chem. Mater.*, 12 (2000) 2590-2596.
- [55] B. Su, J.E. Holmes, B.L. Cheng, T.W. Button, Processing Effects on the Microstructure and Dielectric Properties of Barium Strontium Titanate (BST) Ceramics *J. Electroceram.*, 9 (2002) 111-116.
- [56] Y.C. Liou, C.T. Wu, Synthesis and diffused phase transition of Ba<sub>0.7</sub>Sr<sub>0.3</sub>TiO<sub>3</sub> ceramics by a reaction-sintering process, *Ceram. Int.*, 34 (2008) 517-522.
- [57] B.D. Stojanović, V.B. Pavlović, V.P. Pavlović, S. Djurić, B.A. Marinković, M.M. Ristić, Dielectric Properties of Barium-titanate Sintered from Tribophysically Activated Powders, *J. Eur. Ceram. Soc.*, 19 (1999) 1081-1083.

- [58] T.W. Tzu, K. Sato, A.F.M. Noor, Proceeding of Malaysia-Japan International Symposium On Advanced Technology 2007 (MJISAT 2007), 12-15 November 2007, Kuala Lumpur.
- [59] B.D. Stojanovic, C. Jovalekic, V. Vukotic, A.Z. Simoes, J.A. Varela, Ferroelectric properties of mechanically synthesized nanosized barium titanate, *Ferroelectrics*, 319 (2005) 65-73.
- [60] B.D. Stojanovic, A.Z. Simoes, C.O. Paiva-Santos, C. Jovalekic, V.V. Mitic, J.A. Varela, Mechanochemical synthesis of barium titanate, *J. Eur. Ceram. Soc.*, 25 (2005) 1985-1989.
- [61] M.M. Ristic, Sinisa Dj. Milosevic, Mehanička aktivacija neorganskih materijala, Srpska akademija nauka i umetnosti, Beograd, 1998.
- [62] P. Balaž, J. Briančin, Z. Bastl, L. Medvecky, V. Šepelak, Properties of mechanochemically pretreated precursors of doped BaTiO<sub>3</sub> ceramics, *J. Mater. Sci.*, 29 (1994) 4847-51.
- [63] M. Enhessari, A. Parviz, K. Ozaee, H. Habibi Abyaneh, Synthesis and characterization of barium strontium titanate (BST) micro/nanostructures prepared by improved methods, *Int. J. Nano Dim.*, 2 (2011) 85-113.
- [64] K. S. Mazdiyasni, R. T. Dolloff, and J. S. Smith, II, *J. Am. Ceram. Soc.* 52, 523 (1969).
- [65] M. Ikeda, S.-K. Lee, K. Shinozaki, and N. Mizutani, Preparation of Monodispersed BaTiO<sub>3</sub> Powders by Hydrolysis of Ba/Ti Bimetallic Alkoxide, *Ceram. Soc. Jpn.* 100 (1992) 674-684.
- [66] Y. Suyama and M. Nagasawa, Synthesis of Single-Crystal Barium Titanium Isopropoxide Complex to Form Barium Titanate, *J. Am. Ceram. Soc.*, 11 (1994) 603-605.
- [67] H.S. Potdar, S.B. Deshpande, S.K. Date, Chemical coprecipitation of mixed (Ba + Ti) oxalates precursor leading to BaTiO<sub>3</sub> powders, *Mater. Chem. Phys.*, 58 (1999) 121-127.
- [68] M. Niederberger, G. Garnweitner, Organic reaction pathways in the nonaqueous synthesis of metal oxide nanoparticles, *Chem. Eur. J.*, 12 (2006) 7282 – 7302.
- [69] B. Samuneva, S. Jambazov, D. Lepkova, Y Dimitrov, Sol-Gel synthesis of BaTiO<sub>3</sub> and Ba<sub>1-x-y</sub>Ca<sub>y</sub>Sr<sub>x</sub>(Zr<sub>y</sub>Ti<sub>1-y</sub>)O<sub>3</sub> Perovskite Powders, *Ceram. Int.*, 16 (1990) 355-360.
- [70] H. Shimooka and M. Kuwabara, Preparation of Dense BaTiO<sub>3</sub> Ceramics from Sol-Gel-Derived Monolithic Gels, *J. Am. Ceram. Soc.*, 78 (1995) 2849-2852.
- [71] M. R Pechini, U.S. Patent 3,231,218, (1966).
- [72] S. Saka, Handbook of Sol Gel science and technology: Processing, Characterization, and applications, Boston Kluwer Academic Publisher, 2005.
- [73] Kumar, G.L. Messing, W.B. White, Metal Organic Resin Derived Barium Titanate: I, Formation of Barium Titanium Oxycarbonate Intermediate, *J. Am. Ceram. Soc.*, 76 (1993) 617-624.
- [74] M. Arima, M. Kakihana, Y. Nakamura, M. Yashima, M. Yoshimura, Polymerized Complex Route to Barium Titanate Powders Using Barium-Titanium Mixed-Metal Citric Acid Complex, *J. Am. Ceram. Soc.*, 79 (1996) 2847-2856.
- [75] P. Duran, F. Capel, D. Gutierrez, J. Tartaj, M.A. Banares, C. Moure, Metal citrate polymerized complex thermal decomposition leading to the synthesis of BaTiO<sub>3</sub>: effects of the precursor structure on the BaTiO<sub>3</sub> formation mechanism *J. Mater. Chem.*, 11 (2001) 1828-1836.

- [76] S. Gablenz, H.-P. Abicht, E. Pippel, O. Lichtenberger, J. Woltersdorf, New evidence for an oxycarbonate phase as an intermediate step in BaTiO<sub>3</sub> preparation, *J. Eur. Ceram. Soc.*, 20 (2000) 1053-1060.
- [77] S. Suasmoro, S. Pratapa, D. Hartanto, D. Setyoko, U.M. Dani, The characterization of mixed titanate Ba<sub>1-x</sub>Sr<sub>x</sub>TiO<sub>3</sub> phase formation from oxalate coprecipitated precursor, *J. Eur. Ceram. Soc.*, 20 (2000) 309-314.
- [78] H.P. Beck, F. Muller, R. Haberkorn, D. Wilhelm, Synthesis of perovskite type compounds via different routes and their X-ray characterization, *NanoStructured Materials*, 6 (1995) 659-662.
- [79] V.A. Vasiljev, K.A. Vorotilov, M.I. Yanovskaya, L.I. Solovjeva, A.S. Sigov, Sol-Gel Derived Barium-Strontium Titanate Films, *J. Sol-Gel Sci. Technol.*, 13 (1998) 877-883.
- [80] H.P. Beck, W. Eiser, R. Haberkorn, Pitfalls in the synthesis of nanoscaled perovskite type compounds. Part I: Influence of different sol-gel preparation methods and characterization of nanoscaled BaTiO<sub>3</sub>, *J. Eur. Ceram. Soc.*, 21 (2001) 687-693.
- [81] R. Kavian, A. Saidi, Sol-gel derived BaTiO<sub>3</sub> nanopowders, *J. Alloys Compd.*, 468 (2009) 528-532.
- [82] A. Ries, A.Z. Simoes, M. Cilense, M.A. Zaghete, J.A. Varela, Barium strontium titanate powder obtained by polymeric precursor method, *Mater. Charact.*, 50 (2003) 217-221
- [83] A. Ianculescu, D. Berger, M. Viviani, C.E. Ciomaga, L. Mitoseriu, E. Vasile, N. Dragan, D. Crisan, Investigation of Ba<sub>1-x</sub>Sr<sub>x</sub>TiO<sub>3</sub> ceramics prepared from powders synthesized by the modified Pechini route, *J. Eur. Ceram. Soc.*, 27 (2007) 3655-3658.
- [84] L. Zhang, W.L. Zhong, C.L. Wang, P.L. Zhang, Y.G. Wang, Dielectric properties of Ba<sub>0.7</sub>Sr<sub>0.3</sub>TiO<sub>3</sub> ceramics with different grain size, *Phys. Stat. Sol.*, 168 (1998) 543-548.
- [85] W. Li, Z. Xu, R. Chu, P. Fu, J. Hao, Sol-gel synthesis and characterization of Ba<sub>(1-x)</sub>Sr<sub>x</sub>TiO<sub>3</sub> ceramics, *J. Alloys Compd.*, 499 (2010) 255-258.
- [86] K. Byrappa, M. Yoshimura, *Handbook of Hydrothermal Technology*, Noyes Publications, New Jersey, USA, (2001).
- [87] K. Byrappa, *Hydrothermal Growth of Crystals*, 1-365, Pergamon press, Oxford, UK, (1992).
- [88] M. Yoshimura and H. Suda, *Hydrothermal Processing of Hydroxyapatite: Past, Present, and Future*, in: *Hydroxyapatite and Related Materials* (P. W. Brown and B. Constanz, eds.), 45-72, CRC Press, Inc, (1994).
- [89] M.M. Lencka, R. E. Rimann, Thermodynamics of the Hydrothermal Synthesis of Calcium Titanate with Reference to Other Alkaline-Earth Titanates, *Chem. Mater.*, 7 (1995) 18-25
- [90] M.M. Lencka, R.E. Rimann, Thermodynamic Modeling of Hydrothermal Synthesis of Ceramic Powders, *Chem. Mater.*, 5 (1993) 61-70.
- [91] S.F. Liu, I.R. Abothu, S. Komarnerni, Barium titanate ceramics prepared from conventional and microwave hydrothermal powders, *Mater. Lett.*, 38 (1999) 344-350.
- [92] S.B. Deshpande, Y.B. Khollam, S.V. Bhoraskar, S.K. Date, S.R. Sainkar, H.S. Potdar, Synthesis and characterization of microwave-hydrothermally derived Ba<sub>1-x</sub>Sr<sub>x</sub>TiO<sub>3</sub> powders, *Mater. Lett.*, 59 (2005) 293-296.
- [93] R. Pazik, D. Hreniak, W. Strek, Microwave driven hydrothermal synthesis of Ba<sub>1-x</sub>Sr<sub>x</sub>TiO<sub>3</sub>, *Mater. Res. Bull.*, 42 (2007) 1188-1194.

- [94] H. Miao, Y. Zhou, G. Tan, M. Dong, Microstructure and dielectric properties of ferroelectric barium strontium titanate ceramics prepared by hydrothermal method, *J. Electroceram.*, 21 (2008) 553-556.
- [95] W.L. Suchanek, R.E. Rimann, Hydrothermal Synthesis of Advanced Ceramic Powders, *Advances in science and Techn.*, 45 (2006) 184-193.
- [96] H.J. Chen, Y.W. Chen, *Ind. Eng. Chem. Res.*, 42 (2003) 473-483.
- [97] P. Pinceloup, C. Courtois, A. Leriche, B. Thierry, Hydrothermal synthesis of nanometer-sized barium titanate powders: control of barium/titanium ratio, sintering, and dielectric properties, *J. Am. Ceram. Soc.*, 82 (1999) 3049-3056.
- [98] R.K. Roeder, E.B. Slamovich, Stoichiometry control and phase selection in hydrothermally derived  $Ba_xSr_{1-x}TiO_3$  powders, *J. Am. Ceram. Soc.*, 82 (1999) 1665-1675.
- [99] A.Z. Simoes, F. Moura, T.B. Onofre, M.A. Ramirez, J.A. Varela, E. Longo, Microwave-hydrothermal synthesis of barium strontium titanate nanoparticles, *J. Alloys Compd.*, 508 (2010) 620-624.
- [100] Б. В. Болдырев, Экспериментальные методы в механохемии твердых неорганических веществ, Новосибирск: Наука, 1983.
- [101] M. Tecilazić-Stevanović, Osnovi tehnologije keramike, Tehnološko-metalurški fakultet, Beograd, 1990.
- [102] M.M. Ristić, Osnovi nauke o materijalima, Naučna knjiga, Beograd, 1977
- [103] H. Thurnauer and J. Deaderick, U.S. Patent No. 2.429.588, Oct. 21, 1947; Filed 1941.
- [104] B. Jaffe, W.R. Cook, H. Jaffe, Piezoelectric ceramics, Academic Press, London, UK, 1971.
- [105] G.A. Smolenskii, V.A. Isupov, N.N. Krainik, R.E. Pasynkov, A.I. Sokolov, Ferroelectrics and Related Materials, Gordan Breach, New York, 1984.
- [106] M.W. Cole, P.C. Joshi, M.H. Ervin, La doped  $Ba_{1-x}Sr_xTiO_3$  thin films for tunable device applications, *J. Appl. Phys.*, 89 (2001) 6336-6340.
- [107] M.W. Cole, C. Hubbard, E. Ngo, M. Ervin, M. Wood, R.G. Geyer, Structure-property relationships in pure and acceptor-doped  $Ba_{1-x}Sr_xTiO_3$  thin films for tunable microwave device applications, *J. Appl. Phys.*, 92 (2002) 475-483.
- [108] S. Ezhilvalavan, T.-Y. Tseng, Progress in the developments of  $(Ba,Sr)TiO_3$  (BST) thin films for Gigabit era DRAMs, *Mater. Chem. Phys.*, 65 (2000) 227-248.
- [109] C.M. Carlson, T.V. Rivkin, P.A. Parilla, J.D. Perkins, D.S. Ginley, A.B. Kozyrev, V.N. Oschadchy, A.S. Pavlov, Large dielectric constant ( $\epsilon/\epsilon_0 > 6000$ )  $Ba_{0.4}Sr_{0.6}TiO_3$  thin films for high-performance microwave phase shifters, *Appl. Phys. Lett.*, 76 (2000) 1920-1922.
- [110] S. Agarwal, G.L. Sharma, Humidity sensing properties of  $(Ba, Sr)TiO_3$  thin films grown by hydrothermal-electrochemical method, *Sensor. Actuat. B-Chem.*, 85 (2002) 205-211.
- [111] JCPDS Database on CD-ROM, Internatonal Centre for Diffraction Data, newton Square, PA, 1999.
- [112] H.M. Rietveld: „A profile refinement method for nuclear and magnetic structures“, *J. Appl. Cryst.*, 2 (1969) 65-71.
- [113] <https://www.ill.eu/sites/fullprof/>
- [114] P. Duràñ, D. Gutierrez, J. Tartaj, M.A. Bañares, C. Moure, On the formation of an oxycarbonate intermediate phase in the synthesis of  $BaTiO_3$  from (Ba,Ti)-polymeric organic precursors, *J. Eur. Ceram. Soc.*, 22 (2002) 797-807.

- [115] S. Tangjuank, T. Tunkasiri, Sol-gel synthesis and characterization of  $\text{BaTi}_2\text{O}_5$  powders, *Appl. Phys. A-Mater.*, 81 (2005) 1105–1107.
- [116] C. Mao, X. Dong, T. Zeng, G. Wang, S. Chen, Formation and control of mechanism for the preparation of ultra-fine barium strontium titanate powders by the citrate precursor method, *Mater. Res. Bull.*, 42 (2007) 1602–1610.
- [117] P. Durà, F. Capel, J. Tartaj, D. Gutierrez, C. Moure, Heating-rate effect on the  $\text{BaTiO}$  formation by thermal decomposition of metal citrate polymeric precursors, *Solid State Ionics* 141–142 (2001) 529–539.
- [118] S. Wada, T. Tsurumi, H. Chikamori, T. Noma, T. Suzuki, Preparation of nm-sized  $\text{BaTiO}_3$  crystallites by a LTDS method using a highly concentrated aqueous solution, *J. Cryst. Growth*, 229 (2001) 433–439.
- [119] J. Yu, J. Chu, M. Zhang, Syntheses of nanocrystalline  $\text{BaTiO}_3$  and their optical properties, *Appl. Phys. A*, 74 (2002) 645–647.
- [120] J. Javadpour, N.G. Eror, Raman spectroscopy of higher titanate phases in the  $\text{BaTiO}_3\text{-TiO}_2$  system, *J. Am. Ceram. Soc.*, 71 (1988) 206-213.
- [121] A. Yukikuni, F. Katsuhiro, S. Hirotake, New ferroelectric  $\text{BaTi}_2\text{O}_5$ , *Jpn. J. Appl. Phys.*, 42 (2003) L946.
- [122] M.B. López, G. Fourlaris, B. Rand, F.L. Riley, Characterization of barium titanate powders: barium carbonate identification, *J. Am. Ceram. Soc.*, 82 (1999) 1777–1786.
- [123] I. Barin, F. Sauert, E. Schultze-Rhonhof, W.S. Sheng, *Thermochemical Data of Pure Substances*, 2nd Ed. VCH Publishers New York (1993).
- [124] R.K. Roeder, E.B. Slamovich, Stoichiometry Control and Phase Selection in Hydrothermally Derived  $\text{Ba}_x\text{Sr}_{1-x}\text{TiO}_3$  Powders, *J. Am. Ceram. Soc.*, 82 (1999) 1665–1675.
- [125] S.B. Deshpande, Y.B. Khollam, S.V. Bhoraskar, S.K. Date, S.R. Sainkar, H.S. Potdar, Synthesis and characterization of microwave-hydrothermally derived  $\text{Ba}_{1-x}\text{Sr}_x\text{TiO}_3$  powders, *Mater. Lett.*, 59 (2005) 293– 296.
- [126] S.-Y. Kuo, W.-Y. Liao, W.-F. Hsieh, Structural ordering transition and repulsion of the giant LO-TO splitting in polycrystalline  $\text{Ba}_x\text{Sr}_{1-x}\text{TiO}_3$ , *Phys. Rev. B*, 64 (2001) 224103.
- [127] S.W. Lu, B.I. Lee, Z.L. Wang, W.D. Samuels, Hydrothermal synthesis and structural characterization of  $\text{BaTiO}_3$  nanocrystals, *J. Cryst. Growth*, 219 (2000) 269-276.
- [128] X. Wei, N.P. Padture, Hydrothermal synthesis of tetragonal  $\text{Ba}_x\text{Sr}_{(1-x)}\text{TiO}_3$  powders, *J. Ceram. Process. Res.*, 5 (2004) 175-178.
- [129] I.J. Clark, T. Takeuchi, N. Ohtori, D.C. Sinclair, Hydrothermal synthesis and characterisation of  $\text{BaTiO}_3$  fine powders: precursors, polymorphism and properties, *J. Mater. Chem.*, 9 (1999) 83–91.
- [130] E. Chávez, S. Fuentes, R.A. Zarate, L. Padilla-Campos, Structural analysis of nanocrystalline  $\text{BaTiO}_3$ , *J. Mol. Struct.*, 984 (2010) 131–136.
- [131] V. V. Lemanov, Concentration dependence of phonon mode frequencies and the Grüneisen coefficients in  $\text{Ba}_x\text{Sr}_{1-x}\text{TiO}_3$  solid solutions, *Phys. Solid State*, 39 (1997) 365-369.
- [132] M. DrDomenico, Jr., S. H. Wemple, S. P. S. Porto, Raman Spectrum of Single-Domain  $\text{BaTiO}_3$ , *Phys. Rev.*, 174 (1968) 522-530.
- [133] Z. Deng, Y. Dai, W. Chen, X. Pei, Synthesis and characterization of single-crystalline  $\text{BaTi}_2\text{O}_5$  nanowires, *J. Phys. Chem. C*, 114 (2010) 1748–1751.

- [134] P.K. Dutta, P.K. Gallagher, J. Twu, Raman spectroscopic study of the formation of barium titanate from an oxalate precursor, *Chem. Mater.*, 5 (1993) 1739–1743.
- [135] L. Zhang, W.L. Zhong, C.L. Wang, Y.P. Peng, and Y.G. Wang, Size dependence of dielectric properties and structural metastability in ferroelectrics, *Eur. Phys. J. B*, 11 (1999) 565-573.
- [136] E.C. Subbarao, Grain size effect in advanced ceramics, *Colloid Surface A*, 133 (1998) 3-11.
- [137] Ming-li Li, Hui Liang, Ming-xia Xu, Simple oxalate precursor route for the preparation of brain-like shaped barium–strontium titanate:  $\text{Ba}_{0.6}\text{Sr}_{0.4}\text{TiO}_3$ , *Mater. Chem. Phys.*, 112 (2008) 337-341.
- [138] D.E. Rase, R. Roy, Phase equilibria in the system  $\text{BaO}-\text{TiO}_2$ , *J. Am. Ceram. Soc.*, 38 (1955) 102-103.
- [139] K.W. Kirby, B.A. Wechsler, Phase relations in the barium titanate – titanium oxide system, *J.Am.Ceram.Soc.*, 74 (1991) 1842-1847
- [140] T. Negas, R.S. Roth, H.S. Parker, D. Minor, Subsolidus phase relations in the  $\text{BaTiO}_3-\text{TiO}_2$  system, *J. Solid State. Chem.*, 9 (1974) 297-307..
- [141] B.-K. Lee, S.-J. L. Kang, Second-Phase Assisted Formation of {111} Twins in Barium Titanate, *Acta Mater.*, 49 (2001) 1373–1381.
- [142] D. Kolar, M. Trontelj, Z. Stadler, Influence of interdiffusion on solid solution formation and sintering in the system  $\text{BaTiO}_3-\text{SrTiO}_3$ , *J.Am. Ceram.Soc.*, 65 (1982) 470-474.
- [143] W. Zhu, S.A. Akbar, R. Asiaie, P.K. Dutta, Sintering and dielectric properties of hydrothermally synthesized cubic and tetragonal  $\text{BaTiO}_3$  powders, *Jpn. J. Appl. Phys.*, 36 (1997) 214-221.
- [144] Z. Zhao, V. Buscaglia, M. Viviani, M.T. Buscaglia, L. Mitoseriu, A. Testino, M. Nygren, M. Johnsson, P. Nanni, Grain-size effects on the ferroelectric behavior of dense nanocrystalline  $\text{BaTiO}_3$  ceramics, *Phys. Rev. B*, 70 (2004) 024107, 8pp.
- [145] P.R. Rios, T. Yamamoto, T. Kondo, T. Sakuma, Anormal grain growth kinetics of  $\text{BaTiO}_3$  with an excess  $\text{TiO}_2$ , *Acta Mater.*, 46 (1998) 1617-1623.
- [146] M.-H. Lin, H.-Y.Lu, Hexabarium 17-titanate in pressureless-sintered  $\text{TiO}_2$ -excess barium titanate, *Acta Mater.*, 50 (2002) 605-617.
- [147] Y.I. Jung, B.K. Lee, SJ.L. Kang, Effect of  $\text{Ba}_6\text{Ti}_{17}\text{O}_{40}/\text{BaTiO}_3$  interface structure on {111} twin formation and abnormal grain growth in  $\text{BaTiO}_3$ , *J.Am.Ceram.Soc.*, 87 (2004) 739-741.
- [148] JK. Lee, KS. Hong, JW Jang, Roles of Ba/Ti Ratios in the Dielectric Properties of  $\text{BaTiO}_3$  Ceramics, *J. Am. Ceram. Soc.* 84 (2001) 2001–2006.
- [149] X. Xu, G.E. Hilmas, Effects of  $\text{Ba}_6\text{Ti}_{17}\text{O}_{40}$  on Nb-Doped  $\text{BaTiO}_3$  ceramics, *J. Am. Ceram. Soc.*, 89 (2006) 2496–2501.
- [150] K.A. Razak, A. Asadov, W. Gao, Phase content and dielectrical properties of sintered  $\text{BaSrTiO}_3$  ceramics prepared by a high temperature hydrothermal technique, *Ceram. Int.* 35 (2009) 2781-2782.
- [151] G. Arlt, P. Sasko, Domain configuration and equilibrium sizes of domain in  $\text{BaTiO}_3$  Ceramics, *J. Appl. Phys.*, 51 (1980) 4956-4960.
- [152] G. Arlt, Twinning in ferroelectric and ferroelastic ceramics: Stress Relief, *J. Mater. Sci.*, 25 (1990) 2655-2666.
- [153] N. Ma, B.P. Zhang, W.G. Yang, D. Guo, Phase structure and nano-domain in high performance of  $\text{BaTiO}_3$  piezoelectric ceramics, *J. Eur. Ceram. Soc.*, 32 (2012) 1059-1066.

- [154] J.F. Chou, M.H. Lin, H.Y. Lu, Ferroelectric domains in pressureless sintered barium titanate, *Acta Mater.*, 48 (2000) 3569-3579.
- [155] S.Y. Cheng, N.J. Ho, H.Y. Lu, Transformation-induced twinning: the 90° and 180° domains in BaTiO<sub>3</sub>, *J. Am. Ceram. Soc.*, 89 (2006) 2177–2187.
- [156] Y. Yu, X. Wangn, X. Yao, Dielectric properties of Ba<sub>1-x</sub>Sr<sub>x</sub>TiO<sub>3</sub> ceramics prepared by microwave sintering, *Ceram. Int.*, 39 (2013) 335-339.
- [157] S. Yun, X. Wang, D. Xu, Influence of processing parameters on the structure and properties of barium strontium titanate ceramics, *Mater. Res. Bull.*, 43 (2008) 1989–1995.
- [158] T. Hungria, M. Alguero,A.B. Hungria, A. Castro, Dense fine-grained Ba<sub>1-x</sub>Sr<sub>x</sub>TiO<sub>3</sub> ceramics prepared by the combination of mechanosynthesized nanopowders and spark plasma sintering, *Chem. Mater.*, 17 (2005) 6205-6212.
- [159] S.W. Kim, H.I. Choi, M.H. Lee, J.S. Park, D.J. Kim, D. Do, M.H. Kim, T.K. Song, W.J. Kim, Electrical properties and phase of BaTiO<sub>3</sub>–SrTiO<sub>3</sub> solid solution, *Ceram. Int.*, 39 (2013) 487-490.
- [160] M. Sindhu, N. Ahlawat, S. Sanghi, R. Kumari, A. Agarwal, Crystal structure refinement and investigation of electrically heterogeneous microstructure of single phased Sr substituted BaTiO<sub>3</sub> ceramics, *J. Alloy. Compd.*, 575 (2013) 109–114.
- [161] C. Fu, C. Yang, H. Chen, Y. Wang, L. Hu, Microstructure and dielectric properties of Ba<sub>x</sub>Sr<sub>1-x</sub>TiO<sub>3</sub> ceramics, *Mater. Sci. Eng- B*, 119 (2005) 185–188.

## BIOGRAFIJA AUTORA

Kandidatkinja Jovana Ćirković je rođena 24. 11. 1984. godine u Kruševcu. Osnovnu školu i gimnaziju završila je u Kruševcu. Fakultet za fizičku hemiju Univerziteta u Beogradu upisala je 2003. godine i diplomirala je 2009. godine sa prosečnom ocenom 9.13. Doktorske studije na fakultetu za fizičku hemiju upisala je školske 2009/2010. godine pod mentorstvom dr Nikole Cvjetićanina, redovnog profesora.

Od decembra 2009. godine zaposlena je u Institutu za multidisciplinarna istraživanja, na Odseku za materijale, a decembra 2012. godine je izabrana u zvanje istraživač-saradnik. Trenutno je angažovana na projektu III45007 „0-3D nanostrukture za primenu u elektronici i obnovljivim izvorima energije: sinteza, karakterizacija i procesiranje“. Glavna oblast istraživanja kandidatkinje je ispitivanje keramike na bazi barijum-stroncijum-titanata kao feroelektričnog materijala, dobijanje i karakterizaciju tankih filmova na bazi barijum-stroncijum titanata. Jedan deo istraživanja je usmeren na ispitivanje feroelektričnih materijala na bazi bizmut-ferita ( $\text{BiFeO}_3$ ).

Član je Srpskog keramičkog društva od 2010. godine. Do sada je u svojstvu autora ili koautora objavila pet radova u vrhunskim časopisima međunarodnog značaja (M21), deset radova su saopštena na međunarodnim konferencijama i štampana u izvodu (M34), dva na konferenciji od nacionalnog značaja štampanih u izvodu (M64), i jedan na konferenciji od nacionalnog značaja štampan u celosti (M63).

**Прилог 1.**

## **Изјава о ауторству**

Потписани-а Јована М. Ђирковић

број индекса 304/09

### **Изјављујем**

да је докторска дисертација под насловом

- резултат сопственог истраживачког рада,
- да предложена дисертација у целини ни у деловима није била предложена за добијање било које дипломе према студијским програмима других високошколских установа,
- да су резултати коректно наведени и
- да нисам кршио/ла ауторска права и користио интелектуалну својину других лица.

### **Потпис докторанда**

У Београду, 10.11.2015

---

**Прилог 2.**

## **Изјава о истоветности штампане и електронске верзије докторског рада**

Име и презиме аутора Јована М. Ђирковић

Број индекса 304/09

Наслов рада Структурна и диелектрична карактеризација баријум-стронцијум-титаната синтетисаног хидротермално потпомогнутим модификованим Пећинијевим поступком

Ментор др Никола Цвјетићанин

Потписани/а Јована Ђирковић

Изјављујем да је штампана верзија мог докторског рада истоветна електронској верзији коју сам предао/ла за објављивање на порталу **Дигиталног репозиторијума Универзитета у Београду**.

Дозвољавам да се објаве моји лични подаци везани за добијање академског звања доктора наука, као што су име и презиме, година и место рођења и датум одбране рада.

Ови лични подаци могу се објавити на мрежним страницама дигиталне библиотеке, у електронском каталогу и у публикацијама Универзитета у Београду.

**Потпис докторанта**

У Београду, 10.11.2015

---

**Прилог 3.**

## **Изјава о коришћењу**

Овлашћујем Универзитетску библиотеку „Светозар Марковић“ да у Дигитални репозиторијум Универзитета у Београду унесе моју докторску дисертацију под насловом:

која је моје ауторско дело.

Дисертацију са свим прилозима предао/ла сам у електронском формату погодном за трајно архивирање.

Моју докторску дисертацију похрањену у Дигитални репозиторијум Универзитета у Београду могу да користе сви који поштују одредбе садржане у одабраном типу лиценце Креативне заједнице (Creative Commons) за коју сам се одлучио/ла.

1. Ауторство
2. Ауторство - некомерцијално
3. Ауторство – некомерцијално – без прераде
4. Ауторство – некомерцијално – делити под истим условима
5. Ауторство – без прераде
6. Ауторство – делити под истим условима

(Молимо да заокружите само једну од шест понуђених лиценци, кратак опис лиценци дат је на полеђини листа).

**Потпис докторанда**

У Београду, 10.11.2015

---

1. Ауторство - Дозвољавате умножавање, дистрибуцију и јавно саопштавање дела, и прераде, ако се наведе име аутора на начин одређен од стране аутора или даваоца лиценце, чак и у комерцијалне сврхе. Ово је најслободнија од свих лиценци.
2. Ауторство – некомерцијално. Дозвољавате умножавање, дистрибуцију и јавно саопштавање дела, и прераде, ако се наведе име аутора на начин одређен од стране аутора или даваоца лиценце. Ова лиценца не дозвољава комерцијалну употребу дела.
3. Ауторство - некомерцијално – без прераде. Дозвољавате умножавање, дистрибуцију и јавно саопштавање дела, без промена, преобликовања или употребе дела у свом делу, ако се наведе име аутора на начин одређен од стране аутора или даваоца лиценце. Ова лиценца не дозвољава комерцијалну употребу дела. У односу на све остале лиценце, овом лиценцом се ограничава највећи обим права коришћења дела.
4. Ауторство - некомерцијално – делити под истим условима. Дозвољавате умножавање, дистрибуцију и јавно саопштавање дела, и прераде, ако се наведе име аутора на начин одређен од стране аутора или даваоца лиценце и ако се прерада дистрибуира под истом или сличном лиценцом. Ова лиценца не дозвољава комерцијалну употребу дела и прерада.
5. Ауторство – без прераде. Дозвољавате умножавање, дистрибуцију и јавно саопштавање дела, без промена, преобликовања или употребе дела у свом делу, ако се наведе име аутора на начин одређен од стране аутора или даваоца лиценце. Ова лиценца дозвољава комерцијалну употребу дела.
6. Ауторство - делити под истим условима. Дозвољавате умножавање, дистрибуцију и јавно саопштавање дела, и прераде, ако се наведе име аутора на начин одређен од стране аутора или даваоца лиценце и ако се прерада дистрибуира под истом или сличном лиценцом. Ова лиценца дозвољава комерцијалну употребу дела и прерада. Слична је софтверским лиценцима, односно лиценцима отвореног кода.